

Химический журнал армении

CHEMICAL JOURNAL OF ARMENIA

### **Խ ՄԲԱԳՐԱԿԱՆ ԿՈԼԵԳԻԱ**

Վ. Դ. Ազատյան (գլխ. խմբագրի տեղակալ), Ա. Ա. Ալչուջյան, Հ. Գ. Բաբայան, Գ. Տ. Թադևոսյան (գլխ. խմբագիր), Վ. Մ. Թառայան, Ա. Մ. Հակոբյան, Հ. Ա. Հարոյան, Ա. Հ. Մանթաշյան, Մ. Գ. Մանվելյան, Լ. Գ. Մելբոնյան, Հ. Հ. Չալթիկյան, Ս. Հ. Վարդանյան, Ս. Ա. Տեր-Գանիելյան (պատ. քարտուղար), Տ. Վ. Քրմոյան

## РЕДАК-ЦИОННАЯ КОЛЛЕГИЯ

В. Д. Азатян (зам. глав. редактора), А. Н. Акопян, А. А. Алчуджан, А. А. Ароян, Г. Г. Бабаян, С. А. Вартанян, Т. В. Крмоян, М. Г. Манвелян, А. А. Манташян, Л. Г. Мелконян, В. М. Тараян, Г. Т. Татевосян (глав редактор), С. А. Тер-Даниелян (ответ. секретарь), О. А. Чалтыкян

Խմրագրու թյան հասցեն՝ Երևան, Բարեկամու թյան, 24 Адрес редакции: Ереван, Барекамутян, 24

## Д Ц З Ч Ц Ч Ц Ъ Р Г Р Ц Ч Ц Ъ Ц Г И Ц Ч Р Р АРМЯНСКИЯ ХИМИЧЕСКИЯ ЖУРНАЛ

XXIII, № 1, 1970

### ОБЩАЯ И ФИЗИЧЕСКАЯ ХИМИЯ

УДК 542.941.7+546.92+546.97+546.98

# ИССЛЕДОВАНИЕ СМЕШАННЫХ АДСОРБЦИОННЫХ КАТАЛИЗАТОРОВ ГИДРИРОВАНИЯ

XVI. Rh-Pt и Rh-Pd КАТАЛИЗАТОРЫ НА СИЛИКАГЕЛЕ

А. А. АЛЧУДЖАН, Н. З. ЕДИГАРЯН и М. А. МАНТИКЯН

Ереванский политехнический институт им. К. Маркса

Поступило 4 VI 1968

Исследована каталитическая активность Rh—Pt/SiO<sub>2</sub> и Rh—Pd/SiO<sub>2</sub> катализаторов в реакции гидрирования бензола. По мере увеличения содержания платины в Rh—Pt/SiO<sub>2</sub> катализаторах активность их резко возрастает. Активность совместно нанесенного Rh—Pt/SiO<sub>2</sub> катализатора заметно больше аддитивной активности Rh/SiO<sub>2</sub> и Pt/SiO<sub>2</sub> катализаторов, содержащих те же количества родия и платины. Обнаружено явление подавления активности Rh/SiO<sub>2</sub> катализатора каталитически активным в той же реакции палладием.

Рис. 4, табл. 1, библ. ссылок 10.

В предыдущем сообщении [1] были описаны результаты изучения смешанных Rh—Ag адсорбционных катализаторов, приготовленных как совместным, так и последовательным нанесением на поверхность силикагеля путем их адсорбции.

В отличие от серебра [2], Rh—Pt и Rh—Pd образуют непрерывный ряд твердых растворов [3]. Палладий имеет кубическую гранецентрированную решетку с параметром 3,8825 Å. Родий же образует две модификации: α-Rh — устойчивый ниже 1030°, имеет простую кубическую решетку с параметром 9,211 Å и β-Rh — устойчивый выше 1030°, имеет решетку куба с центрированными гранями и с параметром решетки 3,7957 Å. Наличие одинаковой кристаллической решетки и близких параметров для палладия и β-родия обусловливает образование непрерывного ряда твердых растворов при высокой температуре. Существенное различие в кристаллических решетках между палладием и α-родием заставляет предположить возможность ограниченной растворимости металлов ниже 1030°. При температурах ниже 900° палладий растворяет в себе около 20—30 вес. <sup>9</sup>/<sub>0</sub> родия, а α-родий — около 20—30 вес. <sup>0</sup>/<sub>0</sub> палладия [2].

Интересно было исследовать влияние Pt и Pd на активность адсорбированного на SiO<sub>2</sub> родиевого катализатора, т. е. выяснить взаймовлияние двух активных для данной реакции компонентов.

Аналогичными исследованиями многокомпонентных систем, содержащих два каталитически активных в данной реакции металла, а именно,  $Pd-Pt/SiO_3$ , обнаружено подавление активности  $Pd/SiO_3$  катализатора каталитически активной в той же реакции платиной при небольших соотношениях  $Pd\cdot Pt$  и повышение активности при

относительно больших концентрациях платины. Это объяснено тем, что вследствие тесного электронного взаимодействия Pd и Pt образуются интерметаллические соединения, имеющие незначительную каталитическую активность [5].

# Экспериментальная часть и результаты исследования

Каталитическая активность смешанных Rh—Pt/SiO<sub>2</sub> и Rh—Pd/SiO<sub>2</sub> адсорбционных катализаторов изучалась на примере реакции гидрирования бензола, осуществленного струйным методом в цельнопаянной аппаратуре. Активность катализаторов выражалась в процентах гидрирования бензола в циклогексан. Применявшаяся аппаратура, носитель, как и приготовление смешанных катализаторов методом совместной адсорбции соединений соответствующих компонентов на силикагель, аналогичны описанным ранее [1].

Были приготовлены и испытаны Rh—Pt/SiO<sub>2</sub> и Rh—Pd/SiO<sub>2</sub> катализаторы, содержащие в качестве постоянного компонента 0,5 вес. <sup>0</sup>/<sub>0</sub> родия по отношению к весу SiO<sub>2</sub> и различные количества платины и палладия. Для сравнения были приготовлены и подвергнуты испытанию также Rh/SiO<sub>2</sub>, Pt/SiO<sub>2</sub> и Pd/SiO<sub>2</sub> катализаторы в отдельности.

Исходными пропытывающими растворами для приготовления катализаторов служили растворы химически чистых треххлористого родия, платинохлористоводородной кислоты и нитрата палладия. Активность изучалась при температуре 90°, объемном соотношении  $H_g: C_8H_8 = 4:1$  и скоростях струи водорода 1,5 и 2,5  $\Lambda$ /час. Общее давление водорода, паров бензола и циклогексана равнялось 680 мм рт. ст. (барометрическое давление).

Были испытаны две серии катализаторов.

Катализаторы первой серии содержали  $0.5^{\circ}/_{0}$  Rh по отношению к весу носителя и переменные количества платины, а именно, 5.0, 10.0, 25.0, 40.0 и 50.0 ат.  $0/_{0}$  от суммы родия и платины. Изучены также чистые Rb/SiO<sub>2</sub> и Pt/SiO<sub>3</sub> катализаторы в отдельности: последние содержали 0.11, 0.31 и  $0.94^{\circ}/_{0}$  Pt от веса носителя. Навески катализаторов равнялись 0.3 г в расчете на силикагель.

Катализаторы второй серии также содержали в качестве постоянного компонента  $0.5^{\circ}/_{0}$  Rh по отношению к весу SiO<sub>2</sub> и переменные количества палладия, а именно, 5.0, 10.0, 25.0, 40.0, 50.0 и 75.0 ат.  $^{\circ}/_{0}$  от суммы родия и палладия. В этой серии изучены и чистые Rh/SiO<sub>2</sub> и Pd/SiO<sub>3</sub> катализаторы. Последние содержали 0.06, 0.17 и  $0.50^{\circ}/_{0}$  Pd от веса носителя. Навески катализаторов равнялись 2 г.

Из кривых 1 и 2 (рис. 1) видно, что по мере увеличения количества платины активность Pt/SiO<sub>2</sub> адсорбционных катализаторов заметно возрастает.

Кривые 1 и 2 на рисунке 2 выражают зависимость активности Rh— $Pt/SiO_2$  катализаторов от процентного содержания платины при скоростях струи водорода 1,5 и 2,5  $\imath$ /час. Как видно из кривых, по

мере увеличения процентного содержания платины активность Rh— Pt/SiO<sub>2</sub> катализаторов резко возрастает.

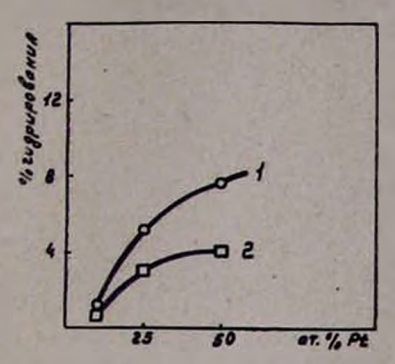


Рис. 1. Зависимость каталитической активности  $Pt/SiO_2$  катализаторов от количества платины. Скорость струи водорода: 1-1.5  $A_1$  $\pi$ ; 2-2.5  $A_2$  $\pi$ .

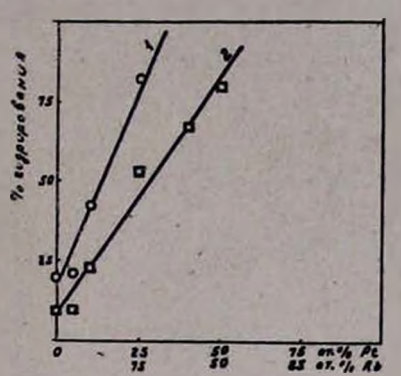


Рис. 2. Завнсимость каталитической активности  $Rh-Pt/SiO_2$  катализаторов от состава. Скорость струи водорода: I-1.5  $\Lambda/q$ .; 2-2.5  $\Lambda/q$ .

На основании полученных данных подсчитана аддитивная активность названных катализаторов, т. е. сумма активностей таких количеств родия и платины, нанесенных на SiO<sub>2</sub> в отдельности, которые содержатся в соответствующих образцах Rh—Pt/SiO<sub>2</sub> катализаторов, полученных совместным нанесением компонентов на носитель. Полученные результаты приведены в таблице.

Таблица
Данные об активности Rh/SiO<sub>2</sub>, Pt/SiO<sub>2</sub> и Rh—Pt/SiO<sub>2</sub> адсорбционных катализаторов

| Состав<br>катализаторов | Соотноше-<br>ние атомов<br>Rh:Pt | Активность<br>Rh/SiO <sub>2</sub> в<br>смешанном<br>катализаторе | Активность<br>Pt/SiO <sub>2</sub> в<br>смешанном<br>катализаторе | Аддитивная<br>активность | Активность совместно ад-<br>сорбированных Rh—Pt/SiO <sub>2</sub> катализаторов |
|-------------------------|----------------------------------|--|--|--------------------------|--|
| Rh/SIO <sub>2</sub>     | 13-77                            | 9,6  | _  | 217                      | 1 =  |
| Rh-Pt/SiO <sub>2</sub>  | 9:1                              | 9,6  | 0,8  | 10,4                     | 23,7   |
| Rh-Pt/S1O <sub>2</sub>  | 3:1                              | 9,6  | 3,1  | 12,7                     | 53,3   |
| Rh—Pt/StO <sub>2</sub>  | 1:1                              | 9,6  | 4,2  | 13,8                     | 79,9   |

Кривые 1 и 2 на рисунке 3 изображают зависимость процента гидрирования от количества палладия на  $SiO_2$  при скоростях струи водорода 1,5 и 2,5 n/час. Из этих кривых видно, что с увеличением количества палладия активность  $Pd/SiO_2$  катализаторов резко увеличивается.

Кривые изменения активности по мере увеличения процентного содержания палладия в Rh—Pd/SiO<sub>2</sub> катализаторах представлены на

рисунке 4. Как видно из этих кривых, с увеличением содержания палладия активность сначала уменьшается, а затем остается постоянной, т. е. обнаруживается явление подавления активности Rh/SiO<sub>2</sub> катализатора каталитически активным в той же реакции палладием.

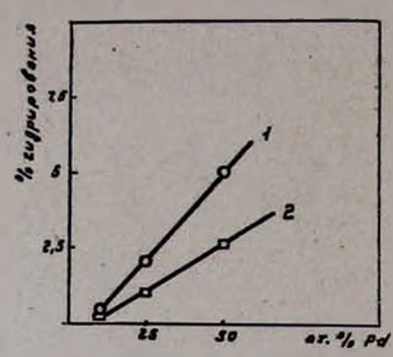


Рис. 3. Зависимость каталитической активности  $Pd/SiO_2$  катализаторов от количества палладия. Скорость струи водорода: I-1,5 A/4; 2-2,5 A/4.

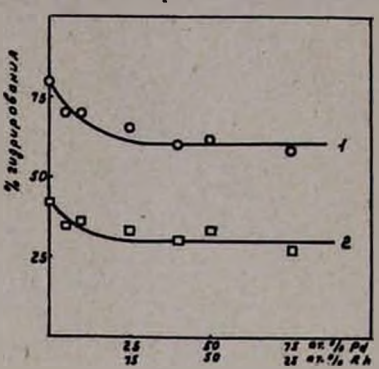


Рис. 4. Зависимость каталитической активности  $Rh-Pd/SiO_2$  катализаторов от состава. Скорость струи водорода: I-1, b A/q; 2-2, 5 A/q.

## Обсуждение результатов

Из представленных экспериментальных данных видно, что Rh—Pt/SiO<sub>2</sub> катализаторы обладают большей активностью, чем Rh/SiO<sub>2</sub> катализаторы и по мере увеличения содержания платины в этих катализаторах активность их пропорционально растет. В случае введения палладия в Rh/SiO<sub>2</sub> катализатор активность не очень резко, но явно снижается.

Противоположное действие активных в отношении гидрирования бензола платины и палладия на родиевый катализатор мы склонны объяснить электронным взаимодействием между родием и платиной, а также родием и палладием. Безусловно, долю влияния привносит также поверхность—своеобразное распределение компонентов катализатора (Rh, Pt, Pd) на поверхности SiO<sub>2</sub>.

К сожалению, электронная структура металлического родия почти не изучена. Палладий и платина в некоторой мере изучены [6]. Для переходных металлов имеется наличие частично заполненной d-оболочки: для родия и палладия 4d, для платины 5d. Однако, известно, что в областях высоких энергетических уровней переходы электронов с одних уровней и подуровней на другие осуществляются легко.

Так, энергия возбуждения у никеля  $d^3s^2 \to d^3sp$  равна 73 ккал, у ванадия  $d^3s^2 \to d^4s = 6$  ккал, у вольфрама  $d^4s^2 \to d^5s = 8$  ккал, у палладия  $d^{10} \to d^0s = 19$  ккал [7]. В металлическом никеле имеется  $\sim 0.6$  дырок (незаполненных d-уровней на атом), у палладия также примерно 0.6 и при введении в N1 и Pd водорода, меди, серебра и т. д., s—электроны которых могут перейти на незаполненные d-уровни и спариваться с одиночными d-электронами, парамагнитная восприимчивость никеля и пал-

ладия уменьшается и при соответствующих числах введенных в NI и Pd атомов (в зависимости от числа валентных электронов вводимых атомов) становится равной пулю [8]. Симбатно снижается и доходит до нуля и каталитическая активность никеля и палладия, в частности, в отношении гидрирования бензола [9]. По аналогии можно полагать, что и в системах Rh—Pt и Rh—Pd такие переходы электронов с одних уровней и полуровней на другие должны происходить легко за счет повышенных температур (температура реакции) или за счет большого теплового эффекта гидрирования бензола, равного 48800—52500 кал/2-мол. в пределах 300—500°К [10].

Электронное взаимодействие между Rh и Pt и Rh и Pd может иметь различный характер, так как электронные структуры платины и палладия различны. Поскольку мы считаем ответственными за каталитический акт неспаренные d-электроны (хотя не исключена возможность такой же функции у одиночных s- и p-электронов), полагаем, что в случае Rh—Pt электронное взаимодействие приводит к увеличению числа неспаренных d-электронов, поэтому с увеличением содержания платины в Rh—Pt/SiO<sub>2</sub> катализаторах активность их растет. В случае же Rh—Pd, наоборот, электронное взаимодействие приводит к уменьшению неспаренных d-электронов, поэтому при введении палладия в Rh на SiO<sub>2</sub> активность катализаторов уменьшается. Мы указывали, что возможно известный отпечаток на обнаруженные закономерности оставляет носитель (SiO<sub>2</sub>). В настоящее время нами изучается каталитическая активность металлических Rh—Pt, Rh—Pd систем без носителя.

ՀԻԳՐՄԱՆ ԽԱՌԸ ԱԳՍՈՐԲՑԻՈՆ ԿԱՏԱԼԻԶԱՏՈՐՆԵՐԻ ՈՒՍՈՒՄՆԱՍԻՐՈՒԹՅՈՒՆ

XVI. Rh-Pt by Rh-Pd uusulpausnevere uplpyudelp yru

Ա. Հ. ԱԼՉՈՒՋՑԱՆ, Ն. Ձ. ԵԴԻԳԱՐՅԱՆ և Մ. Հ. ՄԱՆՏԻԿՑԱՆ

# Udhnhnid

Ուսումնասիրված է Rh—Pt/SiO<sub>2</sub> և Rh—Pd/SiO<sub>3</sub> կատալիզատորների ակտիվությունը բենզոլի հիդրման ռեակցիալի օրինակի վրա։ Հաստատված է, որ Rh—Pt/SiO<sub>2</sub> կատալիզատորների մեջ պլատինի պարունակության աճանը զուգընթաց կտրուկ կերպով աճում է նրանց կատալիտիկ ակտիվությունը և համատեղ նստեցված Rh—Pt/SiO<sub>3</sub> կատալիզատորի ակտիվությունը զգալիորեն ավելի է Rh/SiO<sub>3</sub> և Pt/SiO<sub>3</sub> կատալիզատորների գումարային ակտիվությունից, որոնք պարունակում են ռոդիումի և պլատինի ալնպիսի քանակներ, ինչպիսիք պարունակվում են համապատասխան Rh—Pt/SiO<sub>3</sub> կատալիզատորների մեջ, Հալտնաբերված է բենզոլի հիդրման պրոցեսի նկատմամը Rh/SiO<sub>3</sub> կատալիզատորի ակտիվության անկման երևույթ նույն պրոցեսում կատալիտիկորեն ակտիվ պալադիումի միջոցով։

#### ЛИТЕРАТУРА

- 1. А. А. Алчуджан, Н. З. Едигарян, М. А. Мантикян, Арм. хим. ж., 22, 3 (1969).
- 2. W. W. Wollaston, Philos. Trans. Roy. Soc., London, 94, 425 (1804); H. Rossler, Chem. Zeit., 24, 33 (1900); A. A. Рудницкий, A. И. Хотинская, ЖНХ, 4, 2518 (1959).
- 3. А. А. Рудницкий, Р. С. Полякова, И. И. Тюрин, Известия сектора платины ИОНХ АН СССР, 29, 190 (1955); L. Maller, Ann. Phys., (5), 7, 27 (1930).
- А. А. Рудницкий, Р. С. Полякова, И. И. Тюрин, Известия сектора платины ИОНХ АН СССР, 29, 183 (1955).
- 5. А. А. Алчуджан, М. А. Мантикян, Изв. АН АрмССР, ХН, 13, 307 (1960).
- 6. Ч. Киттель, Введение в физику твердого тела, Физиатгиз, Москва, 1963, стр. 371.
- 7. Я. К. Сыркин, М. Е. Дяткина, Химическая связь и строение молекул, Госхимиздат, Москва, 1946, стр. 415.
- В. Svenson, Ann. Phys., 14, 699 (1932); Е. Vogt, Z. Electrochem., 37, 460 (1931);
   Ч. Киттель, Введение в физику твердого тела, Физматгиз, Москва, 1963,
   стр. 377.
- 9. А. А. Алчуджан, Докторская диссертация, Институт нефти АН СССР, Москва, 1951; А. А. Алчуджан, Е. Т. Кристостурян, Сб. научн. тр. Ереванского политехн. ин-та, 16, 137 (1957); Изв. АН АрмССР, XH, 10, 333 (1957).
- 10. В. Р. Жаркова, А. В. Фрост, ЖОХ, 8, 584 (1950).

XXIII, № 1, 1970

УДК 541.64+542.952.6

## О ЗАКОНОМЕРНОСТЯХ МИЦЕЛЛЯРНОГО ЭТАПА ЭМУЛЬСИОННОЙ ПОЛИМЕРИЗАЦИИ

 ВЛИЯНИЕ СТЕПЕНИ НАСЫЩЕННОСТИ МИЦЕЛЛ ХЛОРОПРЕНОМ НА МОЛЕКУЛЯРНЫЙ ВЕС И СТРУКТУРУ ПОЛИХЛОРОПРЕНА

Э. Л. ШАКАРЯН, Л. Г. МЕЛКОНЯН и Р. В. БАГДАСАРЯН

Всесоюзный научно-исследовательский институт полимерных продуктов

Поступило 21 IX 1968

Показано, что степень полимеризации (P) полихлоропрена, полученного в отсутствии мономерной фазы, прямо пропорциональна квадрату концентрации мономера в слое эмульгатора ( $C_{\rm M}$ ), т. е.  $P=KC_{\rm M}^2$ . Структура полихлоропрена, синтезированного при 100% насыщении мицелл мономером, более регулярна в полимер обладает высокой степенью кристалличности по сравнению с образцами, полученными с 75 и 50%-ным насыщением мицелл хлоропреном. Полученные данные согласуются с предположением о том, что в слое эмульгатора молекулы мономера орнентированы друг относительно друга, поэтому активация мономера и рост цепи осуществляются преимущественно коллективным актом.

Рис. 1, табл. 2, библ. ссылок 14.

По современным представлениям, эмульсионная полимеризация протекает по трем этапам: 1) мицеллярный (начальный) — период до исчезновения мицелл эмульгатора в системе, 2) стационарный — от начала исчезновения мицелл до начала исчезновения мономерной фазы (капель мономера) и 3) конечный этап — от момента исчезновения мономерной фазы до полного превращения мономера в полимер.

Закономерности протекания полимеризационных процессов на указанных этапах значительно отличаются. Изучение топохимических и кинетических особенностей мицеллярного этапа занимает особо зажное место в установлении закономерностей регулирования процессов формирования макромолекул полимеров и латексных продуктов. Мицеллы селективно растворяют мономер и другие маслорастворимые компоненты системы. Число полученных полимерных частиц, их размеры, скорость и степень полимеризации зависят от количества мицелл в системе. Несмотря на это, в настоящее время закономерности мицеллярного этапа полимеризации изучены весьма недостаточно. По современным представлениям [1-5], мицеллы эмульгатора составляют основную зону образования полимерных частии. Предполагается [3], что свободный радикал может взаимодействовать с солюбилизированным мономером значительно легче, чем с одиночной молекулой мономера. В системе, составленной по обычно применяемым рецелтам, приблизительно из 1000 мицелл образуется одна частица. При этом через слой эмульгатора значительное количество мономера диффундирует во внутрь полимерной частицы (в случаях, когда мономер растворим в своем полимере) и в результате образуется полимерно-мономерная (ПМ) частица. По данным Харкинса [3], на всех этапах отношение мономер/полимер в ПМ частицах сильно зависит от начальной кон-

## ԷՄՈՒԼՍԻՈՆ ՊՈԼԻՄԵՐԱՑՄԱՆ ՄԻՑԵԼԱՅԻՆ ԷՏԱՊԻ ՕՐԻՆԱՉԱՓՈՒԹՅՈՒՆՆԵՐԻ ՄԱՍԻՆ

I. ՄԻՑԵԼՆԵՐԻ՝ ՔԼՈՐԱՊՐԵՆՈՎ ՀԱԳԵՑՎԱԾՈՒԹՅԱՆ ԱԶԴԵՑՈՒԹՅՈՒՆԸ ՊՈԼԻՔԼՈՐԱՊՐԵՆԻ ՄՈԼԵԿՈՒԼԱՅԻՆ ԿՇՌԻ ԵՎ ԿԱՌՈՒՑՎԱԾՔԻ ՎՐԱ

Է. Լ. ՇԱՔԱՐՑԱՆ, Լ. Գ. ՄԵԼՔՈՆՑԱՆ և Ռ. Վ. ԲԱՂԴԱՍԱՐՑԱՆ

### Udhnhnid

Ցուլց է տրված, որ քլորապրենի պոլիմերացման աստիճանի միջին արժևքն ուղիղ համեմատական է մոնոմերի Էմուլգատորի շերտում եղած կոնցենտրացիայի քառակուսուն, ևնե պոլիմերացումը կատարվում է մոնո-մերալին ֆազի բացակալուն յան պայմաններում։ Էմուլգատորի շերտը մոնո-մերով 100°/<sub>0</sub>-ով հագեցված լինելու պայմաններում ստացված պոլիքլորա-պրենի կառուցված ըն ավելի կարգավորված է և պոլիմերն ունի բլուրեղաց-ման բարձր աստիճան, համեմատոսծ Էմուլգատորի շերտը քլորապրենով 75 և 50°/<sub>0</sub>-ով հագեցվածունիան դեպքում ստացված նմուշների հետ։

Հետազոտության տվյալները համընկնում են այն ենթադրության հետ, ըստ որի Էմուլգատորի ջերտում մոնոմերի մոլեկուլները փոխադարձաբար կողմնորոշված են, այդ պատճառով Էլ մոնոմերի ակտիվացիան և ջղթայի աճը տեղի է ունենում կոյեկտիվ ակտով։

#### ЛИТЕРАТУРА

- W. D. Harkins, J. Chem. Phys., 13, 381 (1945); 14, 47 (1946); W. D. Harkins, R. W. Mattoon, M. L. Corrin, J. Colloid. Sci., 1, 105 (1946); J. Am. Chem. Soc., 68, 220 (1946).
- 2. А. И. Юрженко, ЖФХ, 19, 1952 (1945); ЖОХ, 16, 1171 (1946); А. И. Юрженко М. Колечкова, ДАН СССР, 47, 254 (1945).
- 3. W. D. Harkins, J. Polym. Sci., 5, 217 (1950); J. Am. Chem. Soc., 69, 1428 (1947).
- 4. W. V. Smith, R. H. Ewart, J. Chem. Phys., 16, 592 (1948).
- 5. W. V. Smith, J. Am. Chem. Soc., 70, 3695 (1948).
- С. С. Медведев, П. М. Хомиковский, А. П. Шейнкер, Е. В. Заболотская, Г. Д. Бережной, Проблемы физ. химии, вып. 1, стр. 5. 1958, Госхимиздат; С. С. Медведев, Симпозиум по кинетике и механизму образования и превращения макромолекул, Ереван, 1966.
- 7. Л. Г. Мелконян, Арм. хим. ж., 19, 338 (1966).
- 8. Л. Г. Мелконян, Арм. хим. ж., 21, 187 (1968).
- 9. Л. Е. Перегудова, С. С. Ваюцкий, Колл. ж., 10, 309 (1948).
- 10. Р. В. Багдасарян, Л. Г. Мелконян, А. В. Геворкян, Арм. хим. ж., 19, 245 (1966).
- 11. К. В. Нельсон, Колебательные спектры и молекулярные процессы в каучуках. Изд. "Химия", Москва—Ленинград, 1965; J. T. Maynard, W. E. Mochel, J. Polym. Sci., 13, 235 (1954).
- 12. В. Н. Никитин, Н. В. Михайлова, Л. В. Волкова, Ю. Г. Баклачина, Высокомол. соед., 1, 1094 (1959).
- 13. К. А. Асланян, В. Н. Никитин, Изв. АН АрмССР, "Физика", 4, 40 (1969).

центрации эмульгатора в системе и с ростом се увеличивается. По ходу полимеризации образовавшиеся ПМ частицы растут так быстро, что весь мицеллярный эмульгатор переходит на поверхность ПМ частиц и в дальнейшем процесс протекает без участия мипелл.

Согласно теории Медведева [6], мицеллы ионогенных эмульгаторов не образуют самостоятельной фазы: они обладают свойством молекулярных росв и при столкновении обмениваются между собой и адсорбционными слоями эмульгатора на поверхности полимерных частиц своими компонецтами. Однако, согласно предложенной одним из авторов [7, 8] новой модели эмульснонной системы, мицеллы эмульгатора являются самостоятельными единицами, обладают определенной формой и межфазовой поверхностью. Состояние молекулы эмульгатора, адсорбированной на ПМ частице, энергетически настолько выгодно, что с появлением в системе ПМ частиц и с ростом их происходит односторонний переход компонентов из мицелл в слои, частично в объем частиц. Такая передача компонентов, очевидно, осуществляется как непосредственно при встречах мицелл с ПМ частицами, так и диффузией через водную фазу. По-видимому, вероятность обмена между слоями эмульгатора на ПМ частицах мала из-за энергетической невыгодности. В работе [8] предполагается, что солюбилизированные молекулы мономера ориентированы как относительно слоя эмульгатора под действием электрических параметров его, так и друг относительно друга, образуя двумерную квазикристаллическую решетку в неполярном участке слоя эмульгатора.

Слой эмульгатора каждой ПМ частицы является самостоятельной элементарной ячейкой, в которой активация мономера и рост цепи осуществляются коллективным актом по схеме:

$$R_{1}^{\cdot} + XM \xrightarrow{K_{n}} P_{1}^{\cdot} (R_{1}^{\cdot} M_{x-1} M^{\cdot})$$

$$P_{1}^{\cdot} + XM \xrightarrow{K_{p}} P_{2}^{\cdot} (R_{1}^{\cdot} M_{2x-1} M^{\cdot})$$

$$P_{n}^{\cdot} + P_{m}^{\cdot} \xrightarrow{K_{0}} P_{n+m}^{\cdot},$$

где  $R_1$ — первичный радикал;  $P_1$ ,  $P_2$   $\cdots$   $P_n$ — растущие цепи; M—молекула мономера;  $K_{\rm H}$ ,  $K_{\rm P}$ ,  $K_0$ — константы скоростей инициирования мономера, роста и обрыва цепи, соответственно;  $P_{n+m}$  — молекула неактивного полимера; X—среднее число молекул мономера, участвующих в элементарных актах активации мономера и роста цепи.

Средняя степень полимеризации *P* определяется: для систем с маслорастворимыми инициаторами

$$P = K_{3} \left[ (1 + K_{1}C_{H})/C_{H} \right]^{0,5}, \tag{1}$$

для систем с водорастворимыми инициаторами

$$P = K_3 \left[ (C_9 + K_1 C_H) / C_H \right]^{0.5}, \tag{2}$$

где  $K_1 = K_p C_n X / (K_0 K_n K_1 C_n)^{0.5}$ ;  $C_2$  и  $C_n$  — концентрации эмульгатора и инициатора, соответственно;  $K_1$  — константа, характеризующая среднее время пребывания молекулы инициатора в слое эмульгатора;  $C_n$  — предельное значение концентрации инициатора, при котором слой эмульгатора насыщен инициатором;  $C_n$  — концентрация мономера в слое эмульгатора, приведенная к единице  $C_2$ .

Принимая, что величина X прямо пропорциональна  $C_{\rm s}$  (при постоянных значениях остальных параметров полимеризации), для P получим:

$$P = KC_{\rm M}^2 \,. \tag{3}$$

С целью экспериментальной проверки уравнения (3) для мицеллярного этапа были проведены серии опытов по полимеризации хлоропрена в эмульсии в отсутствии капель мономера. При этом мы исходили из предположения о том, что в мицеллах и слоях эмульгатора на ПМ частицах механизм элементарных актов идентичен.

## Экспериментальные данные и их обсуждение

Полимеризация проводилась при  $40^\circ$  в среде воздуха; эмульгаторы — додецилсульфат натрия —  $6^0/_0$  и алкилсульфонат натрия —  $4^0/_0$  от вод. фазы; инициатор — персульфат калия —  $0,2^0/_0$  от вод. фазы; хлоропрен брался в количествах, не превышающих коллоидной (сопряженной) растворимости его в растворе эмульгатора с целью проведения процесса в отсутствии капель мономера.

Исходные вещества: двойной ректификат хлоропрена, полученного на Ереванском химкомбинате им. С. М. Кирова, повторно ректифицировался в присутствии ингибитора окисления (2,4,6-три-трет-бутилфенола —  $\Pi$ -23). Физико-химические показатели используемого хлоропрена:  $d_2^{20}$  0,9583;  $n_D^{20}$  1,4583;  $t_R$  59,4°. Эмульгаторы: додецилсульфат натрия марки «дюпонол WA" и алкилсульфонат натрия среднего состава  $C_{15}H_{17}SO_3Na$  (E-30). Персульфат калия марки "х. ч." предварительно перекристаллизовывался. Дисперсионная среда: вода-дистиллят. Полимер стабилизировался ингибитором ( $\Pi$ -23), выделялся методом вымораживания и высушивался при комнатной температуре и остаточном давлении 100 мм рт. ст.

Сопряженная растворимость хлоропрена в водном растворе эмульгатора - определялась рефрактометрическим методом, предложенным Перегудовой и Воюцким [9].

Метод основан на том, что коэффициент рефракции раствора эмульгатора возрастает по мере сопряженного растворения в нем углеводорода, в данном случае мономера-хлоропрена. По перегибу кривой, характеризующей зависимость коэффициента рефракции раствора от количества сопряженно растворенного мономера, определяется точка насыщения раствора эмульгатора мономером. Необходимо отметить, что по мере сопряженного растворения происходит и частичное эмульгирование углеводорода. Однако, образование микрокапель не влияет на коэффициент преломления, вызывая лишь рассеивание света.

Растворимость хлоропрена была вычислена на основе известного правила аддитивности удельной рефракции:

$$v_{p} \frac{n_{p}^{2} - 1}{n_{p}^{2} + 2} = v_{e} \frac{n_{e}^{2} - 1}{n_{p}^{2} + 2} + v_{y} \frac{n_{y}^{2} - 1}{n_{y}^{2} + 2}, \tag{4}$$

где v— объем раствора или компонентов (в  $M\Lambda$ ), который определяется отношением веса (P) к плотности (d) соответствующего компонента (v=P/d): n— коэффициент рефракции. Индексы p, э, у соответственно относятся к раствору углеводорода (мономера) в водном растворе эмульгатора, исходному раствору эмульгатора и углеводороду (мономеру). Искомой величиной в выражении (d) является  $v_y$ — объем растворенного углеводорода; объем эмульгатора был постоянным во всех наших опытах и составлял 10  $M\Lambda$ . Принимая, что объем раствора равен объему компонентов, выражаем  $v_p$  через  $v_p$  +  $v_p$  таким образом:

$$v_{y} = v_{s} \frac{\frac{n_{s}^{2} - 1}{n_{s}^{2} + 2} - \frac{n_{p}^{2} - 1}{n_{p}^{2} + 2}}{\frac{n_{p}^{2} - 1}{n_{p}^{2} + 2} - \frac{n_{y}^{2} - 1}{n_{y}^{2} + 2}}$$
(4')

Коэффициенты рефракции определяли рефрактомером ИРФ-22.

Для каждого определения 10 мл раствора эмульгатора отмерялось (пипеткой) в стеклянный сосуд (типа капельницы) емкостью 50 мл, с притертой пробкой. Туда же вводился с помощью микробюретки определенный объем хлоропрена; содержимое перемешивалось и термостатировалось при  $40^{\circ} \pm 0.2$  в течение 30 минут. При этой же температуре определялся  $n_{\rm p}$ , а также  $n_{\rm s}$  и  $n_{\rm y}$ . Вычисление объема сопряженно растворенного мономера  $v_{\rm y}$  производилось по формуле (4').

Данные измерения показали, что сопряженная растворимость хлоропрена в водных растворах эмульгаторов (Е-30 и додецилсульфат натрия) прямо пропорциональна концентрации этих эмульгаторов (в пределах от 1 до  $6^{0}/_{0}$  от фазы).

Для полимеризации были составлены три эмульсионные системы для каждого эмульгатора. Например, при применении Е-30 в первую систему задавали 0.94~мл хлоропрена в 100~мл  $4^{\text{0}}/_{\text{0}}$ -ного раствора Е-30 ( $100^{\text{0}}/_{\text{0}}$  насыщение мицелл хлоропреном), во вторую — 0.63~мл ( $75^{\text{0}}/_{\text{0}}$  насыщение), а в третью — 0.47~мл ( $50^{\text{0}}/_{\text{0}}$  насыщение). Опыты повторяли по 3-4 раза и брали среднее значение данных. Воспроизводимость была удовлетворительной.

Средневязкостные молекулярные веса полученных образцов полихлоропрена ( $M_{v}$ ) определяли по формуле: [ $\eta$ ] = 1,57·10<sup>-4</sup>  $M^{0,7}$  [10], а кристалличность и регулярность — ИКС методом на приборе ИКС-14 [13].

Средние значения  $M_{\sigma}$  приводятся в таблице 1.

Средние значения из данных трех измерений по полимеризации хлоропрена при различных степенях насыщения  $6^{\circ}/_{\circ}$  раствора додецилсульфата натрия хлоропреном приведены в таблице 2 (полимеризация проводилась при тех же условиях). При  $40^{\circ}$  растворимость хлоропрена в  $6^{\circ}/_{\circ}$  растворе додецилсульфата натрия была равна 1,0 г.

Средневесовые молекулярные веса образцов полихлоропрена ( $M_w$ ) определяли методом светорассеяния на визуальной нефелометрической установке.

Таблица 1

| Степень насыщения 4º/o-ного p-ра E-30 хлоропреном (в º/o) | Молекулярный<br>вес полимера Мо<br>(средневязкостный) | Молекулярный вес полимера, вычис-<br>ленный по формуле (3)* |  |  |
|---|---|---|--|--|
| 100   | 133000  | 136000  |  |  |
| 78  | 78000   | 765000  |  |  |
| 50  | 50000   | 34000   |  |  |

<sup>\*</sup> Константа  $K=1,36\cdot 10^5$  в уравнении (3) определялась по данным, полученным для 100 и  $75^0/_0$  насыщения. Значение мол. веса для  $50^0/_0$  насыщения несколько завышено вследствие потерь низкомолекулярной фракции при осаждении и экстракционной очистке полимера.

Таблица 2

| Растворенное количество хлоропрена на 100 мл 6% р-ра додецилсульфата натрия, г | Средневесовый молекулярный вес полимера (Мт) | Молекулярный вес<br>полимера, вы-<br>численный по<br>формуле (3)* |  |  |
|--|--|---|--|--|
| 1,0  | 250000                                       | 245000  |  |  |
| 0,5  | 60000  | 60000   |  |  |
| 0,3  | 28000  | 22000   |  |  |

<sup>•</sup>  $K = 2.45 \cdot 10^5$ .

Как видно из таблиц 1 и 2, полученные данные вполне удовлетворительно согласуются с уравнением (3).

На рисунке представлен спектр поглощения полихлоропрена, синтезированного указанным выше способом. Судя по интенсивности полосы 780 см $^{-1}$ , которая определяется регулярностью макромолекулы вдоль цепи и характеризует кристалличность полихлоропрена [11—13], полимер, полученный при  $100^{\circ}$ /0 насыщении мицелл мономером, имеет весьма регулярную структуру, а степень кристалличности, определенная методом, указанным в [13, 12], порядка  $11^{\circ}$ /0, т. е. достаточно велика для такого молекулярного веса, как 133000. Кроме того, соотношение оптических плотностей  $D_{1450}/D_{1440} = 1,5$  полос 1450 и 1440 см $^{-1}$  для транс- и гош-изомеров соответственно, возникающих при поворотах единичной связи —  $CH_2-CH_3-B$  полихлоропрене [13], говорит о том, что доля гош-структуры в молекуле мала. Структура образцов со степенью насыщения мицелл хлоропреном, ниже  $100^{\circ}$ /0 менее регулярна, с очень малой долей кристалличности.

Подобные закономерности были обнаружены и в случае применения  $6^{\circ}/_{\circ}$ -ного раствора додецилсульфата натрия.

Данные измерения наводят на мысль о том, что величина коэффициента коллективности X зависит как от степени насыщенности слоя эмульгатора мономером, так и от рода и концентрации эмульгатора. Очевидно, с ростом концентрации эмульгатора увеличиваются

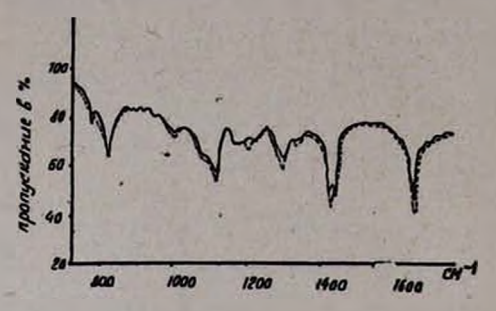


Рис. ИК спектр полихлоропрена, синтезированного в отсутствии капель мономера при  $100^{\circ}/_{\circ}$  (сплошная линия) и  $75^{\circ}/_{\circ}$  (пунктирная линия) насыщении мицелл хлоропреном (эмульгатор E-30).

вероятность образования полимерно-мономерных частиц в системе и размер элементарной ячейки. Последнее в свою очередь приводит к увеличению не только значения X, но и числа группировок по X молекул мономера в элементарной ячейке. Оба эти фактора неизбежно приведут к росту скорости и степени полимеризации, а также степени регулярности структуры и кристалличности полимера. Уменьшение степени насыщенности ми-

целл (или слоя эмульгатора на поверхности ПМ частицы) мономером, по-видимому, должно привести к резкому уменьшению коэффициента коллективности вследствие резкого уменьшения эффекта ориентации молекул мономера в слое эмульгатора. Если исходить из принципа статистического распределения солюбилизированного мономера в неполярном участке слоя эмульгатора мицелл и элементарных ячеек, то можно полагать, что при степенях насыщения слоя эмульгатора мономером ниже 100% значение Х резко уменьшается, стремясь к единице. Это приведет к увеличению вероятности встреч одиночных молекул мономера с растущими цепями и, следовательно, к увеличению вероятности различных присоединений (1,4-цис-, 1,2-; 3,4-; головка-головка и хвост-хвост) мономерного звена в макроцепи, что. безусловно приведет к значительному снижению регулярности структуры макромолекулы и степени кристалличности полимера. При наличин в системе капель мономера степень регулярности и кристалличность полимера, очевидно, должны быть ниже, чем у полимеров того же молекулярного веса, полученных при 100% насыщении мицелл, но в отсутствии мономерной фазы.

# ДИЗЧИЧИ В РРГРИЧИ В ИГИИ ЧРР АРМЯНСКИЯ ХИМИЧЕСКИЯ ЖУРНАЛ

XXIII, № 1, 1970

### НЕОРГАНИЧЕСКАЯ И АНАЛИТИЧЕСКАЯ ХИМИЯ

УДК 546.23+546.24+546.59

### ТОНКОСЛОЙНАЯ ХРОМАТОГРАФИЯ РЕДКИХ ЭЛЕМЕНТОВ

IX. ИДЕНТИФИКАЦИЯ И ОПРЕДЕЛЕНИЕ ЗОЛОТА (III), СЕЛЕНА (IV) И ТЕЛЛУРА (IV) В ЩЕЛОЧНОЙ СРЕДЕ

#### Д. С. ГАЙБАКЯН и Р. Т. ЕГИКЯН

Ереванский государственный университет

Поступило 10 VIII 1968

Изучены разделение, идентификация и определение микрограммовых количеств селена (IV), теллура (IV) и золота (III) методом восходящей тонкослойной хроматографии. Предложены методы идентификации ионов золота, селена и теллура, а также полуколичественного определения селена и теллура при совместном их присутствии. Рис. 3, табл. 4, библ. ссылок 5.

В отходах некоторых производств и шламах производства серной кислоты очень часто селену и теллуру сопутствует золото.

Вопросу хроматографического отделения теллура от селена и других элементов посвящено много работ, однако применение тонко-слойной хроматографии при анализе селена и теллура очень ограничено [1—4]. Между тем этот метод анализа является быстрым, простым и точным. Цель настоящей работы—исследовать возможность применения этого метода для идентификации и разделения золста, селена и теллура при их совместном присутствии.

Методика исследования аналогична [5].

Для обнаружения пятен ионов золота, селена и теллура пластинки опрыскивали солянокислым раствором хлористого олова; при этом появлялось фиолетовое, светло-бурое и черное окрашивание, соответственно.

# Результаты и их обсуждение

Сначала измерялись  $R_f$  ионов золота (III), селена (IV) и теллура (IV), применяя в качестве подвижной фазы водные растворы аммиака и гидроокиси натрия различной концентрации.

При применении в качестве подвижной фазы раствора гидроокиси аммония ионы золота, селена и теллура существенно не перемещаются со стартовой линии. При высокой же концентрации  $NH_4OH$  (17,5 n) перемещаются только ионы селена и теллура, однако вели-

чина  $R_f$  составляет 0,06 и 0,02, соответственно. При применении водных растворов гидроокиси натрия в качестве подвижной фазы ионы золота остаются на стартовой линии, для ионов же селена и теллура

с повышением концентрации NaOH повышается величина Rf (рис. 1). При концентрации раствора гидроокиси натрия 0,6 н величины R<sub>f</sub> ионов селена и теллура равняются 0,58 и 0,42, соответственно. При концентрации же 4 и NaOH и больше R<sub>f</sub> этих ионов достигают максимального значения, т. е. 0,86 и 0,71, соответственно. Дальнейшее повышение не только не изменяет величину R<sub>f</sub> указанных ионов, но и разрыхляет слой окиси алюминия.

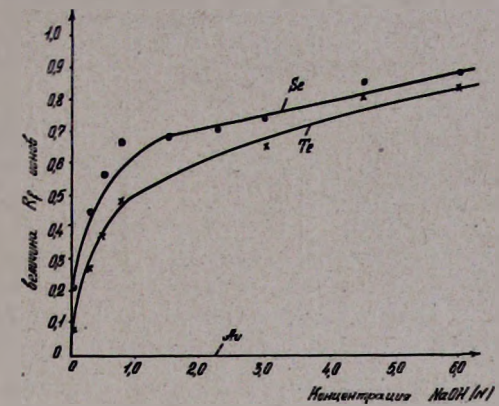


Рис. 1. Зависимость  $R_f$  ионов Au (III), Se (IV) и Te (IV) от концентрации щелочи (NaOH).

Таким образом, относительно большая разность в величинах  $R_f$  ионов селена и теллура наблюдается только в интервале 0,3—0,6  $\mu$  NaOH.

Применялись также смеси 3 и NaOH и концентрированного раствора аммиака в качестве подвижной фазы (рис. 2). При объемном

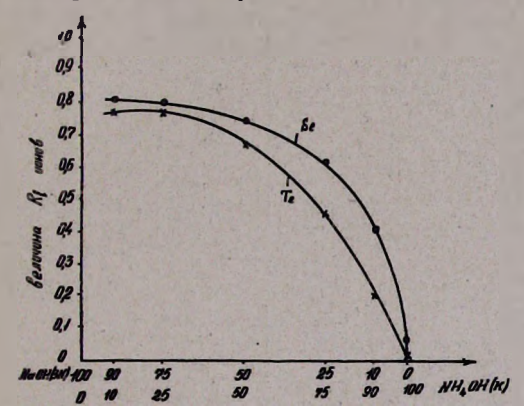


Рис. 2. Зависимость  $R_f$  нонов Au (III), Se (IV) и Te (IV) от состава подвижной фазы: NaOH (3  $\mu$ ): NH<sub>4</sub>OH (конц.).

отношении растворов NaOH  $(3 \text{ н}): NH_4OH (конц.) = 9:1 \text{ н}$ 3:1 величина Rf селена составляет 0,80, a теллура — 0,80 и 0,76, соответственно. Дальнейувеличение количества гидроокиси аммония приводит к одновременному увеличению R<sub>f</sub> селена и теллура (в больмере). Так, например, при отношении NaOH (3н): :  $NH_aOH$  (конц.) = 1:1, 1:3 1:9 величины R<sub>f</sub> ионов имеют следующие значения: селена — 0,74, 0,61 и 0,41, а теллура — 0,66, 0,46 и 0,20. В

последнем случае ионы селена и теллура хорошо разделяются, но их пятна имеют несколько удлиненную форму. Золото всегда остается на стартовой линии.

Исследовалось влияние концентрации щелочного раствора подвижной фазы (табл. 1). Разбавление водой частично увеличивает  $R_1$  ионов селена и теллура; одновременно увеличивается площадь пятен, что имеет существенное значение.

*Таблица 1* Влияние воды на R<sub>f</sub> ионов Se (IV), Te (IV) и Au (III)

| Состав     | подвижной фазы,            | Величина R <sub>f</sub> |          |         |         |  |
|------------|----------------------------|-------------------------|----------|---------|---------|--|
| NaOH (3 H) | NH <sub>4</sub> OH (конц.) | H <sub>2</sub> O        | Au (III) | Se (IV) | Te (IV) |  |
| 10         | 75                         | 15                      | 0,0      | 0,40    | 0,28    |  |
| 10         | 50                         | 40                      | 0,0      | 0,43    | 0,30    |  |
| 10         | 25                         | 65                      | 0,0      | 0,49    | 0,34    |  |
| 25         | 50                         | 25                      | 0,0      | 0,52    | 0,43    |  |
| 25         | 25                         | 50                      | 0,0      | 0,55    | 0,45    |  |

В следующих опытах были применены в качестве подвижной фазы одноатомные алифатические спирты (метанол, этанол и другие) с 3 н раствором гидроокиси натрия при различных их объемных отношениях.

Tаблица 2 Зависимость  $R_f$  ионов Au (III), Se (IV) и Te (IV) от состава подвижной фазы: спирт — NaOH (3  $\nu$ )

| -             |                                   |  | Chapt — NaOti (b                          | **/  |  |  |
|---------------|-----------------------------------|--|---|--|--|--|
| Сп            | ирты                              | OUBCM                                  |   | Ве   | личина   | a R <sub>f</sub>                       |
| назва-<br>ние | объе <b>м</b> ,<br><i>мл</i>      | MaOH (3 H),                            | ЈаОН (3 н), Спирт : NaOH (3 н)<br>мл      |  | Te (IV)  | Au (III)                               |
| Метанол       | 10 90 1 1:9 0,76                  |  | 0,0<br>0,0<br>0,0<br>0,54<br>0,76<br>0,88 | 0,0<br>0,0<br>0,0<br>0,19<br>0,52<br>0,73<br>0,84  | 0,0<br>0,0<br>0,0<br>0,0<br>0,0<br>0,0             |  |
| Этанол        | 100<br>90<br>75<br>50<br>25<br>10 | 0<br>10<br>25<br>50<br>75<br>90<br>100 | 9:1<br>3:1<br>1:1<br>1:3<br>1:9           | 0,0<br>0,0<br>0,05<br>0,35<br>0,72<br>0,78<br>0,80 | 0,0<br>0,0<br>0,05<br>0,35<br>0,67<br>0,79<br>0,84 | 0,0<br>0,0<br>0,0<br>0,0<br>0,0<br>0,0 |
| трет-Бутанол  | 100<br>90<br>75<br>50<br>25<br>10 | 0<br>10<br>25<br>50<br>75<br>90<br>100 | 9:1<br>3:1<br>1:1<br>1:3<br>1:9           | 0,0<br>0,0<br>0,0<br>0,36<br>0,66<br>0,69<br>0,88  | 0.0<br>0,0<br>0,0<br>0,34<br>0,62<br>0,65<br>0,84  | 0,0<br>0,0<br>0,0<br>0,0<br>0,0<br>0,0 |

Добавление метилового, этилового и *трет*-бутилового спиртов к раствору NaOH уменьшает величину R<sub>f</sub> ионов селена и теллура (табл. 2). При отношении спирт: NaOH, равном 3:1, ионы селена и

теллура практически не перемещаются со стартовой линии, а дальнейшее повышение концентрации NaOH приводит к одинаковому увеличению  $R_{\rm f}$  указанных ионов.

Применялась также смесь этанола и раствора гидроокиси натрия при постоянном их объемном отношении 1:1, но при разных концен-

трациях NaOH. Результаты (рис. 3) показывают невозможность количественного разделения ионов селена и теллура, так как пятна частично налагаются.

Бутиловый, амиловый и другие члены гомологического ряда одноатомных спиртов не смешиваются с растворами щелочей. Однако в качестве подвижной фазы мы применяли спирты, насыщенные растворами щелочи 6, 4, 2, 1, 0,5 и 0,1 и концентрации. Во всех случаях, от бутанола до октанола, ионы золота, селена и теллура остаются на стар-

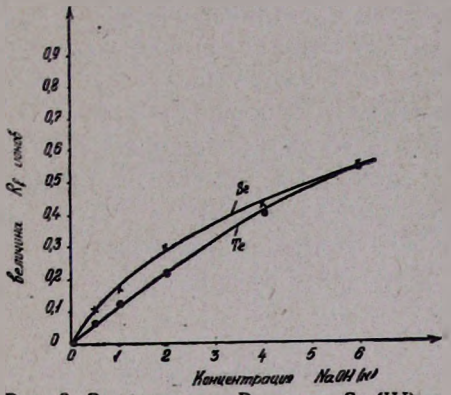


Рис. 3. Зависимость  $R_f$  ионов Se (IV) и Te (IV) от концентрации щелочи: этанол—NaOH (1:1).

товой линии. Тройная система н-бутанол—метанол—NaOH в качестве подвижной фазы оказалась также неэффективной.

Tаблица  $3^{\circ}$  Зависимость  $R_f$  ионов Au (III), Se (IV) и Те (IV) от состава носителя  $Al_2O_3$ :  $SIO_2$  и  $Al_2O_3$  стекло

| Носител  | ь                                       |   | Величина R <sub>f</sub>         |  |  |  |
|--|---|---|---------------------------------|--|--|--|
| состав   | соотноше-<br>ние ком-<br>понентов       | Подвижная фаза  | Au (III)                        | Se (IV)                                      | Te (IV)                                      |  |
| Al <sub>2</sub> O <sub>3</sub> :SiO <sub>2</sub> (,x. ч.*) | 9:1<br>3:1<br>1:1<br>1:3<br>1:9         | 0,6 н NaOH  | 0,0<br>0,0<br>0,0<br>0,0<br>0,0 | 0,56<br>0,50<br>0,36<br>0,29<br>0,21         | 0,45<br>0,42<br>0,29<br>0,21<br>0,21         |  |
| Ai <sub>2</sub> O <sub>3</sub> : силикагель<br>КСМ—№ 6 н   | 3:1<br>4:1<br>6:1<br>9:1<br>19:1        | 0,6 # NaOH  | 0,0<br>0,0<br>0,0<br>0,0<br>0,0 | 0,31<br>0,37<br>0,44<br>0,47<br>0,53         | 0,27<br>0,38<br>0,38<br>0,39<br>0,46         |  |
| Al <sub>2</sub> O <sub>3</sub> : порошок стекла            | 9:1<br>3:1<br>1:1<br>1:3<br>1:9<br>1:19 | NaOH (3 n): NH <sub>4</sub> OH (K): H <sub>2</sub> O 65 | 0,0<br>0,0<br>0,0<br>0,0<br>0,0 | 0,50<br>0,54<br>0,60<br>0,78<br>0,94<br>0,96 | 0,34<br>0,39<br>0,40<br>0,58<br>0,76<br>0,82 |  |

В качестве носителя применялись смеси:  $Al_2O_3$  с порошком стекла и  $Al_2O_3$  с силикагелем при различных их весовых отношениях. Таблица 3 показывает, что кремнезем марки "х.ч." проявляет адсорб-

ционные свойства по отношению к ионам селена и теллура, так как увеличение его количества в смеси с окисью алюминия уменьшает  $R_t$  ионов. Порошок же стекла или силикагель марки  $KCM-N = 6 \, \mu$  не проявляет сорбционных свойств.

Несмотря на относительно большую разность величин  $R_1$  ионов селена и теллура в случае применения в качестве носителя смеси  $Al_2O_3$ : стекло (1:1), их разделению и идентификации мешают "хвосты". Для укорочения и устранения "хвостов" изменялась толщина слоя носителя. Измерялись величины  $R_1^2$  ионов, применяя в качестве носителя слой  $Al_2O_3$  толщиной в 1,0, 0,5, 0,25 и 0,1 мм, а в качестве подвижной фазы — смесь 3 и NaOH:  $NH_4OH:H_2O$  в различных объемных соотношениях (табл. 4). Полученные данные показывают, что уменьшение толщины слоя носителя  $Al_2O_3$  приводит к незначительному увеличению  $R_1$  ионов селена и теллура. "Хвосты" пятен наблюдались всегда.

Tаблица 4 Зависимость  $R_f$  ионов Au (III), Se (IV) и Te (IV) от состава носителя и толщины слоя окиси алюминия

| Состав подвижной фазы                                | Толщина  | Величина R <sub>f</sub> |      |         |  |
|--|----------|-------------------------|------|---------|--|
| NaOH (3 n): NH <sub>4</sub> OH (K): H <sub>2</sub> O | слоя, мм | Au (III)                |      | Te (IV) |  |
| 10:25:65   | 1,0      | 0,0                     | 0,47 | 0,32    |  |
|  | 0,5      | 0,0                     | 0,49 | 0,34    |  |
|  | 0,25     | 0,0                     | 0,50 | 0,34    |  |
|  | 0,10     | 0,0                     | 0,52 | 0,34    |  |
| 5:25:70  | 0,1      | 0,0                     | 0,48 | 0,30    |  |
| 10:25:65   | 0,1      | 0,0                     | 0,52 | 0,34    |  |
| 15:25:60   | 0,1      | 0,0                     | 0,58 | 0,47    |  |
| 25:25:50   | 0,1      | 0,0                     | 0,68 | 0,52    |  |

Исследование зависимости площади пятен от концентрации ионов Se (IV) и Te (IV) показывает, [что тонкослойный метод в щелочной среде пригоден для разделения и идентификации ионов золота, селена и теллура, а в некоторых случаях — для полуколичественного определения селена и теллура при их совместном присутствии. Обнаруживаемый минимум составляет 0,5 мкг селена и теллура.

# ՀԱԶՎԱԳՅՈՒՏ ԷԼԵՄԵՆՏՆԵՐԻ ՆՐԲԱՇԵՐՏ ՔՐՈՄԱՏԱԳՐԱՖԻԱՆ

IX. በሀԿበՒ (III), ሀԵԼԵՆԻ (IV) ԵՎ ԹԵԼՈՒՐԻ (IV) ԻԴԵՆՏԻՖԻԿԱՑԻԱՆ ԵՎ ՈՐՈՇՈՒՄԸ ՀԻՄՆԱՑԻՆ ՄԻՋԱՎԱՑՐՈՒՄ

Դ. Ս. ԳԱՅԲԱԿՏԱՆ և Ռ. Տ. ԵՂԻԿՑԱՆ

Udhnhnid

ւլա արդիացված չարաի վրա և արդանական հղանակով, ալյումինիումի Մերընթացնըաց արդանարագրական արդանություն արդիկագելի և ալյ կրողների հետ, ուսումնասիրվել է ոսկու (III), սելենի (IV) և Թելուրի (IV) միկրոգրամալին ջանակների իդենտիֆիկացիան և որոշումը։

Ս.Նալիզի համար պիտանի շարժուն ֆազի ընտրության նպատակով կի-

հասվր գը անիանիջրևի ձևանիջ ը ուհիևատնիջ նագունքջրիևն։

Առաջարկվել է ոսկու, սելենի և Թելուրի իդենտիֆիկացիայի և կիսաըանակական որոշման մեթոդ։

### ЛИТЕРАТУРА

- 1. Ilu Zhi-Tei, Kexue Tongbao, № 12, 1103 (1964), РЖ хим, 1965 г., раф. 18г 38.
- 2. Hu Zhl-Tel, Liu Cheng-Li Scientia Sinica, 14, 1235 (1965).
- 3. K. Hayashi, T. Ogata, Japan Analyst., 14, 1146 (1965).
- 4. Д. С. Гайбакян, М. М. Атурян, Арм. хим. ж., 21, 1015 (1968).
- .5. Д. С. Гайбакян, Apm. хим. ж., 22, 13 (1969).

XXIII, № 1, 1970

УДК 541.49+543.544+546.831

## ОПРЕДЕЛЕНИЕ СРАВНИТЕЛЬНОЙ УСТОЙЧИВОСТИ ЦИТРАТНОГО, ОКСАЛАТНОГО И ТАРТРАТНОГО КОМПЛЕКСОВ ВАНАДИЯ МЕТОДОМ ИОННОГО ОБМЕНА

#### Д. С. ГАЙБАКЯН и З. З. ТЕРМЕНДЖЯН

Ереванский государственный университет

Поступило 21 IV 1969

На основании исследования сорбции на сильнокислотном катионите КУ-2 в водородной форме изучена сравнительная устойчивость тартратных, цитратных и оксалатных комплексов ванадия (V) как в отсутствии, так и в присутствии лимонной, винной и щавелевой кислот.

По убывающей устойчивости комплексы ванадия располагаются в ряд: оксалатный — цитратный — тартратный.

Рис. 4, табл. 1, библ. ссылок 8.

При хроматографическом исследовании разделяемости элементов достаточно знать сравнительную устойчивость образующихся комплексных соединений с элементами.

Приведенные в литературе данные об устойчивости тартратного, цитратного и оксалатного комплексов ванадия получены различными методами и в разных условиях, что не позволяет сопоставить эти данные для выяснения сравнительной устойчивости названных комплексов.

В последнее время был предложен ионообменный метод определения сравнительной устойчивости комплексных соединений, отличающийся простотой и достаточной точностью [1, 2]. В предыдущем сообщении [3] этим методом нами исследовалась сравнительная устойчивость тартратного, цитратного и оксалатного комплексов молибдена. В настоящей работе описываются результаты определения сравнительной устойчивости комплексов ванадия.

### Экспериментальная часть

В зависимости от кислотности растворов и в присутствии соответствующих лигандов ванадий может находиться как в катионной, так и в анионной форме. Для исследования процесса комплексообразования ионообменным методом применялся сильнокислотный монофункциональный катионит полимеризационного типа КУ-2.

Предварительную очистку катионита (фракция 0,25—0,5 мм) осуществляли многократной обработкой 2 н раствором соляной кислоты до полного удаления железа (проба на SCN<sup>-</sup>), после чего катионит промывали водой до нейтральной реакции. Раствор ванадата аммония готовили по методике, описанной в [4]; полученный раствор содержал 2 мг/мл ванадия. Растворы лигандов—лимонной, винной и щавелевой кислот готовили по точной навеске.

Для предварительного определения оптимальных условий сорбщии ванадия на катионите КУ-2 были поставлены опыты по исследованию процесса сорбции в статических условиях. Опыты проводили как в присутствии, так и в отсутствии лигандов при различной кислотности исследуемого раствора.

1,0 г воздушно-сухого катионита в Н-форме помещали в 50 мл плоскодонную колбу, добавляли около 25 мл дистиллированной воды и оставляли до набухания смолы. После декантации воды к набухшей смоле добавляли 25 мл раствора соляной кислоты, содержащего 1000 мкг ванадия. Раствор встряхивали около часа для установления сорбционного равновесия, после чего в аликвотной части определяли количество непоглощенного ванадия.

Полученные данные приведены на рисунке 1.

Как видно из рисунка 1, ванадий хорошо сорбируется из 0,0001— 0,05 к соляной кислоты. При концентрации соляной кислоты 0,5 к более резко снижается сорбция ванадия вследствие конкурирующего действия водородных ионоя.

Сорбция ванадия при указанной кислотности катионитом объясняется смещением равновесия в сторону образования катионов ванадила:

$$VO_3^- + 2H^+ = VO_2^+ + H_9O.$$

Исследование сорбции ванадия (анализ элюатов) при pH=2,1 в динамических условиях показало, что 2 мг ванадия количественно поглощаются катионитом (размер колонки  $1\times 50$  см).

В следующих опытах исследовалось влияние лимонной, винной и щавелевой кислот на сорбцию ванадия в статических условиях (рис. 2).

Как показывает рисунок 2, свыше 70% взятого ванадия поглощается катионитом из 0,001 М растворов указанных лигандов (рН 2,0— 3,0). Дальнейшее повышение концентрации последних приводит к уменьшению сорбции ванадия вследствие перехода катиона ванадия в соответствующий анионный комплекс.

Для определения относительной прочности этих комплексных соединений через колонку  $(1 \times 50 \ cm)$  с катионитом со скоростью  $1 \ mn/m$ ин пропускали дистиллированную воду, подкисленную до  $pH = 2.1^*$ , затем  $25 \ mn$  исследуемого раствора такой же кислотности,

<sup>•</sup> Для приведения смолы к рабочей кислотности.

содержащего 2 мг ванадия. Фильтрат собирали в мерной колбе емкостью 25 мл. Смолу с поглощенным ванадием промывали последовательно двумя порциями по 10 мл дистиллированной воды, подкисленной до рН 2,1 0,01 М растворами лимонной, винной или щавелевой кислот. Фильтраты собирали по 10 мл и в каждой пробе определяли количество ванадия, перешедшего в раствор. Ванадий определяли фосфорновольфрамовой кислотой фотометрическим методом [6].

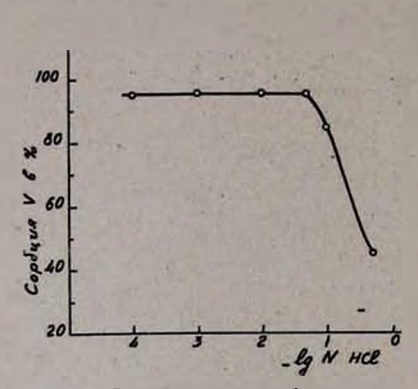


Рис. 1. Зависимость сорбции ванадия (V) от концентрации раствора соляной кислоты в статических условиях на КУ-2 в Н-форме.

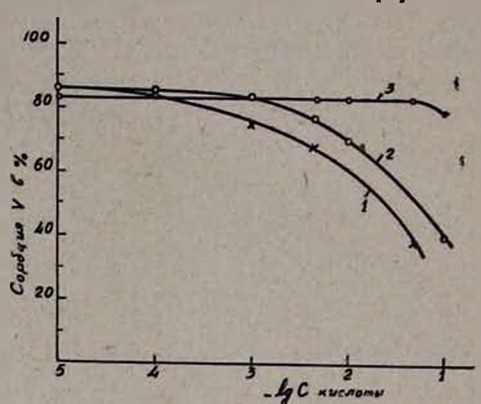


Рис. 2. Сорбция ванадия (V) на катионите КУ-2 из растворов: I — щавелевой; 2 — лимонной; 3 — винной кислот в статических условиях.

Данные, приведенные в таблице, показывают, что при pH=2,1 и концентрации лигандов 0,01 М ванадий вымывается из катионита только раствором щавелевой кислоты и то частично. Таким образом, относительно устойчивое анионное комплексное соединение ванадий образует с щавелевой кислотой.

Taблица Вымывание ванадия с катионита КУ-2 растворами щавелевой, винной и лимонной кислот 0,01 М концентрации при pH = 2,1

| Фракція №                            | Объем        | Вымывание ванадия растворами кислот, $^{0}/_{0}$ |        |          |  |  |
|--------------------------------------|--------------|--|--------|----------|--|--|
|                                      | раствора,    | щавелевой  | винной | лимонной |  |  |
| 1                                    | 10           | 0  | 0      | 0        |  |  |
| 1<br>2<br>3<br>4<br>5<br>6<br>7<br>8 | 20<br>30     | 0<br>3,1   | 0      | 0        |  |  |
| 4                                    | 40           | 27,5   | Ŏ      | ŏ        |  |  |
| 5                                    | 50           | 27,9   | 0      | 0        |  |  |
| 6                                    | 60           | 8,1  | 0      | 0        |  |  |
| 7                                    | 70           | 5,1  | 0      | 0        |  |  |
| 8                                    | 80           | 4,58   | 0      | 0        |  |  |
| 9                                    | 90           | 4,56   | 0      | 0        |  |  |
| Вымь                                 | вается всего | 80,4%  | 0 %    | 0 %      |  |  |

Известно, что полнота процесса комплексообразования в известной мере зависит от концентрации лигандов. Поэтому, с целью нахождения разницы в устойчивости анионных комплексных соединений ванадия с винной и лимонной кислотами, вымывание поглощенного ванадия с катионита проводили растворами указанных кислот концентраций 0,1 и 0,25 М. Данные, приведенные на рисунках 3 и 4, показывают, что по устойчивости соответствующие комплексные анионы ванадия располагаются в ряд: щавелевокислый—лимоннокислый—виннокислый.

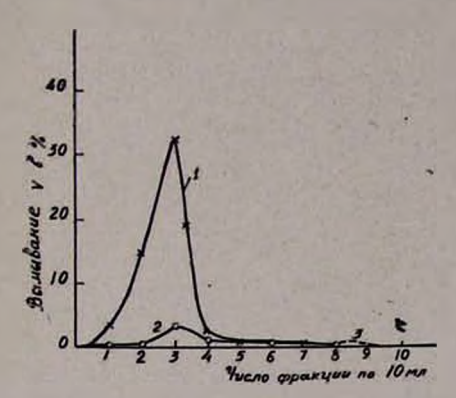


Рис. 3. Кривые вымывания ванадия (V) растворами: 1 — щавелевой; 2 — лимовной; 3 — винной кислот 0,1 мольной концентрации.

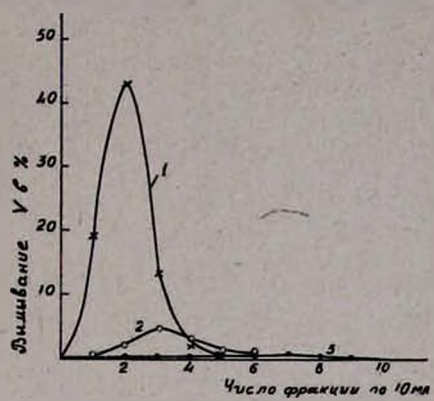


Рис. 4. Кривые вымывания ванадия (V) растворами: I — щавелевой; 2 — лимонной; 3 — вичной кислот 0,25 мольной концентрации.

Методом миграции ионов при ионофорезе на бумаге показано, что образующиеся комплексные ионы ванадия (V) с щавелевой, винной и лимонной кислотами являются анионами, что находится в полном согласии с данными работ [7, 8], авторы которых для аналогичного исследования использовали спектрофотометрический метод.

ՎԱՆԱԴԻՈՒՄԻ ԿԻՏՐՈՆԱԹԹՎԱՅԻՆ, ԹՐԹՆՋԿԱԹԹՎԱՅԻՆ ԵՎ ԳԻՆԵԹԹՎԱՅԻՆ ԿՈՄՊԼԵՔՍԱՅԻՆ ՄԻԱՑՈՒԹՅՈՒՆՆԵՐԻ ՀԱՄԵՄԱՏԱԿԱՆ ԿԱՅՈՒՆՈՒԹՅԱՆ ՈՒՍՈՒՄՆԱՍԻՐՈՒԹՅՈՒՆ ԻՈՆԱՓՈԽԱՆԱԿՄԱՆ ԵՂԱՆԱԿՈՎ

Դ. Ս. ԳԱՅԲԱԿՅԱՆ և Ձ. Ձ. ՏԵՐՄԵՆԶՅԱՆ

# Udhnhnid

Ուսումնասիրվել է կիտրոնաԹԹվի, դինսեԹԹվի ու ԹրԹնջկաԹԹվի ներկալուԹլամբ և բացակալուԹլամբ ստատիկ պալմաններում վանադիումի սորբցիան ուժեղ ԹԹվալին կատիոնափոխանակիչ KV-2-ով։

սալին միացութլունների համեմատական կալունությունը։ Հիրջից, իոնափոխանակալին, գինեթթվալին և թրթնջկաթթվալին կոմպլեջսարիումի կիտրոնաթթվալին, գինեթթվալին և թրթնջկաթթվալին կոմպլեջսալին միացութլունների համեմատական կալունությունը։ թեվալին – գիթթեթելալին։ Ները դասավորվում են չետելալ կարգով՝ Թրթնչկաթթվալին – կիտրոնա-Ըստ կալունության նվազման վանադիումի կոմպլեքսալին միացություն-

### ЛИТЕРАТУРА

1. М. М. Сенявин, Л. Н. Тихонова, ЖНХ, 1, 2772 (1956).

2. В. К. Золотухин, О. М. Пасечник, Укр. хим. ж., 29, 335 (1963).

- 3. Д. С. Гайбакян, З. З. Терменджян, В. М. Тараян, Арм. хим. ж. (в печати).
- 4. А. И. Бусев, В. Г. Типцова, Б. И. Иванов, Практическое руководство по аналит. химии редких элементов, Изд. "Химия", Москва, 1966, стр. 182.
- 5. А. И. Бусев, В. Г. Типцова, В. М. Иванов, там же, стр. 172.

6. E. Sendell, Ind. Eng. Chem., Anal. Ed., 8, 336 (1936).

- 7. B. Ghosh, S. Moulik, K. Sengupta, P. Pal, J. Ind. Chem. Soc., 40, 509 (1963).
- 8. K. Chirondo, N. Toru, J. Chem. Soc. Japan, Pure Chem. Sec., 83, 708 (1962).

XXIII. № 1, 1970

УДК 543.257.5+546.13+546.133.1

## АМПЕРОМЕТРИЧЕСКОЕ ОПРЕДЕЛЕНИЕ СВОБОДНОГО ХЛОРА И ГИПОХЛОРИТА МЕРКУРОНИТРАТОМ

В. М. ТАРАЯН, Г. С. АЧАРЯН и Г. А. ДАРБИНЯН

Ереванский государственный университет

Поступило 20 VI 1969

Для определения "активного хлора" в питьевых и сточных водах разработан амперометрический метод его титрования меркуронитратом. Последнее осуществляется с наложением внешнего напряжения в +0.6 в (от м. и. э.) в среде 1 и серной кислоты с добавлением бромида по катодному току "активного хлора". Пропорциональность диффузионного тока концентрации компонентов смеси наблюдается при титровании  $3.7 \cdot 10^{-3} - 1.0 \cdot 10^{-5}$  М по "активному хлору" растворов.

Погрешность при определении миллиграммовых и микрограммовых количеств не превышает  $\pm 1,25^{\circ}/_{o}$ .

Рис. 2, табл. 1, библ. ссылок 4.

При хлорировании водопроводной воды или при анализе сточных вод возникает необходимость в определении "активного хлора".

Как известно, под термином \_активный хлор\* понимают суммарное содержание в воде свободного хлора Cl<sub>2</sub>, хлорноватистой кислоты HClO и гипохлорит-ионов ClO<sup>—</sup>, относительные количества которых определяются величиной pH воды [1].

Амперометрическое титрование свободного хлора и присутствующих одновременно с ним в воде активных соединений хлора осуществляется главным образом двумя методами [2]: а) вытеснением йода из йодида калия и амперометрическим титрованием выделившегося йода раствором тиосульфата или добавлением последнего в избытке и титрованием раствором йодата калия; б) фениларсоновой кислотой в присутствии йодида калия.

Данная статья посвящена амперометрическому определению микрограммовых количеств "активного хлора" раствором меркуронитрата, аналогично ранее описанному амперометрическому определению золота (III) [3].

Опыты проводились на обычной амперометрической установке с платиновым вращающимся электродом. Раствор гипохлорита приготовляли разбавлением продажного гипохлорита натрия. Титр этого раствора устанавливали йодометрическим методом. Фоном служил 1 н раствор серной кислоты.

Содержание свободного хлора в растворе обусловлено равновесием его гидролиза  $Cl_3 + H_2O = HCl + HClO$  и при указанной кислотности он будет находиться в равновесии в значительных количествах. Поэтому результаты предварительных опытов оказались заметно ниже теоретически ожидаемых. По-видимому, в кислом растворе часть

свободного хлора, не успев прореагировать с меркуронитратом, улетучивается из раствора. Известно, что упругость паров брома значительно меньше упругости паров хлора, поэтому в дальнейшем к исследуемому раствору прибавляли бромид калия. Таким образом, смеркурононом взаимодействовали образующиеся в результате реакций

$$Cl_2 + 2Br^- = Br_2 + 2Cl^-,$$
 (1)

$$ClO^{-} + Br^{-} = BrO^{-} + Cl^{-}$$

гипобромит и свободный бром.

На рисунке 1 приведена вольтамперная кривая раствора гипохлорита (содержащего бромид калия) на фоне 1,0  $\mu$  серной кислоты.

Горизонтальный участок диффузионного тока, высота которого пропорциональна концентрации "активного хлора", обозначается на этой кривой в интервале значений +0.4-0.8 в (меркурйодидный электрод).

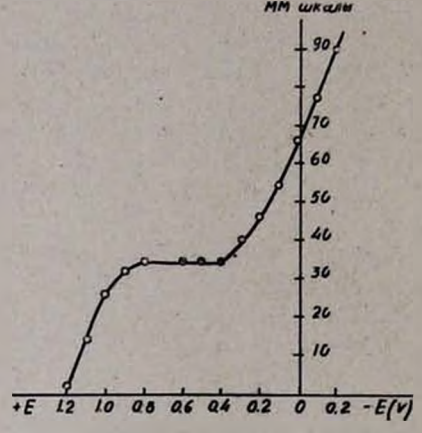


Рис. 1. Вольтамперная кривая смеси брома и гипобромита на фоне 1,0 и серной кислоты.

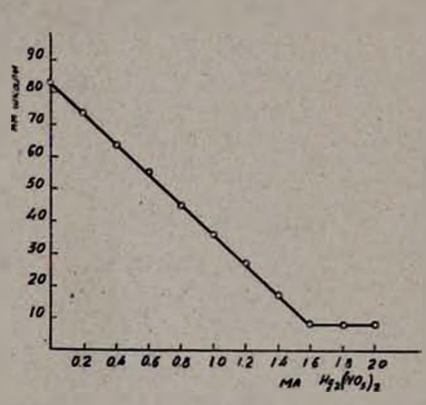


Рис. 2. Кривая амперометрического титрования смеси брома и гипобромита меркуронитратом.

В дальнейшем к исследуемому раствору перед титрованием добавляли 0.05 г бромида калия и титровали  $10^{-2}-10^{-3}$  М растворами меркуронитрата\* с наложением внешнего напряжения +0.6 в (отн. м. и. э.) в среде 1.0 н кислоты по катодному току гипобромита и свободного брома.

Эквивалентная точка фиксировалась в полном соответствии с реакциями

$$Br_2 + Hg^{2+} = 2Hg^{2+} + 2Br^-,$$
 (3)

$$BrO^{-} + Hg^{2+} + 2H^{+} = 2Hg^{2+} + Br^{-} + H_{2}O,$$
 (4)

и йодометрическим титром исследуемой смеси.

<sup>•</sup> Титр 0,1 и запасного раствора меркуронитрата устанавливали по йодату калия. Выделившийся йод титровали раствором меркуронитрата в присутствии роданида [4].

Пропорциональность диффузионного тока компонентов смеси их концентрации наблюдалась при титровании  $3.7 \cdot 10^{-3} - 1.0 \cdot 10^{-5}$  М по активному хлору" растворов. При определении от 0,0089 до 3.37 мг активного хлора" в 25 мл раствора погрешность отдельного определения не превышала  $\pm 1.25$ %.

Таблица Результаты определения "активного хлора"

| Взято хлора, | Найдено хлора,<br>мг | Относительная ошибка, °/ <sub>0</sub> |  |  |
|--------------|----------------------|---------------------------------------|--|--|
| 0,00894      | 0,00904              | ÷1,1                                  |  |  |
| 0,01362      | 0,01344              | <b>-1,2</b> 5                         |  |  |
| 0,02044      | 0,02025              | -0,93                                 |  |  |
| 0,0341       | 0,0339               | -0,58                                 |  |  |
| 0,0910       | 0,0904               | -0,65                                 |  |  |
| 0,4551       | 0,4516               | -0,76                                 |  |  |
| 0,6371       | 0,6319               | -0,8                                  |  |  |
| 0,9101       | 0,9049               | -0,57                                 |  |  |
| 1,3652       | 1,3515               | -1,0                                  |  |  |
| 1,8202       | 1,8065               | -0,75                                 |  |  |
| 3,3725       | 3,3387               | -1,0                                  |  |  |

Известно, что в сточной воде могут содержаться и другие окислители, в первую очередь, хлораты. В присутствии последних количество выделяющегося в кислой среде из бромида свободного брома будет соответственно повышаться вследствие течения следующей реакции:

$$ClO_3^- + 6Br^- + 6H^+ = 3Br_2 + Cl^- + 3H_2O.$$
 (5)

Исключить участие хлората в реакции с меркуроионом возможно при некотором изменении условий амперометрического титрования "активного хлора".

Хлорат в отсутствии кислоты непосредственно с меркуроионом не реагирует; в кислой среде он требует для своего восстановления обязательного присутствия бромида. С другой стороны, в нейтральных или слабощелочных растворах гипохлорит и свободный хлор взаимодействуют с бромидом согласно вышеприведенным уравнениям реакций (3) и (4). Поэтому при добавлении бромида без предварительного подкисления исследуемого раствора гипохлорит и свободный хлор превращаются в гипобромит и свободный бром. Затем, перед подкислением испытуемого раствора можно связать избыток бромида добавлением раствора  $Hg(NO_3)_2$ . Последний, образуя с бромидом  $HgBr_4^{2-}$  ион, предотвратит восстановление хлората при последующем подкислении исследуемой смеси [4].

С этой целью необходимо соблюдать следующий порядок добавления реагентов: к исследуемому раствору добавляют бромид  $(0,05-0,1\ z)$ , затем, хорошо перемешав, связывают избыток бромида  $0,0049\ M$  раствором  $Hg(NO_3)_3$  и создают оптимальную для амперометрического определения кислотность  $(1,0\ R$  по серной кислоте). В описанных условиях амперометрическое титрование "активного хлора" становится избирательным, т. е. не зависящим от присутствия хлората.

Описанные особенности амперометрического определения "активного хлора" меркуронитратом позволяют определять как "активный хлор" (сумму свободного хлора и гипохлорита), так и хлорат-ион. Последний определяют повторным титрованием испытуемой пробы воды без предварительного добавления  $Hg(NO_3)_2$ . Разность между результатами первого и второго титрования, выраженная в миллилитрах раствора меркуронитрата, позволит рассчитать искомое количество хлората.

## ՄԵՐԿՈՒՐՈՆԻՏՐԱՏՈՎ ԱԶԱՏ ՔԼՈՐԻ ԵՎ ՀԻՊՈՔԼՈՐԻՏԻ ԱՄՊԵՐԱՉԱՓԱԿԱՆ ՈՐՈՇՈՒՄ

4. U. PUPUSUL, A. U. ZUZUPSUL L Z. U. AUPPPLSUL

## Udhnhnid

Խմելու և արտադրական ջրերում «ակտիվ քլորի» որոշման համար մշակված է սնդիկի նիտրատով տիտրելու ամպերաչափական եղանակ։

չիտրումն իրականացվում է +0,6 վ արտաջին լարվածության տակ (մերկուրլոդիդալին էլեկտրոդ) ծծմերական թթվի միջավայրում, բրոմիդի ավե-

Բաղադրիչների խառնուրդի դիֆուզիոն հոսանքի ուղիղ հաժեժատականությունը դիտվում է 3,7 · 10<sup>-3</sup> — 1,0 · 10<sup>-5</sup> M կոնցենարացիալի լուծությների տիտրման դեպքում։

Uիլիգրամային և միկրոգրամային քանակների որոշման ժամանակ սխալը չի գերազանցում  $\pm 1,25^0/_0$ -ից։

### ЛИТЕРАТУРА

- 1. Ю. Ю. Лурье, А. И. Рыбникова, Химический анализ производственных сточных вод, Изд. "Химия", Москва, 1966.
- 2. О. А. Сонгина, Амперометрическое титрование, Изд. "Химия", Москва, 1967.
- 3. В. М. Тараян, Г. Н. Шапошникова, Г. С. Ачарян, Зав. лаб., 34, № 5, 522 (1968).
- 4. В. М. Тараян. Меркуроредуктометрия, Изд. Ереванского университета, Ереван, 1958.

XXIII, № 1, 1970

#### ОРГАНИЧЕСКАЯ ХИМИЯ

УДК 542.91+542.952.4

#### химия винилацетилена

LXXXVII. АЦЕТИЛЕН—АЛЛЕН—КУМУЛЕНОВАЯ ПЕРЕГРУППИРОВКА ПРИ ЗАМЕЩЕНИИ ХЛОРА АМИНАМИ В 2-АЛКИЛ-2-ХЛОР-5-ГАЛО-ГЕНОГЕКСЕН-5-ИНАХ-3 И В 2-АЛКИЛ-2-ХЛОР-5,6-ДИГАЛОГЕНОГЕКСИНАХ-3

#### С. А. ВАРТАНЯН, М. Р. БАРХУДАРЯН и Ш. О. БАДАНЯН

Институт органической химин АН Армянской ССР

Поступило 11 III 1969

Замещение хлора аминами в 2-алкил-2-хлор-5-галогеногексен-5-инах-3 (IX) протекает через ацетилен—кумуленовую перегруппировку, а при замещении хлора аминами в 2-алкил-2-хлор-5,6-дигалогеногексинах-3 (VIII) первоначальным актом реакции является дегидрогалогенирование с образованием 2-алкил-2-хлор-5-галогеногексен-5-ин-3-ов, которые в дальнейшем с аминами образуют галогенсодержащие аминокумулены X.

Табл. 3, библ. ссылок 8.

В ряде сообщений нашей лаборатории было показано, что замещение галогена аминами в винилацетиленовых галогенитах I протекает через ацетилен — аллен — кумуленовую перегруппировку, вследствие чего получаются винилацетиленовые II, винилалленовые III и кумуленовые IV амины [1—5].

В ходе этих исследований был установлен ряд закономерностей относительнолегкости и направленности этой реакции. Так, выяснено, что при увеличении алкильных заместителей в винилацетиленовых галогенидах I реакция протекает легче и приводит к получению лишь кумуленовых аминов IV [2]. Показано также, что при реакции вторичных винилацетиленовых галогенидов II (R'=H) с аминами вышеуказанная перегруппировка протекает с образованием винилацетиленовых II (R'=H) и кумуленовых IV (R'=H) аминов приблизительно в равных количествах. В случае же первичных винилацетиленовых галогенидов I (R'=R''=H) замещение протекает нормально [3], без перегруппировки.

В то время как во всех вышеуказанных случаях реакция протекает при ком натной температуре, при замене винилэтинильного радикала в винилацетиленовых галогенидах на изопропенилэтинильный V для завершения реакции необходимо нагревание реакционной смеси на кипящей водяной бане. При этом получающиеся кумуленовые амины VI в условиях эксперимента гидратируются в 3-непредельные аминокетоны VII [4, 5].

Нас заинтересовало течение названной реакции замещения при замене в изопропенилэтинильном радикале метильной группы на атом галогена. Исходные соединения — диалкилгалогеновинилэтинилхлорметаны IX были синтезированы отщеплением одной молекулы галогеноводорода от соответствующих ацетиленовых тригалогенидов VIII, получаемых в свою очередь галогенированием соответствующих диалкилвинилэтинилхлорметанов I. Хлорирование диалкилвинилэтинилхлорметанов проводилось в растворе сухого хлороформа при  $-20~(-22^{\circ})$ , а бромирование — при  $-28~(-30^{\circ})$ . При этом с хорошими выходами получаются ацетиленовые тригалогениды VIII, строение которых подтверждено изучением их ИК спектров. В ИК спектрах найдена частота, характерная для тройной связи при  $2250-2269~cm^{-1}$ , и совершенно отсутствовали частоты, характерные для двойной связи и незамещенной винильной группы.

Ацетиленовые тригалогениды VIII при стоянии в эфирном растворе с триэтиламином в течение 5 дней или при перемешивании с  $10^{\circ}/_{\circ}$ -ным спиртовым раствором едкого кали при комнатной температуре отщепляют молекулу галогеноводорода с образованием галогеновинилацетиленовых хлоридов IX с хорошими выходами.

Диметилбромвинилэтинилхлорметан IX (X = Br, R' = CH<sub>2</sub>) был синтезирован также исходя из диметилбромвинилэтинилкарбинола XI [6] и тионилхлорида в присутствии каталитического количества пиридина.

В ИК спектрах соединений IX найдены частоты, характерные для сопряженных тройных (2200—2210  $c m^{-1}$ ) и двойных (1590—1600  $c m^{-1}$ ) связей, а также незамещенной винильной группы при 3090—3100  $c m^{-1}$ .

Реакция дигалогенидов IX со вторичными аминами протекает так бурно, что необходимо разбавление реакционной смеси эфиром; при этом с хорошими выходами получаются кумуленовые галогенамины X.

$$CH_{3} \longrightarrow CCIC \equiv CCH = CH_{2} \xrightarrow{X_{3}} \longrightarrow CH_{3} \longrightarrow CCIC \equiv CCHXCH_{2}X$$

$$VIII \longrightarrow CH_{3} \longrightarrow CCIC \equiv CCX = CH_{2}$$

$$X$$

$$CH_{3} \longrightarrow CCIC \equiv CCX = CH_{2}$$

$$X$$

$$IX$$

$$CH_{3} \longrightarrow C(OH)C \equiv CCBr = CH_{2}$$

$$XI$$

VIII R'=CH<sub>3</sub>, X=Cl (Br); R'=C<sub>2</sub>H<sub>5</sub>, X=Cl; IX R'=CH<sub>3</sub>, X=Cl(Br) R'=C<sub>2</sub>H<sub>5</sub>, X=Cl; X R'=R=CH<sub>3</sub>, X=Cl (Br): R'=CH<sub>3</sub>, R=C<sub>2</sub>H<sub>5</sub> X=Cl (Br); R'=C<sub>2</sub>H<sub>5</sub>, R=CH<sub>3</sub>, X=Cl; R'=R=C<sub>2</sub>H<sub>5</sub>, X=Cl.

Образцы кумуленового бромамина X, полученные из диметилбромвинилэтинилхлорметана, синтезированного двумя различными путями, были идентичны.

В ИК спектрах аминов X найдено поглощение при 740, 780, 840, 930, 1020, 1360, 1450, 1630, 2060  $cm^{-1}$ , характеризующее приписываемое им строение. В спектре отсутствовали полосы поглощения, характерные для незамещенной винильной группы (= $CH_2$ ), а также = $CH_2$ -группировки.

В ходе исследования мы попытались получить галогенаминокумулены X прямым взаимодействием аминов с ацетиленовыми тригалогенидами VIII без их предварительного превращения в дигалогениды IX. Оказалось, что в аналогичных условиях ацетиленовые тригалогениды VIII с хорошими выходами превращаются в галогенаминокумулены X. При уменьшении продолжительности реакции из нейтральной фракции выделены промежуточные диалкилгалогеновинилэтинилхлорметаны IX.

## Экспериментальная часть

Галогенирование 2-алкил-2-хлоргексан-5-инов. а) Хлорирование. В смесь 1 моля 2-алкил-2-хлоргексен-5-ина-3 (II, R'=CH<sub>3</sub>, C<sub>2</sub>H<sub>5</sub>) [7] и 300 мл сухого хлороформа при энергичном перемешивании при —20 (—22°) в течение 4—5 часов пропускался ток сухого хлора до поглощения 1 моля. Перемешивание продолжалось еще 2 часа. В тех же условиях из реакционной смеси удалялся непрореагировавший хлор. После отгонки хлороформа остаток разгонялся в вакууме. Константы полученных галогенидов приведены в таблице 1.

б) Бромирование. К смеси 1 моля 2-метил-2-хлоргексен-5-ина-3 (I,  $R'=CH_3$ ) и 300 мл сухого хлороформа при энергичном перемешивании в течение 3 часов при  $-28~(-30)^\circ$  по каплям прибавлялся

Армянский химический журнал, XXIII, 1-3

1 моль брома, растворенного в 100 мл сухого хлороформа. Перемешивание продолжалось еще час. После отгонки хлороформа остаток разогнан в вакууме. Константы полученного тригалогенида VIII приведены в таблице 1.

R'CH3(CI)CC = CCHXCH2X

Таблица 1

|                               | 4  | 0/0      | ярная   |                           | MR <sub>D</sub>                 |         | Анали:<br>галоге: |         |                          |                |
|-------------------------------|----|----------|---|---------------------------|---------------------------------|---------|-------------------|---------|--------------------------|----------------|
| R'                            | x  | Виход, о | Молекулярная<br>формула                         | Т. кнп.,<br>°С/ <i>мм</i> | n <sup>20</sup> d <sup>20</sup> | найдено | вычис-            | найдено | вычис-                   |                |
| CH <sub>3</sub>               | CI | 50,0     | C <sub>7</sub> H <sub>9</sub> Cl <sub>3</sub>   | 95—96/15                  | 1,5040                          | 2,2144  | 48,31             | 47,13   | 53,00                    | 53,33          |
| C <sub>2</sub> H <sub>5</sub> | CI | 60,6     | CaH11Cl3  | 73-74/2                   | 1,5070                          | 1,1835  | 53,67             | 51,74   | 49,52                    | 49,89          |
| CH <sub>3</sub>               | Br | 58,5     | C <sub>7</sub> H <sub>9</sub> CiBr <sub>2</sub> | 89—90/4                   | 1,5485                          | 1,2038  | <b>54,6</b> 0     | 52,80   | (Cl) 12,05<br>(Br) 54,65 | 12,30<br>55,46 |

Дегидрогалогенирование 2-алкил-2-хлор-5,6-дигалогеногенсинов-3 (VIII). а) К смеси 50 мл абсолютного метилового спирта и 7,5 г порошкообразного едкого кали при энергичном перемешивании в течение получаса при комнатной температуре по каплям прибавлялось 0,1 моля 2-алкил-2-хлор-5,6-дигалогеногексина-3 (VIII). После прибавления тригалогенида перемешивание продолжалось еще 2 часа. Затем метанол удалялся из реакционной смеси в вакууме так, чтобы температура не поднималась выше 25°. После удаления метанола к реакционной смеси прибавлялось 50 мл воды и смесь экстрагировалась эфиром. Эфирный раствор высушивался хлористым кальцием. После отгонки эфира остаток разгонялся в вакууме.

6) К смеси 50 мл абсолютного эфира и 0,1 моля 2-алкил-2-хлор-5,5-дигалогеногексина-3 (VIII) в течение 10 минут небольшими порциями прибавлялось 0,2 моля триэтиламина. Реакционная масса в закрытой колбе оставалась при комнатной температуре 5 дней, затем подкислялась соляной кислотой так, чтобы температура не поднималась выше комнатной. Эфирный слой отделялся, водный раствор экстрагировался 50 мл эфира. Эфирные экстракты промывались водой, высушивались хлористым кальцием и после отгонки эфира остаток разгонялся в вакууме. Выходы дигалогенидов, полученных обоими способами, одинаковы. Константы полученных дигалогенидов IX приведены в таблице 2.

2-Алкил-5-галогено-6-диалкиламиногексатриены-2,3,4 (X). а) Смесь 0,1 моля 2-алкил-2-хлор-5-галогеногексен-5-ина-3 (IX), 30 мл сухого эфира и 0,3 моля диметил- или диэтиламина оставалась в закрытой ампуле при комнатной температуре 5 дней. Затем реакционная смесь (после удаления избытка амина) подкислялась соляной кислотой, экстрагировалась эфиром, высушивалась хлористым кальцием после удаления эфира в остатке ничего не обнаруживалось. Водный

слой органических оснований высаливался поташом, экстрагировался эфиром, высушивался хлористым кальцием и после отгонки эфира остаток разгонялся в вакууме.

R'CH3(CI)CC = CCX = CH2

Таблица 2

|                               | 1/4 | 0/0      | лярная  | 2000              |                              |                                | гало    |        |                          | лиз на<br>оген, <sup>0</sup> / <sub>0</sub> |  |
|-------------------------------|-----|----------|---|-------------------|------------------------------|--------------------------------|---------|--------|--------------------------|---|--|
| R'                            | х   | Buxon, 0 | Молекуля  | Т. кип.,<br>°С/мм | n <sub>D</sub> <sup>20</sup> | 0 d <sub>4</sub> <sup>20</sup> | найдено | вычис- | найдено                  | вычис-                                      |  |
| СН                            | CI  | 78,3     | C <sub>7</sub> H <sub>8</sub> Cl <sub>2</sub> [8] | 57—58/11          | 1,4975                       | 1,1175                         | 42,72   | 41,79  | 45,00                    | 44,56                                       |  |
| C <sub>2</sub> H <sub>5</sub> | CI  | 67,8     | C.H.1CI, [8]                                      | 68-70/10          | 1,5015                       | 1,0985                         | 49,18   | 47,51  | 39,60                    | 39,99                                       |  |
| СН3                           | Br  | 57,7     | C,H,CIBr  | 71—72/15          | 1,5260                       | 1,3700                         | 46,49   | 44,64  | (CI) 16,68<br>(Br) 38,11 | 17,10<br>38,55                              |  |

- б) Смесь 0,1 моля 2-алкил-2-хлор-5,6-дигалогенгексина-3 (VIII), 50 мл сухого эфира и 0,3 моля диметил- или диэтиламина оставлялась в закрытой ампуле при комнатной температуре 6 дней. После указанной выше обработки получены галогенсодержащие аминокумулены X, идентичные с аминокумуленами, полученными предыдущим способом. Константы аминокумуленов X приведены в таблице 3.
- 2-Метил-2-хлор-5-бромгексен-5-ин-3 (IX, X=Br,  $R'=CH_3$ ). К перемешиваемой смеси 15 г 2-метил-5-бромгексен-5-ин-3-ола-2 [6] и 1 г безводного пиридина при комнатной температуре в течение часа по каплям прибавлено 10 г тионилхлорида. Перемешивание продолжалось еще 3 часа. Затем реакционная смесь нагревалась при 65—70° в течение 30 минут. После охлаждения прибавлено 200 мл эфира, продукт реакции промыт водой. Эфирный раствор высушен хлористым кальцием. После отгонки эфира остаток разогнан в вакууме. Получено 9,2 г  $(50^{\circ}/_{\circ})$  2-метил-2-хлор-5-бромгексен-5-ина-3 (IX, X=Br,  $R'=CH_3$ ). Константы приведены в таблице 2.
- 2-Метил-5-бром-6-диэтиломиногексатриен 2,3,4 (X, X = Br, R' =  $CH_3$ , R =  $C_2H_5$ ). Смесь 7,5 г 2-метил-2-хлор-5-бромгексен-5-ина-3 (IX), полученного вышеуказанным методом, и 9,5 г диэтиламина в 20 мл сухого эфира оставлена в закрытой колбе при комнатной температуре на 5 дней. После обычной обработки получено 3,5 г 2-метил-5-бром-6-диэтиламиногексатриена-2,3,4 (X, X = Br, R' =  $CH_3$ , R =  $C_2H_5$ ). Смешанная проба пикрата с пикратом вышеописанного образца плавится без депрессии.

Таблица 3

CH<sub>2</sub>R'C=C=C=CXCH<sub>2</sub>NR<sub>2</sub>

Анализ на N. Анализ на гало-<u>r</u>8ген, <sup>0</sup>/<sub>0</sub> Исходный логенид % Т. пл. Молекулярная Т. кип.,  $n_D^{20}$ R' R, X пикрата, найдено найдено Выход, ВЫЧИС-лено BM4MC-°C/MM формула VIII 71,0 66,0 8,59 8,18 20,18 20,76 C.H.4CIN [8] 100-101 CH, CH, CI 74 - 75/31,5475 VIII 74,0 73,0 8,00 8,17 17,45 17,75 CH<sub>3</sub> C11H18CIN 77-78/2 1,5357 86-87 C<sub>2</sub>H<sub>5</sub> CI VIII 79,0 77,4 19,13 C10H16CIN [8] 91/5 1,5430 106 7,69 7,54 18.91 C<sub>2</sub>H<sub>5</sub> CH<sub>3</sub> CI 71,0 76,8 VIII 6,78 6,55 16,18 16,62 107-108/4 1,5290 C<sub>2</sub>H<sub>5</sub> C<sub>2</sub>H<sub>5</sub> CI C12H20CIN VIII 64,0 71,3 6,30 6,48 36,98 37,03 C.H.BrN 89-90/7 1,5540 96 CH<sub>3</sub> CH<sub>a</sub> Br VIII IX 49,1 60,2 98-99/5 1,5350 114-115 5,25 5,74 32,28 32,79 CH<sub>3</sub> C<sub>2</sub>H<sub>5</sub> C<sub>11</sub>H<sub>18</sub>BrN Βr

### ՎԻՆԻԼԱՑԵՏԻԼԵՆԻ ՔԻՄԻԱ

LXXXVII. ԱՑԵՏԻԼԵՆ–ԱԼԵՆ–ԿՈՒՄԱԼԵՆԱՅԻՆ ՎԵՐԱԽՄԲԱՎՈՐՈՒՄ՝
2–ԱԼԿԻԼ–2–ՔԼՈՐ–5–ՀԱԼՈԴԵՆԱՀԵՔՍԵՆ–5–Էն–8–ՆԵՐՈՒՄ ԵՎ 2–ԱԼԿԻԼ–2–ՔԼՈՐ–
–5,8–ԴԻՀԱԼՈԳԵՆԱՀԵՔՍԻՆ–3–ՆԵՐՈՒՄ ՔԼՈՐԸ ԱՄԻՆՈՎ ՏԵՂԱԿԱԼԵԼԻՍ

Ս. Հ. ՎԱՐԴԱՆՑԱՆ, Մ. Ռ. ԲԱՐԽՈՒԴԱՐՑԱՆ և Շ. Հ. ԲԱԴԱՆՑԱՆ

### U. dhahai'd

որավնիայի աստնիր այան չարմիոտըսուղ է չանսերըչևագրի աստնուլ ուսարնիայի աստնիր այան չարմիոտըսում է չանսերընարի աստնոր աստնում աստանին արան արան չանարիվում ու արանարի աստանվում ու արանարի արև արևությանը արանարին արևությանը արևություն արևությանը արևություն արևությանը արևությանը արևություն արևությանը արևությանը

#### ЛИТЕРАТУРА

- 1. С. А. Вартанян, Ш. О. Баданян, А. В. Мушегян, Изв. АН АрмССР, ХН, 16, 547 (1963); 17, 505 (1964); Арм. хнм. ж., 19, 864 (1966).
- 2. С. А. Вартанян, М. Р. Бархударян, Ш. О. Баданян, Арм. хим. ж., 22, 476 (1969).
- 3. С. А. Вартанян, М. Р. Бархударян, Ш. О. Баданян, ЖОрХ, 3, 1967 (1967).
- 4. С. А. Вартанян, М. Р. Бархударян, Ш. О. Баданян, Арм. хим. ж., 20, 819 (1967).
- С. А. Вартанян, М. Р. Бархударян, Ш. О. Баданян, Арм. хим. ж., 21, 14 (1968).
- 6. А. А. Петров, К. Б. Ралль, ЖОХ, 27, 2402 (1757).
- 7. И. Н. Назаров, Я. М. Янбиков, Изв. AH СССР, ОХН, 1942, 66.
- 8. С. А. Вартанян, М. Р. Бархударян, Ш. О. Баданян, А. А. Геворкян, ЖОрХ (в печати).

XXIII, № 1, 1970

УДК 547.416'.333'381'.12

### ИССЛЕДОВАНИЯ В ОБЛАСТИ АМИНОВ И АММОНИЕВЫХ СОЕДИНЕНИЙ

LXVI. РАСЩЕПЛЕНИЕ ЧЕТВЕРТИЧНЫХ АММОНИЕВЫХ СОЛЕМ, СОДЕРЖАЩИХ ГАЛОИДАЛКИЛЬНЫЕ ГРУППЫ

Н. М. ДАВТЯН, Г. Т. МАРТИРОСЯН и А. Т. БАБАЯН

Институт органической химпи АН Армянской ССР Поступило 18 VI 1969

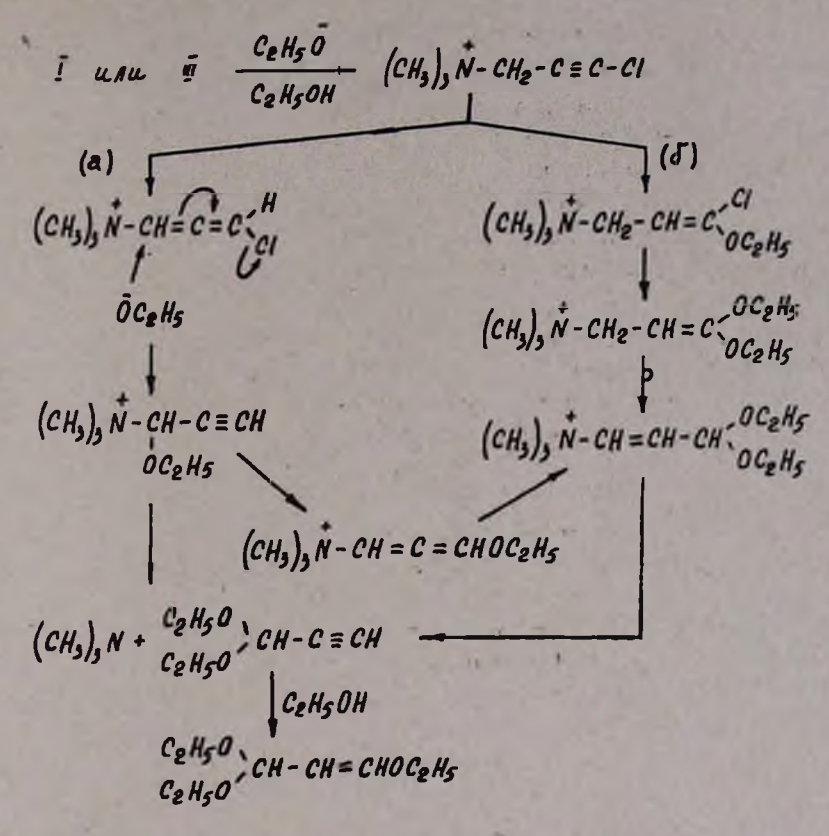
В продолжение исследований по выяснению механизма минерализации ковалентно связанного хлора [1, 2] изучено взаимодействие бромистых и йодистых солей триметил(3,3-дихлораллил)-, диметилаллил(3,3-дихлораллил)-, триметил(2,3-дихлораллил)- и диметилаллил(2,3-дихлораллил)аммония с нуклеофильными реагентами. Установлена сходиость механизмов расщепления аммониевых солей, содержащих 3,3- и 2,3-дихлораллильные группы.

Библ. ссылок 8.

Как уже сообщалось [3], в результате воднощелочного расщепления йодистого триметил(3,3-дихлораллил)аммония (I) оба атома хлора переходят в ионное состояние, образуются триметиламин, пропиоловый альдегид и продукты его распада в щелочной среде: ацетилен и муравьиная кислота.

В продолжение этих работ нами установлено, что аналогичные результаты получаются и при воднощелочном расщеплении йодистого триметил(2,3-дихлораллил)аммония (III).

При замене водной щелочи спиртовым раствором этилата натрия можно было ожидать образования диэтилацеталя пропиолового альдетида или 1,1,3-триэтоксипропена-2 [4]:



И действительно, в результате взаимодействия солей I и III с этанольным раствором этилата натрия были получены 1,1,3-триэтоксипропен-2 и продукт его дальнейшего превращения — диальдегид малоновой кислоты [4], выделенный в виде ди-2,4-динитрофенилгидразона. Аналогичные результаты получены и при взаимодействии этих солей с этанольным раствором едкого натра.

1,1,3-Триэтоксипропен-2 идентифицирован в виде 2-бром-3,3-ди-этоксипропионового альдегида [5].

В пользу промежуточного образования аммониевого комплекса, содержащего α,β-непредельную группу, говорят результаты взаимодействия бромистых солей диметилаллил(3,3-дихлораллил) (II) и диметилаллил(2,3-дихлораллил)аммония (IV) со спиртовой щелочью, приводящего к образованию диметиламина и 2-аллил-1,1,3,3-тетраалкоксипропана, что могло иметь место в результате реакции перегруппировки-расщепления [6]:

II или IV 
$$\xrightarrow{OH}$$
 (CH<sub>3</sub>)<sub>2</sub>N  $\xrightarrow{CH_2CH=CH_2}$  (CH<sub>3</sub>)<sub>2</sub>NH +  $\xrightarrow{RO}$  CH CHCH  $\xrightarrow{OR}$  OR CH<sub>2</sub>CH = CH<sub>2</sub>  $\xrightarrow{CH_2CH=CH_3}$   $\xrightarrow{R=CH_3}$ ; C<sub>2</sub>H<sub>5</sub>.

При взаимодействии солей I и III с метянольным или этанольным растворами едкого натра при более низкой температуре, чем это требуется для расщепления, удается выделить с  $70-80^{\circ}/_{\circ}$  выходом совершенно идентичные промежуточные соли состава  $C_8H_{18}O_2JN$  в случае метанольного раствора и  $C_{10}H_{23}O_2JN$  в случае этанольного раствора.

Таким образом, сходность механизмов взаимодействия солей I и III со спиртовой щелочью подтверждается не только аналогичностью результатов расщепления, но и идентичностью выделенных промежуточных солей.

Щелочное расщепление и кислотный гидролиз промежуточных солей приводят к образованию триметиламина и диальдегида малоновой кислоты. Последний идентифицирован по красному окрашиванию при взаимодействии с раствором хлорного железа [7] и получением ди-2,4-динитрофенилгидразона.

### Экспериментальная часть

Воднощелочное расщепление йодистого триметил(2,3-дихлораллил)аммония (III). Смесь 4,5 г (0,015 моля) соли с 5-кратным мольным количеством 20%,-ного водного раствора едкого натра нагревалась на кипящей водяной бане. Отгон собирался в титрованном растворе соляной кислоты. Обратным титрованием найдено 0,0121 моля (80%) амина. Получен пикрат с т. пл. 215°, не дающий депрессии температуры плавления в смеси с пикратом триметиламина. Часть солянокислого раствора перегнана и в ней количественным осаждением 2,4-динитрофенилгидразона определено количество карбонильного соединения. Получено в расчете на все количество 0,532 г (15,1%), 2,4-динитрофенилгидразона пропиолового альдегида с т. пл. 123°. Найдено % С 46,10; Н 2,72; N 24,00. С Н<sub>8</sub>N<sub>4</sub>O<sub>4</sub>. Вычислено % С 46,15; Н 2,56; N 23,93. В газгольдере собралось 100 мл (25%) газа, дающего красный осадок с раствором Илосвая.

Остаток в реакционной колбе после определения в нем количества образовавшегося ионного галоида (2 г-ат. на моль исходной соли) подкислялся и перегонялся. В отгоне титрованием найдено 0,00394 моля  $(26,2^{\circ}/_{\circ})$  муравьиной кислоты, дающей характерный белый осадок с раствором каломели.

Расщепление четвертичных аммониевых солей под действием спиртового раствора алкоголята натрия или едкого натра. К 0,1 моля соли при перемешивании добавлялся спиртовый раствор 5-кратного мольного количества алкоголята натрия или едкого натра (в расчете 200 мл спирта на 0,5 г-ат. натрия или 0,5 моля едкого натра). Смесь кипятилась в течение 6 часов (в случае соли Iа — в течение 18 часов). Затем осадок отфильтровывался, основная часть спирта отгонялась и в ней титрованием определялось общее количество отщепившегося амина. Спиртовый раствор подкислялся и перегонялся досуха. В перегоне количественным осаждением раствором

2,4-динитрофенилгидразона определялось карбонильное соединение. Остаток после добавления эфира подщелачивался. К эфирному экстракту аминов добавлялось 3-кратное мольное количество акрилонитрила и смесь оставлялась при комнатной температуре на 10—15 дней, после чего выделялись амины.

Остаток в реакционной колбе разбавлялся водой и экстрагировался эфиром. Перегонкой эфирного экстракта извлекались неаминные продукты реакции. В отогнанном эфире количественным осаждением раствором 2,4-динитрофенилгидразина определялось карбонильное соединение.

Расщепление йодистого триметил(3,3-дихлораллил)аммония (I) спиртовым раствором этилата натрия. Из 28,4 г (0,0959 моля) соли получено: 0,0662 моля (69%) амина с т. пл. пикрата 215°, не дающего депрессии температуры плавления в смеси с пикратом триметиламина, и 5,7 г (34%) 1,1,3-триэтоксипропена-2 с т. кип. 89—90° (15 мл);  $d^{20}$  0,9168;  $n_D^{20}$  1,4249; MRD найдено 48,51, вычислено 48,22. Найдено %: С 62,09; Н 10,35.  $C_9H_{18}O_3$ . Вычислено %: С 62,07; Н 10,34. Т. пл. ди-2,4-динитрофенилгидразона 295° (из 'спирта). Найдено %: С 41,57; Н 2,65; N 25,9.  $C_{15}H_{12}O_8N_8$ . Вычислено %: С 41,66; Н 2,77; N 25,97.

Получено также 15 г  $(37^{\circ}/_{0})$  ди-2,4-динитрофенилгидразона с т. пл. 295°, не давшего депрессии температуры плавления в смеси с ди-2,4-динитрофенилгидразоном, полученным из 1,1,3-триэтоксипропена-2. Из 2,3 г 1,1,3-триэтоксипропена-2, по прописи [5], получено 1,2 г 2-бром-3,3-диэтоксипропионового адьдегида с т. кип. 67—70°  $(6-7\ \text{мм});\ \mathbf{n}_{D}^{\mathbf{n}}$  1,4538. Найдено  $^{\circ}/_{0}$ : С 37,40; Н 5,74. С $_{7}$ Н $_{13}$ О $_{3}$ Вг. Вычислено  $^{\circ}/_{0}$ : С 37,33; Н 5,77. Т. пл. ди-2,4-динитрофенилгидразона 198°. Найдено  $^{\circ}/_{0}$ : N 22,12; Вг 15,71. С $_{15}$ Н $_{11}$ О $_{8}$ N $_{8}$ Вг. Вычислено  $^{\circ}/_{0}$ : N 21,91; Вг 15,65.

По литературным данным, т. кип. 1,1,3-триэтоксипропена-2 91—94° (20 мм);  $\rm d_{20}^{20}$  0,921;  $\rm n_D^{30}$  1,4224 [8]; т. кип. 2-бром-3,3-диэтоксипропионового альдегида 63—65° (2—5 мм);  $\rm n_D^{30}$  1,4513 [5].

Расщепление бромистого триметил(3,3-дихлораллил)аммония (I) спиртовым раствором едкого натра. Из 49,8 г (0,2 моля) соли получено: 0,144 моля  $(72^{0}/_{0})$  триметиламина с т. пл. пикрата 216°; 8,7 г  $(25^{0}/_{0})$  1,1,3-триэтоксипропена-2 с т. кип. 70—73° (8 мм);  $d_{0}^{20}$  0,919;  $d_{0}^{20}$  1,4250; т. пл. ди-2,4-динитрофенилгидразона 295° и 12,96 г  $(15^{0}/_{0})$  того же ди-2,4-динитрофенилгидразона.

Расщепление бромистого диметилаллил(3,3-дихлораллил)аммония (II) спиртовым раствором едкого натра. Из 5,5 г (0,02 моля) соли получено 0,0169 моля (84,5%) амина. Из этого количества выделено 0,0166 моля (83%) диметиламина в виде диметил- $\beta$ -цианэтиламина с т. кип. 165—167° (680 мм); т. пл. пикрата 153°. Получено также 2,9 г (55%) 2-аллил-1,1,3,3-тетраэтоксипропана с т. кип. 70—72° (2 мм);  $\alpha$ 0,9524;  $\alpha$ 1 1,4472; MRD найдено 72,96, вычислено 72,95.

Найдено  $^{0}/_{0}$ : С 64,45; Н 10,9. С $_{14}$ Н $_{28}$ О $_{4}$ . Вычислено  $^{0}/_{0}$ : С 64,6; Н 10,7. Т. пл. ди-2,4-динитрофенилгидразона 278°. Найдено  $^{0}/_{0}$ : N 24,12. С $_{18}$ Н $_{16}$ О $_{8}$ N $_{8}$ . Вычислено  $^{0}/_{0}$ : N 23,72. Соединение содержит незамещенную винильную группу (в ИК спектре поглощение в областях 1650 и 3085  $cM^{-1}$ ).

Расщепление (II) метанольным раствором едкого натра. Из 13,7 г (0,05 моля) соли получено: 0,0383 моля  $(76,6^0/_0)$  диметиламина и 3,4 г  $(33^0/_0)$  2-аллил-1,1,3,3-тетраметоксипропана с т. кип. 67—68°  $(3\,\text{мм})$ ;  $d_2^{40}$  1,0066;  $n_D^{20}$  1,4558. М $R_D$  найдено 55,06, вычислено 54,85. Найдено  $^0/_0$ : С 58,23; Н 9,83. С $_{10}$ Н $_{20}$ О $_4$ . Вычислено  $^0/_0$ : С 58,82, Н 9,80. Т. пл. ди-2,4-динитрофенилгидразона 278°; не дает депрессии температуры плавления в смеси с ди-2,4-динитрофенилгидразоном, полученным в предыдущем опыте.

ИК спектр совпадает со спектром соединения, описанного в предыдущем опыте.

Расщепление бромистого триметил(2,3-дихлораллил)аммония (III) спиртовым раствором едкого натра. Из 12,5 г (0,05 моля) солн получено: 0,04 моля ( $80^{\circ}/_{0}$ ) триметиламина с т. пл. пикрата  $215^{\circ}$ ; 5,3 г ( $60,8^{\circ}/_{0}$ ) 1,1,3-триэтоксипропена-2 с т. кип.  $89-90^{\circ}$  (15 мм);  $d^{20}$  0,9199;  $n_{D}^{20}$  1,4230; т. пл. ди-2,4-динитрофенилгидразона  $294^{\circ}$ , и 1,39 г ( $6,4^{\circ}/_{0}$ ) того же ди-2,4-динитрофенилгидразона.

Расщепление бромистого диметилаллил(2,3-дихлораллил)аммония (IV) спиртовым раствором едкого натра. Из 5,5 г (0,02 моля) соли получено 0,014 моля  $(70^{\circ}/_{0})$  диметиламина и 1,3 г  $(25^{\circ}/_{0})$  2-аллил-1,1,3,3-тетраэтоксипропана с т. кип.  $76-78^{\circ}$  (3.мм);  $n_{D}^{20}$  1,4455; т. пл. ди-2,4-динитрофенилгидразона  $278^{\circ}$ . Соединение содержит незамещенную винильную группу (в ИК спектре поглощение в областях 1650 и 3085  $cm^{-1}$ ).

Взаимодействие йодистого триметил(3,3-дихлораллил)аммония (I) с метанольным раствором едкого натра. К 59,2 г (0,2 моля) соли добавлялось 40 г едкого натра в 230 мл метанола. На следующий день реакционная смесь кипятилась на водяной бане в течение 6 часов. Осадок отфильтровывался (22 г). Из фильтрата отгонялся метанол. По мере отгонки метанола осаждалась соль, которая отфильтровывалась. В результате получено 40,7 г (0,141 моля, 70,5%) соли V с т. пл. 152°. Найдено %: С 33,34; Н 6,92; N 4,62;  $\overline{J}$  45,6.  $C_8H_{18}O_2JN$ . Вычислено %: С 33,44; Н 6,27; N 4,87;  $\overline{J}$  44,18. Фильтрат разбавлялся водой, экстрагировался эфиром. Получено 1,1 г (4,1%) 1,1,3-триметоксипропена-2 с т. кип. 138—140° (680 мм);  $d_4^{20}$  0,9667;  $d_2^{20}$  1,4162. М $_2^{20}$  найдено 34,28, вычислено 34,37. Найдено %: С 54,25; Н 9,60.  $C_8H_{12}O_3$ . Вычислено %: С 54,54; Н 9,09. Т. пл. ди-2,4-динитрофенилгидразона 294°, не дает депрессии температуры плавления в смеси с ди-2,4-динитрофенилгидразоном, полученным из 1,1,3-триэтоксипро-

пена-2. ИК спектр показал C=C двойную связь (1666 с.и $^{-1}$ ) и -C-O-C- связь (1052, 1120, 1145, 1232 с.и $^{-1}$ ).

В отогнанном метаноле титрованием найдено 0,0498 моля  $(24,9^{\circ}/_{\circ})$  триметиламина с т. пл. пикрата  $215^{\circ}$ . Из метанола количественным осаждением получено 6,42 г  $(7,5^{\circ}/_{\circ})$  ди-2,4-динитрофенилгидразона с т. пл.  $294^{\circ}$ .

Взаимодействие йодистого триметил(2,3-дихлораллил)аммония (III) с метанольным раствором едкого натра. Опыт проводился аналогично предыдущему. Из 5,9 г (0,02 моля) соли получено 0,0035 моля (17,5%) триметиламина и 4,5 г (0,0156 моля, 78%) соли V с т. пл. 150—151°, не дающей депрессии температуры плавления в смеси с солью, полученой из соли І. Количественным осаждением получено также 0,527 г (6%) ди-2,4-динитрофенилгидразона с т. пл. 294°.

Взаимовействие йодистого триметил(3,3-дихлораллил)аммония (I) с этанольным раствором едкого натра. Из 5,9 г (0,02 моля) соли и 2,4 г едкого натра в 30 мл абсолютного спирта после нагревания при  $40-50^{\circ}$  в течение 6 часов получено 0,00105 моля  $(5,2^{\circ})_0$  триметиламина и 5,12 г (0,0161 моля,  $80,5^{\circ})_0$  соли VI (из ацетонитрила) в виде густой массы, которую не удалюсь закристаллизовать. Найдено 00: N 4,7;  $\overline{J}$  39,54.  $C_{10}H_{22}O_2JN$ . Вычислено 00: N 4,4;  $\overline{J}$  40,3. ИК спектры солей VI и V совпадают.

Расщепление промежуточной соли V. Смесь 1,5 г (0,005 моля) соли и 0,6 г едкого натра в 2,4 мл воды нагревалась на масляной бане при температуре  $110-120^{\circ}$ . Добавлено еще 10 мл воды; нагревание продолжалось. Титрованием солянокислого раствора найдено 0,004 моля ( $80^{\circ}$ ) триметиламина. Часть солянокислого раствора отогнана. Из отгона количественным осаждением получено 1,2 г ( $54^{\circ}$ ) ди-2,4-динитрофенилгидразона диальдегида малоновой кислоты с т. пл.  $295^{\circ}$ .

Взаимодействие соли V с соляной кислотой. К раствору 14,4 г (0,05 моля) соли в 20 мл воды добавлено 2 мл концентрированной соляной кислоты; смесь нагревалась на кипящей водяной бане в течение 9 часов. Затем вода отогнана. Отгон дал интенсивное красное окрашивание с раствором хлорного железа [7]. Из отгона количественным осаждением получено 6,67 г (30,8%) ди-2,4-динитрофенилгидразона диальдегида малоновой кислоты с т. пл. 295°.

Из остатка в реакционной колбе получено 4,8 г (51,2%) йодгидрата триметиламина с т. пл.  $260^{\circ}$  (из спирта); получен пикрат с т. пл.  $215^{\circ}$ .

### ՀԵՏԱԶՈՏՈՒԹՅՈՒՆՆԵՐ ԱՄԻՆՆԵՐԻ ԵՎ ԱՄՈՆԻՈՒՄԱՅԻՆ ԱՂԵՐԻ ԲՆԱԳԱՎԱՌՈՒՄ

LXVI. ՀԱԼՈԳԵՆԱԼԿԻԼ ԽՄԲԻՐ ՊԱՐՈՒՆԱԿՈՂ ՉՈՐՐՈՐԴԱՑԻՆ ԱՄՈՆԻՈՒՄԱՑԻՆ ԱՆԵՐԻ ՀԻՄՆԱՑԻՆ ՃԵՂՔՈՒՄԸ

t. v. sulpsut, s. p. vurshrnusut i u. p. pupusut

### Udhnhnid

Հոդվածում բևրված են նոր տվլալներ եռածխածնային շղթայում քլորի ատոմներ պարունակող աղերի հիմնային ձեղջման վերաբերյալ։

8ուլց է արված, որ տրիժեթիլ(2,3-դիքլորալլիլ)աժոնիում լոդիդի (1) և հիմքի 20º/<sub>0</sub>-ոց ջրալին լուծուլթի փոխազդման ժամանակ քլորի երկու ատոմեներն էլ անցնում են իռնական վիճակի։ Արդլունքում ստացվում են արիմե-թիլամին, պրոպիոլալդեհիդ (անջատված է 2,4-դինիտրոֆենիլհիդրադոնի ձևով), ացետիլեն և մրջնաթթու։

Շարունակելով ալս ուղղությամբ կատարվող աշխատան քները ցույց է տրված, որ տրիմեթիլ(2,3-դի քլորալլիլ)ամոնիում բրոմիդի և տրիմեթիլ-(3,3-դի քլորալլիլ)ամոնիում բրոմիդի և տրիմեթիլ-(3,3-դի քլորալլիլ)ամոնիում բրոմիդի (۱۱) ձեղջման ռեակցիայում ջրալին հիմ քր նատրիումի էթիլատի էթանոլալին լուծուլթով կամ ուղղակի հիմ քի էթանուային լուժուլթով փոխարինելը, ինչպես և պետք էր սպասել, հանդեցնում է տրիմեթիլամինի և 1,1,3-տրիէթօքսիպրոպեն-2-ի դոլացման։ Ստացված է նաև վերջինի հիդրոլիզի պրոդուկտը՝ մալոնաթինվի դիալդեհիդը, որն անջատված է դի-2,4-դինիարոֆենիլհիդրազոնի ձևով։

] և ]] աղերի ու հիմ քի մեթանոլային լուծույթի փոխազդմամբ ստացված է C<sub>8</sub>C<sub>28</sub>O<sub>2</sub>JN բաղադրությամբ միևնույն աղը։

#### ЛИТЕРАТУРА

- 1. А. Т. Бабаян, Г. Т. Мартиросян, М. Г. Инджикян, Н. М. Давтян, Р. Б. Минасян, ДАН АрмССР, 39, 99 (1964).
- 2. А. Т. Бабаян, Г. Т. Мартиросян, Н. М. Давтян, ЖОрХ, 5, 867 (1969).
- 3. Н. М. Давтян, Г. Т. Мартиросян, А. Т. Бабаян, ЖОрХ, 4, 556 (1968).
- 4. L. Claisen, Ber., 36, 3668 (1903).
- 5. M. Sletsinger, M. Tischer, U. S. 2,816, 109, Dec. 10, 1957 (C. A., 1958, 10221e),
- 6. A. T. Бабаян, М. Г. Инджинян, Г. Б. Багдасарян, ДАН ApmCCP, 34, 2, 75 (1962).
- 7. Beilstein, Org. Chemie 1, 765.
- Howard R. Guest, Harry A, Stansbury, Jr. Brit. 779, 519, July 24, 1957 (C. A., 1958, 1209d-q).

XXIII, № 1, 1970

УЛК 542.91 + 547.233

### РЕАКЦИИ ДИЭТИЛОВЫХ ЭФИРОВ АЛКИЛГЛИЦИДИЛ-МАЛОНОВЫХ КИСЛОТ С АМИНАМИ

Э. Г. МЕСРОПЯН, З. Т. КАРАПЕТЯН, Дж. В. АВЕТИСЯН и М. Т. ДАНГЯН

Ереванский государственный университет

Поступило 12 V 1969

Установлено, что при реакции алкилглицидилмалоновых эфиров с диметил- и диэтиламинами образуются α-алкил-α-карбэтокси-δ-диметил-(диэтил)амино-γ-валеролактоны, щелочным гидролизом которых получаются α-алкил-δ-диметил(диэтил)амино-γ-валеролактоны.

Табл. 2, библ. ссылок 4.

Реакции между α-окисями, в частности эфирами глицидола, и аминами представляют большой интерес, так как продукты, получающиеся при этом, имеют разнообразное и широкое применение [1, 2].

Целью настоящей работы является изучение взаимодействия полученных нами новых окисей—алкилглицидилмалоновых эфиров с диметил- и диэтиламинами.

В литературе имеются сообщения о действии аммиака на окиси высших непредельных кислот с образованием аминооксикислот [3], а также о получении N- $(\gamma$ -амино- $\beta$ -окси)пирролидонов действием аммиака и диэтиламина на N-(2,3-эпоксипропил)- $\alpha$ -пирролидон [4]. Следует полагать, что скорость этой реакции, заключающейся в нуклеофильной атаке окисного кольца амином, определяется основностью амина, а также пространственными факторами, обусловленными алкильными заместителями при азоте.

При взаимодействии диэтилового эфира алкилглицидилмалоновой кислоты с диметил- и с диэтиламинами при 40° получаются диэтиловые эфиры α-алкил-[6-диметил-(диэтил)амино-ү-окси]пропилмалоновых кислот, которые после перегонки превращаются в α-алкил-α-карбэтокси-б-диметил-(диэтиламино)-ү-валеролактоны.

Полученные лактоны охарактеризованы в виде пикратов. Структура лактонов подтверждается физико-химическими константами и спектральными данными. В ИК спектрах обнаружены полосы поглощения при 1771 см<sup>-1</sup>, характерные для пятичленного лактона, 1730 см<sup>-1</sup> (сложно-эфирная группа) и 1291—1256 см<sup>-1</sup> (СО в С—О—С).

Синтезированные  $\alpha$ -алкил- $\alpha$ -карбэтокси- $\alpha$ -диалкиламино- $\gamma$ -валеролактоны подвергнуты щелочному гидролизу и получены  $\alpha$ -алкил- $\delta$ -диалиламино- $\gamma$ -валеролактоны, которые также охарактеризованы в виде ликратов.

| R                                  | R′                            | Выход, 0/а | Т. кип.,<br>°С/ <i>мм</i> | Молекулярная<br>формула                          | n <sup>20</sup> |
|------------------------------------|-------------------------------|------------|---------------------------|--|-----------------|
| C <sub>2</sub> H <sub>7</sub>      | CH <sub>2</sub>               | 71,4       | 132—136/1                 | C <sub>13</sub> H <sub>23</sub> O <sub>4</sub> N | 1,4445          |
| 03114                              | C <sub>3</sub> H <sub>5</sub> | 50,4       | 130-135/1                 | C15H27O4N  | 1,4436          |
|                                    | CH <sub>8</sub>               | 74,4       | 142—144/1                 | C14H25O4N  | 1,4450          |
| C <sub>4</sub> H <sub>9</sub>      | C <sub>2</sub> H <sub>5</sub> | 69,6       | 132—135/1                 | C18H29O4N  | 1,4440          |
| N                                  | CH <sub>3</sub>               | 78,5       | 159165/1                  | C15H27O4N  | 1,4461          |
| изо-С <sub>Б</sub> Н <sub>11</sub> | C <sub>2</sub> H <sub>5</sub> | 65,4       | 136—140/1                 | C17H31O4N  | 1,4530          |

| R'                            | Buxon, 0/0  | Т. кип.,<br>°С/мм  | n <sup>20</sup>  |   |
|-------------------------------|---|--|--|---|
|                               |   |  | _  | C,  |
| _                             |   |  | _  | C   |
| C <sub>2</sub> H <sub>5</sub> | 60,1  | 135—138/1,5  | 1,4578   | C,  |
| _                             |   |  |  | C,  |
|                               | CH <sub>3</sub> C <sub>2</sub> H <sub>5</sub> CH <sub>3</sub> C <sub>2</sub> H <sub>5</sub> CH <sub>3</sub> | CH <sub>3</sub> 63,2<br>C <sub>3</sub> H <sub>5</sub> 52,1<br>CH <sub>3</sub> 60,1<br>CH <sub>3</sub> 67,8 | CH <sub>3</sub> 63,2 145—146/2<br>C <sub>2</sub> H <sub>5</sub> 52,1 142—146/1,5<br>CH <sub>3</sub> 62,2 148—149/1,5<br>C <sub>2</sub> H <sub>5</sub> 60,1 135—138/1,5<br>CH <sub>3</sub> 67,8 150—152/1,5 | CH <sub>3</sub> 63,2 145—146/2 1,4546<br>C <sub>2</sub> H <sub>5</sub> 52,1 142—146/1,5 1,4570<br>CH <sub>3</sub> 62,2 148—149/1,5 1,4550<br>C <sub>2</sub> H <sub>5</sub> 60,1 135—138/1,5 1,4578<br>CH <sub>3</sub> 67,8 150—152/1,5 1,4565 |

| , |                  |  |
|---|------------------|--|
|   | 0                |  |
| ķ | 1                |  |
| į | 2                |  |
| þ | 3                |  |
| ì | 8                |  |
| ŀ | 100              |  |
| E | 31               |  |
| Į | T. Mecnonsii. 3. |  |
| 9 | +                |  |
|   | 7                |  |
| ŀ | 9                |  |
| ı | ě                |  |
| ľ | ET               |  |
| ı | Карапетян,       |  |
| ١ | H                |  |
| ı | Д×               |  |
| ı | B.               |  |
| ١ |                  |  |
| ۱ | AB               |  |
| l | E                |  |
| ۱ | G                |  |
| ۱ | Аветисян,        |  |
| I | 3                |  |
| 1 | M                |  |
| 1 | 8                |  |
|   | Да               |  |
|   |                  |  |

|         | Ан     | алу     | 3,   | %       |                | Γ             | Інкра   | T      |  |
|---------|--------|---------|------|---------|----------------|---------------|---------|--------|--|
|         |        | Н       |      | N       |                |               | N. º/o  |        |  |
| найдено | вычис- | найдено | лено | найдено | вычис-<br>лено | т. пл.,<br>°C | найдено | вычис- |  |
| 60,81   | 60,71  | 8,50    | 8,94 | 5,98    | 5,44           | 119           | 11,23   | 11,52  |  |
| 63,12   | 63,15  | 9,80    | 9,47 | 5,36    | 4,91           | 114           | 10,85   | 10,89  |  |
| 62,15   | 61,99  | 9,05    | 9,32 | 5,43    | 5,13           | 117           | 11,03   | 11,20  |  |
| 64,23   | 64,21  | 10,05   | 9,69 | 4,78    | 4,68           | 110           | 10,62   | 10,60  |  |
| 63,55   | 63,26  | 9,70    | 9,55 | 5,34    | 4,91           | 115           | 10,59   | 10,88  |  |
| 64,60   | 64,80  | 9,48    | 9,91 | 5,13    | 4,47           | 105           | 10,21   | 10,33  |  |
| 100     |        |         |      | -6      |                |               | 1000    | 1      |  |

Таблица 2

| 28                               | Анали                     | 13, <sup>0</sup> / <sub>0</sub> | П          | нкр     | икрат  |  |  |  |
|----------------------------------|---------------------------|---------------------------------|------------|---------|--------|--|--|--|
| ndr.                             | N                         |                                 | **         | N, %    |        |  |  |  |
| Молекулярная<br>формула          | вычис-<br>лено<br>найдено |                                 | т. пл., °С | найдено | вычис- |  |  |  |
| H <sub>18</sub> O <sub>2</sub> N | 7,42                      | 7,62                            | 114        | 13,34   | 13,52  |  |  |  |
| H22O2N                           | 6,92                      | 6,57                            | 111        | 12,45   | 12,66  |  |  |  |
| 1H20O2N                          | 7,34                      | 7,04                            | 116        | 12,53   | 12,84  |  |  |  |
| H24O2N                           | 6,39                      | 6,11                            | 112        | 11,83   | 12,07  |  |  |  |
| H,,O,N                           | 6,34                      | 6,57                            | 119        | 12,75   | 12,48  |  |  |  |
| H <sub>26</sub> O <sub>2</sub> N | 5,31                      | 5,81                            | 114        | 11,74   | 11,92  |  |  |  |

### Экспериментальная часть

α-Алкил-α-карбэтокси-д-диалки ламино-γ-валеролактоны. Смесь 0,25 моля алкилглицилмалонового эфира, 0,25 моля диалкиламина и 0,1 мл воды нагревалась в течение 4 часов при 40° и далее перегонялась в вакууме.

Хроматографирование 'в тонком слое окиси алюминия (бензол—этанол, 10:0,5, проявление парами йода) дало одно пятно с  $R_f = 0.54$  (для  $\alpha$ -бутил- $\alpha$ -к арбэтокси- $\delta$ -диэтиламино- $\gamma$ -валеролактона).

Физико-химические константы и данные элементарных анализов полученных веществ приведены в таблице 1.

α-Алкил-δ-Эиалкиламино-γ-валеролактоны. Смесь 0,018 моля α-алкил-α-карбэтокси-δ-диалкиламино-γ-валеролактона, 2 г едкого натра и 2 мл воды нагревалась на кипящей водяной бане в течение 4 часов. Затем обрабатывалась небольшим количеством воды, экстрагировалась эфиром, подкислялась соляной кислотой (на конго) и снова экстрагировалась эфиром. Эфирные вытяжки высушивались над безводным сернокислым натрием. После удаления эфира остаток перегонялся в вакууме. Физико-химические константы и данные элементарных анализов полученных веществ приведены в таблице 2.

### ԱԼԿԻԼԳԼԻՑԻԴԻԼՄԱԼՈՆԱԹԹՈՒՆԵՐԻ ԴԻԷԹԻԼԷՍԹԵՐՆԵՐԻ ՌԵԱԿՑԻԱՆ ԱՄԻՆՆԵՐԻ ՀԵՏ

t. S. Vournasut, g. P. Guruabssut, g. J. udbshusut & V. S. Suvisut

### Udhnhnid

Ուսումնասիրվել է ալկիլգլիցիդիլմալոնաԹԹուների դիէԹիլէսԹերների գիռասրությունը դիմենիանինակիչ և դիէԹիլեսԹերների

Ոստոնված լակտոնները բնությագրելու համար ստացել ենք նրանց պիկ-

Հակտոնների անհատական լինելը հաստատված է նրբաշերտ ֆրոմատա-

### ЛИТЕРАТУРА

- 1. B. H. Nucolet, T. C. Poulter, J. Am. Chem. Soc., 52, 1186 (1930).
- 2. Ф. П. Пономарев, ЖОХ, 24, 1371 (1954).
- 3. И. Л. Куранова, А. М. Павлова, Г. В. Пигулевский, ЖОрХ, 4, 55 (1968).
- 4. Ф. П. Сидельковская, М. Т. Зеленская, Н. А. Мухитдинова, В. А. Пономаренко, ХГС, 1968, 212.

XXIII, № 1, 1970

УДК 547.495.1+632.938

### синтез пестицидов

#### XXVI. СИНТЕЗ «-ЦИАНАЛКИЛ-N-АРИЛКАРБАМАТОВ

В. В. ДОВЛАТЯН и Э. Н. АМБАРЦУМЯН

Армянский сельскохозяйственный институт

Поступило 20 VI 1969

Взаимодействием арилизоцианатов с циангидринами альдегидов и кетонов в присутствии пиридина в качестве катализатора синтезированы  $\alpha$ -цианалкил-N-арил-карбаматы.

Установлено, что полученные Хаскиным с сотрудниками продукты являются не α-цианизопропиловыми эфирами хлормуравьиной и фенилкарбаминовой кислот, а производными оксазолина и оксазолидина. Показано также, что большинство эфиров, описанных Швейцовой-Шиловской с сотрудниками, является не α-цианалкил-N-арил-карбаматами, а побочными продуктами взаимодействия арилизоцианатов с циангидринами.

Табл. 1, библ. ссылок 5.

Ранее нами было показано [1], что при дегидрохлорировании  $\alpha$ -циан- $\beta$ , $\beta$ , $\beta$ -трихлорэтил-N-арилкарбаматов образуются замещенные производные иминооксазолидинов. При этом предполагалось, что вначале образуются  $\alpha$ -циан- $\beta$ , $\beta$ -дихлорвинил-N-арилкарбаматы, которые затем подвергаются внутримолекулярной циклизации:

С целью изучения внутримолекулярной циклизации родственных соединений необходимо было синтезировать α-цианалкил-N-арилкарбаматы, по литературным данным являющиеся промежуточными продуктами синтеза пестицидов, лекарственных продуктов и красителей.

Простейший представитель этого класса соединений цианметил-N-фенилкарбамат получен взаимодействием фенилизоцианата с формальдегидциангидрином при 130° [2].

Армянский химический журнал, XXIII, 1-4

Швейцова-Шиловская с сотрудниками [3] описали синтез и инсектицидные свойства большого ряда эфиров карбаминовых кислот, а также привели данные о синтезе а-цианэтиловых и а-циан-а-метилэтиловых эфиров п-толил-, м-хлорфенил- и п-хлорфенилкарбаминовых кислот, полученных ими взаимодействием соответствующих циангидринов с арилизоцианатами. Хаскин с сотрудниками [4] описали способ получения тех же эфиров, основанный на взаимодействии а-цианизопропилового эфира хлормуравьиной кислоты с ароматическими аминами по схеме:

$$CICOCI + HOCCN(CH_3)_2 \xrightarrow{} CICOOCCN(CH_3)_2 \xrightarrow{H_9NAr} ArNHCOOCCN(CH_3)_2$$

$$Ar = C_6H_5, \quad o\text{-}CH_3OC_6H_4, \quad \text{$\alpha$-}CH_3OC_6H_4, \quad C_6H_5CH_2.$$

Один из полученных этим способом эфиров— $\alpha$ -циан- $\alpha$ -метилэтил-N-фенилкарбамат плавится при  $262-264^\circ$ , по данным же Швейцовой-Шиловской — при  $188-189^\circ$ . Такое явное несоответствие температуры плавления одного и того же эфира побудило нас к более детальному проведению синтеза и изучению свойств  $\alpha$ -цианалкил-N-арилкарбаматов. Нам пришлось повторить опыты указанных авторов согласно предложенным ими же прописям.

В более ранней работе Хаскина с сотрудниками [5], указывалось, что при взаимодействии фосгена с ацетонциангидрином образуется эфир с т. пл. 70—72°, что подтвердилось нашими опытами. При изучении данных ИК спектроскопии было установлено, что кажущийся эфир не содержит циан группы. Некоторые структурные особенности этого соединения дали основание предположить, что оно в условиях опыта подвергается внутримолекулярной циклизации, в результате чего образуется производное оксазолина — 2-оксо-4-хлор-5,5-диметил--(3) оксазолин:

$$CICOCI + HOCCN(CH3)2 \longrightarrow \begin{bmatrix} N = C \\ CIC \\ O \end{bmatrix} C(CH3)2 \end{bmatrix} \longrightarrow \begin{matrix} N = CCI \\ O \\ O \end{bmatrix} C(CH3)3.$$

В ИК спектре полученного соединения обнаружены характерные частоты карбонильной группы в сложных эфирах в области 1760, 1810 и N=C при 1580  $c M^{-1}$ .

При гидролизе эфира, описанного Хаскином с сотрудниками, следовало ожидать образования ацетонциангидрина по схеме:

$$CICOOCCN(CH_3)_2 + HOH \longrightarrow HOCOOCCN(CH_3)_2 \longrightarrow CO_2 + HOCCN(CH_3)_2.$$

Нами же установлено, что при этом образуется кристаллическое вещество с т. пл. 75—76°. Образование последнего можно объяснить только в том случае, если учесть, что при взаимодействии фосгена с ацетонциангидрином получается не хлоругольный эфир, а 2-оксо-4-хлор-5,5-диметил(3)оксазолин:

Строение полученного 2,4-диоксо-5,5-диметилоксазолидина было доказано данными элементарного анализа и ИК спектроскопии. В ИК спектре найдены следующие группы: NH 3225, С—О— в эфирах 1056, С=О в сложных эфирах 1720, С=О в амидах 1663  $cm^{-1}$ .

При взаимодействии 2-оксо-4-хлор-5,5-диметил(3)оксазолина с анилином был получен 2-оксо-4-фениламино-5,5-диметил(3)оксазолин с т. пл. 262—264°:

Строение последнего также было доказано ИК спектроскопией. Появление максимума при  $1632~cm^{-1}$  следует отнести за счет C=N колебаний. Найдены также полосы NH при 3210-3268, амидного C=O 1728,  $C_8H_5$  1471, 1845  $cm^{-1}$ . Однако, как и в предыдущих соединениях, не найдены частоты, характерные для C=N группы.

На основании приведенных данных можно заключить, что полученные Хаскиным с сотрудниками продукты являются не α-цианизопропиловыми эфирами хлормуравьиной и фенилкарбаминовой кислот, а вышеуказанными производными оксазолина и оксазолидина.

При повторении опытов Швейцовой-Шиловской с сотрудниками по синтезу  $\alpha$ -циан- $\alpha$ -метил-N-фенилкарбамата с т. пл. 188—189° и других эфиров путем нагревания арилизоцианатов с циангидринами при 90° в среде сухого толуола, вместо ожидаемых афиров, нами были получены N,N'-диарилмочевины ArNHCONHAr (Ar= $C_6H_5$ , т. пл. 235°, n-CiC $_6H_4$ , т. пл. 306—7°). Следовательно, большинство эфиров, описанных Швейцовой-Шиловской с сотрудниками, являются не  $\alpha$ -цианалкил-N-арилкарбаматами, а побочными продуктами взаимодействия арилизоцианатов с циангидринами.

Поскольку указанные эфиры могли представить как химический, так и практический интерес, мы задались целью разработать способ их получения, обеспечивающий чистоту и высокий выход продуктов реакции.

Сущность разработанного нами способа заключается в конденсации арилизоцианатов с циангидринами формальдегида, уксусного альдегида и ацетона в присутствии пиридина в качестве катализатора:

$$ArN=C=O + HOCRR' \longrightarrow ArNHCOOCRR'$$

$$C \equiv N$$

$$C \equiv N$$

$$Ar=C_6H_5, n-CIC_6H_4, x-CIC_6H_4, R=H, CH_3, R'=H, CH_3.$$

Применение каталитических количеств пиридина в значительной степени ускоряет конденсацию изоцианатов с циангидринами. Поэтому

большинство эфиров нами было получено при сравнительно низкой температуре. Подавление, таким образом, побочных реакций дало возможность получить ожидаемые продукты с хорошими выходами (70—92% теории). Строение синтезированных α-цианалкил-N-арилкар-баматов доказано данными ИК спектроскопии. Так, в спектре α-циан-α-метилэтил-N-фенилкарбамата с т. пл. 136—137° (по данным Хаскина—262—264°, Швейцовой-Шиловской—188—189°) найдены характерные полосы поглощения—С≡N группы при 2230; NH при 3330; —С=О в амидах при 1690 и бензольного кольца при 1600 см-1.

Выходы, температуры плавления и данные элементарного анализа полученных соединений в сопоставлении с литературными данными приведены в таблице.

Таблица

| Соединения  | Молекулярная<br>формула  | Buxoa, 0/0 | Т. пл.,<br>°С | найдено | Вичис-<br>лено | Выход, по лит.<br>данным. <sup>0</sup> / <sub>0</sub> | Т. пл.,<br>по лит.<br>данным,<br>°C |
|---|--|------------|---------------|---------|----------------|---|-------------------------------------|
| C.H.NHCOOCH,CN  | C <sub>9</sub> H <sub>8</sub> O <sub>2</sub> N <sub>2</sub>    | 75         | 82-83         | 16,16   | 15,91          |   | 74—75                               |
| C4H5NHCOOCH(CN)CH3  | C10H10O2N2   | 88         | 77—78         | 14,48   | 14,71          | 46  | 81—82                               |
| C <sub>6</sub> H <sub>5</sub> NHCOOC(CN)(CH <sub>3</sub> ) <sub>2</sub>     | C11H12O2N2   | 92         | 136-137       | 13,13   | 13,72          | 24  | 188-189                             |
| n-CIC <sub>6</sub> H <sub>4</sub> NHCOOCH <sub>2</sub> CN                   | C,H,O,N,CI   | 90,4       | 98—100        | 12,85   | 13,30          | _   | _                                   |
| n-CIC.H. NHCOOCH(CN)CH3   | C10HO2N2CI   | 80,5       | 92—94         | 12,08   | 12,48          | 22  | 204—206                             |
| n-CIC <sub>6</sub> H <sub>4</sub> NHCOOC(CN)(CH <sub>3</sub> ) <sub>2</sub> | C,1H,1O,N,CI   | 70,6       | 117-119       | 12,03   | 11,76          | 72  | 214-215                             |
| #-CIC <sub>4</sub> H <sub>4</sub> NHCOOCH <sub>2</sub> CN                   | C <sub>9</sub> H <sub>1</sub> O <sub>2</sub> N <sub>2</sub> CI | 80,9       | 112—113       | 13,33   | 13,31          | -   | -                                   |

### Экспериментальная часть

 $\alpha$ -Цианметиловый эфир фенилкарбаминовой кислоты. К смеси 2,38 г (0,02 моля) фенилизоцианата и 1,25 г (0,022 моля) гликонитрила при охлаждении ледяной водой и перемешивании прибавляют 0,025 г пиридина и смесь оставляют на ночь при комнатной температуре. Продукт реакции растворяют в эфире, отфильтровывают, фильтрат промывают водой и после высушивания над сернокислым магнием удаляют эфир при комнатной температуре. Выход 2,3 г (75%); т. пл. 82—83°.

Аналогичным образом получены  $\alpha$ -цианметиловый эфир n-хлорфенилкарбаминовой кислоты (перекристаллизовывают из толуола) и  $\alpha$ -цианэтиловые эфиры фенил- и n-хлорфенилкарбаминовых кислот (перекристаллизовывают из октана).

 $\alpha$ -Циан- $\alpha$ -метилэтиловый эфир фенилкарбаминовой кислоты. Смесь 2,38 г (0,02 моля) фенилизоцианата, 1,9 г (0,022 моля) ацетонциангидрина и 0,025 г пиридина оставляют при комнатной температуре на 3—4 дня. Сырой продукт перекристаллизовывают из толуола. Выход 3,7 г (92%); т. пл. 136—137°.

Аналогичным образом получен а-циан-а-метилэтиловый эфир п-хлорфенилкарбаминовой кислоты.

 $^{2}$ -Цианметиловый эфир м-хлорфенилкарбаминовой кислоты. Смесь 3 г (0,02 моля) м-хлорфенилизоцианата, 1,25 г (0,022 моля) гликонитрила и 0,025 г пиридина оставляют при комнатной температуре на ночь. На следующий день к смеси прибавляют 7—8 мл абсолютного бензола и нагревают при  $80-90^{\circ}$  в течение 3-4 часов, затем отфильтровывают. Выход 3,4 г ( $80,9^{\circ}$ /<sub>0</sub>); т. пл.  $112-113^{\circ}$ .

### ՊԵՍՏԻՑԻԴՆԵՐԻ ՍԻՆԹԵՉ

XXVI. 2-8PULULUPL-N-UPPLUUPPUUUSLEPP UPLPEL

վ. վ. ԴՈՎԼԱԲՅԱՆ և Է. Ն. ՀԱՄԲԱՐՁՈՒՄՅԱՆ

### Udhahaid

Դիրիդինի կատալիտիկ քանակների ներկալությամբ արիլիզոցիանատների և ալդհհիդների ու կետոնների ցիանհիդրինների փոխազդմամբ ստացված և բնությագրված են α-ցիանալկիլ-N-արիլկարբամատներ։

8ուլց է տրված, որ Խասկինի և ուրիջների ստացած միացութլունները
ոչ թե քլորմրջնաթթվի և ֆենիլկարբամինաթթվի ածանցլալներ են, այլ օջսազոլինի և օքսազոլիդինի ածանցլալներ։ Գարզված է նաև, որ Շվեցովա-Շիլովսկալալի և ուրիջների ստացած միացութլունների մեծ մասը α-ցիանալկիլ-N-արիլկարբամատներ չեն, այլ արիլիզոցիանատների և ցիանհիդրինների
փոխազդման կողմնակի պրողուկտներ։

#### ЛИТЕРАТУРА

- 1. В. В. Довлатян, Э. Н. Амбарцумян, Решение о выд. авт. свид. по заявке № 1308156/23—4 от 25/11—69 г.
- 2. M. E. Lambling, C. r., 127, 65 (1898), Bull. soc. chim. Fr. (3) 19, 774 (1898).
- 3. К. Д. Швейцова-Шиловская, Н. Н. Мельников, З. И. Максимова, Т. С. Захарова, Л. П. Бочарова, ЖОХ, 32, 3230 (1962).
- И. Г. Хаскин, В. И. Кондраменко, Авт. свид. СССР кл. 120 17 01 (СО 7с) № 183733, Бюлл. изобрет., № 14, 21, 1966.
- И. Г. Хаскин, В. И. Кондраменко, Авт. свид. СССР, 12011 (СО7с) № 182134, Бюлл. изобрет., № 11, 17, 1966.

УДК 542.91+547.772.2

# СИНТЕЗ ПРОИЗВОДНЫХ АЗОЛОВ И ПОЛИМЕРОВ НА ИХ ОСНОВЕ

VII. СИНТЕЗ 1-ФЕНИЛ-3-МЕТИЛПИРАЗОЛИНА НА ОСНОВЕ 1,3-ДИХЛОРБУТЕНА-2

Э. Г. ДАРБИНЯН, А. А. СААКЯН, М. А. ЭЛИАЗЯН в С. Г. МАЦОЯН Институт органической химии АН Армянской ССР

Поступило 14 V 1969

Изучена возможность синтеза 1-фенил-3-метилииразолина путем превращения промежуточных продуктов алкенилирования фенилгидразина 1,3-дихлорбутеном-2. Библ. ссылок 3.

В продолжение исследований по синтезу производных азолов представляло интерес изучение пиразолиновых гетероциклов на основе 1,3-дихлорбутена-2, являющегося многотоннажным отходом производства хлоропрена. В настоящей работе изучена возможность синтеза 1-фенил-3-метилпиразолина путем превращения промежуточных продуктов алкенилирования фенилгидразина 1,3-дихлорбутеном-2.

Как известно, взаимодействие алкилгалоидов с фенилгидразином приводит, обычно, к образованию смеси α- и β-замещенных у азота изомеров [1]. Детальное изучение взаимодействия 1,3-дихлорбутена-2 с фенилгидразином в растворе сухого бензола показало, что имеет место исключительно α-замещение с образованием с высоким выходом α-(3-хлоркротил)фенилгидразина (I) наряду с выделением эквивалентного количества гидрохлорида фенилгидразина. Строение продукта алкенилирования I было подтверждено встречным синтезом — путем действия на α-натрийфенилгидразин дихлоридом с последующей идентификацией образиов в виде гидрохлоридов и гидразонов бензальдегида. При дегидрохлорировании замещенного гидразина I с помощью спиртовой щелочи или алкоголята натрия образуется α-(2-бутинил)фенилгидразин (II), который получен также взаимодействием 1-бромбутина-2 с фенилгидразином и идентифицирован в виде кристаллических производных (гидрохлорид, N-ацетильное производное):

$$CH_{3}CCI = CHCH_{2}CI \xrightarrow{C_{a}H_{3}N(NH_{2})CH_{2}CII} CCICH_{3}$$

$$C_{a}H_{3}N(NH_{2})CH_{3}C - CCH_{3} \xrightarrow{C_{a}H_{4}NHNH_{3}} CH_{3}C = CCH_{3}Br.$$

$$C_{a}H_{3}$$

$$C_{a}H_{3}$$

$$C_{a}H_{3}$$

$$C_{a}H_{3}$$

Нами найдено, что при нагревании ацетиленового гидразина II с 15⁰/₀-ным раствором уксусной кислоты происходит внутримолекуляр- ная циклизация и, по-видимому, через промежуточный ∆³-пиразолин, образуется устойчивый 1-фенил-З-метил-∆--пиразолин. Следует отметить, что попытки получения последнего путем непосредственного сернокислотного гидролиза хлоркротильного гидразина I не увенчались успехом.

Для доказательства строения пиразолин III был получен также конденсацией метилвинилкетона с фенилгидразином по известной методике [2]. При сравнении физико-химических свойств образцов 1-фенил-3-метилпиразолина (III), полученных двумя различными способами, установлена их полная идентичность. Строение полученных соединений подтверждено также исследованием их НК спектров.

Таким образом, на примере 1 фенил-3-метилпиразолина нами показана новая возможность синтеза  $\Delta^2$ -пиразолинов путем внутримолекулярной циклизации  $\alpha$ -ацетиленовых гилразинов типа ArN(NH<sub>\*</sub>)CH<sub>\*</sub>C=  $\equiv$ CR.

### Экспериментальная часть

а-(3-Хлоркротил)фенилгидразин (1). 1. К раствору 51,8 г (0,48 моля) фенилгидразина в 50 мл сухого бензола при энергичном перемешивании по каплям прибавляли 30,5 г (0.21 моля) 1,2-дихлор-бутена-2. После прибавления всего дихлорида смесь перемешивали при кипении в течение 10 часов. Образовавшийся гидрохлорид фенилгидразина отфильтровывали, фильтрат промывали разбавленным водным раствором щелочи и сущили прокаленным сульфатом магния. После отгонки бензола остаток перегоняли в вакууме. Получено 39,2 г (81,8%) гидразина 1 в виде желтоватой жидкости с т. кип. 116°/1,5 мм; пр 1,5795; d.0 1,1312. Найдено %: N 14,27; С1 18,01; МRD 57,83. Сто На N2C1. Вычислено %: N 14,23; С1 18,02; МRD 53,51.

Гидрохлорид, т. пл. 142—143° (из смеси эфир—этанол). Най-

дено %: N 12.11. С10Н14N2CI2. Вычислено %: N 12.00.

2-(3-Хлоркротил) фенилгидразон бензальдегида. При нагревания замещенного гидразина 1 с бензальдегидом получен соответствующий

гидразон, т. пл. 72—73° (из этанола). Найдено %: N 10,29. Съ Нъ N<sub>2</sub>Cl. Вычислено <sup>0</sup>/<sub>0</sub>: N 9,83.

2. К а-натрийфенилгидразину в сухом бензоле, приготовленному из 32.4 г (0.3 моля) фенилгидразина и 4,58 г (0,2 г-атома) натрия по методике [3], прибавляли при компатной температуре 25 г (0,2 моля) 1.3-дихлорбутена-2. После нагревания на кипящей водяной бане в течение 3 часов реакционную смесь обрабатывали водой, бензольный слой отделяли и сушили прокаленным сульфатом магшия. Остаток после отгонки бензола перегоняли в вакууме. Получено 24,7 г (62,7%) α-(3-хлоркротил)фенилгидразина (1) с т. кип. 112—114°/1 мм; пр 1,5800; d<sup>20</sup> 1,1125.

Гидрохлорид (т. пл. 142—144) и гидразон бензальдегида (т. пл. 72—73°) гидразина 1 не дали депрессии с описанными выше образцами.

а-(2-Бутинил)фенилгидразин (II). 1. К спиртовому раствору этилата натрия, приготовленного растворением 5,25 г (0,22 г-ат.) натрия в 70 мл абсолютного спирта, при перемешивании прибавляли 29.5 г (0,15 моля) а-(3-хлоркротил)фенилгидразина и смесь нагревали на кипящей водяной бане в течение 16 часов. После удаления спирта смєсь сбрабатывали водой и экстрагировали эфиром, эфирную вытяжку высушивали прокаленным сульфатом магния. Получено 20 г (81,5°/о) ацетиленового гилразина II в виде желтой жидкости с т. кип. 104—106°/1,5 мм; пр 1,5830; да 1,0682. Найдено %: N 17,68; МRD 50.09. Сд.Нд. N2 Вычислено %: N 17,47; MRD 50,14. Ус. с 2210, УМИ 3335 CM-1.

Гидрохлорид, т. пл. 164—166° (из смеси эфир— этанол). Найдено

%: N 14,22. С<sub>10</sub>H<sub>13</sub>N<sub>2</sub>Cl. Вычислено %: N 14,28.

N-Ацетильнее произвесоное. При взаимодействии 5,3 г ацетиленогого тидразина II с дгойным набытком уксусного ангидрида получено 5,2 г (77,8%) α-(2-бутинил)-β-ацетилфенилгидразина; т. пл. 108-109° (из влилогого спирта). Найдено 0/0: N 13,41. С12Н14N2O. Вычис-

лено %. N 13,84.

2. Смесь 14,5 г 1-брембутина-2 и 23.5 г фенилгидразина перемеи игали при компатьой температуре в течение 50 часов. После прибавлентя 50 мл сухого вфира образовавшийся гидробромид фенилгидразина слфильтропытали и фильтрат разгоняли в вакууме. Получено 9,8 г (56,2%) а-(2-бутингл)фенилгидразина с т. кип. 108-110/2 мм,  $n_D^{20}$  1,5824.

Гидрехлорид (т. пл. 164—166°) и N-ацетильное производное (т. гл. 1(8-109) гидразина II не дали депрессии при совместном

плагленти с списаньыми выше образцами.

1. Фенил-2-жетилии азолин III. Смесь 18,7 г a-(2-бутинил) фенилгидразтва (II) и 370 мл 15% - ного водного раствора уксусной кислоты непретелн при 115-120° в течение 24 часов. Образовавшиеся пссле съзгиления кристеллы отфильтровывали, промывали водой и суцтин в гакууме. Получено 11,5 г (61,5%) 1-фенил-3-метилпиразоПроба смешения с образцом 1-фенил-3-метилпиразолина [2], по-лученным из метилвинилкетона и фенилгидразина, не дала депрессии

температуры плавления.

# ԱԶՈԼՆԵՐԻ ԱԾԱՆՑՑԱԼՆԵՐԻ ԵՎ ՆՐԱՆՑ ՀԻՄԱՆ ՎՐԱ ՊՈԼԻՄԵՐՆԵՐԻ ՍԻՆԲԵԶ

VII. 1-\$50-1-2-ՄԱԹԻՎՊԻՐԱԶՈԼԻՆԻ ՍԻՆԹԵՉ 1.3-ԴԻՐԼՈՐՐՈՒՑԵՆ-2-Ի ՀԻՄԱՆ ՎՐԱ

t. s. suppresur, u. u. vuzuisur, v. u. firussur i v. s. vususur

### lldhahaid

Ուսումնասիրված է 1,3-զիդլորթուտեն-2-ի հետ ֆենիլ-իդրազինի ազդմամբ 1-ֆենիլ-3-մենիլպիրազոլինի սինների հնարավորությունը։
Դանված է ՀԿ-պիրադոլինների ստացման նոր ուղի AtN(NH₂)CH<sub>∗</sub>C≡CR
տիպի α-ացետիլենային հիդրազինների ներմոլեկուլային ցիկլացմամբ։

### JHTEPATYPA

1. E. Fischer, W. Ehrhard, Lieb, Ann., 199, 325 (1879).

2. M. Matre, Bull. soc. chim. Pr., [4], 3, 277 (1908).

3. A. Michaelts, Lieb. Ann. 252, 266 (1889).

XXIII, № 1, 1970

УДК 547.415.1

### НЕКОТОРЫЕ СИНТЕЗЫ НА ОСНОВЕ 4-АЛКОКСИБЕНЗИЛ-И 4-АЛКОКСИФЕНИЛАМИНОВ

м. А. ИРАДЯН, Л. В. МИНАСЯН и А. А. АРОЯН

Институт тонкой органической химии АН Армянской ССР

Поступило 1 VIII 1969

С целью испытания антигистаминных свойств синтезированы тетразамещенные этилен- и пропилендиамины, содержащие 4-алкоксифенильные и 4-алкоксибензильные радикалы и производные имидазолина.

Табл. 3, библ. ссылок 9.

На примере неоантергана [1] и неогетерамина [2] показано, что введение метоксильного остатка в ароматические радикалы тетразамещенных этилендиаминов повышает антигистаминную активность. В литературе нет данных о синтезе соединений, содержащих алкоксильные группы в обоих ароматических кольцах. Исходя из этого было интересно испытать на антигистаминную активность тетразамещенные этилендиамины I, содержащие небольшие алкоксильные рачкалы в обоих бензольных ядрах. Чтобы проследить за изменением активности с увеличением числа метиленовых групп боковой цепи, получено также производное пропилендиамина II.

RO 
$$CH_3$$
  $CH_3O$   $CH_2$   $CH_2$   $CH_3O$   $CH_2$   $CH_3O$   $CH_2CH_2CH_2N(CH_3)_2$ ,  $CH_3O$   $CH_3CH_2CH_2N(CH_3)_2$ ,

Помимо этого, синтезированы соединения III и IV, относящиеся к той группе антигистаминных веществ, у которых боковая дналкиламино-этильная цепь заменена 2-имидазолином.

Соединения III являются алкоксильными производными антигистаминного препарата антистина — 2-(N-фенил-N-бензиламино)метилимидаволина [3].

Соединения I синтезированы конденсацией N-4-алкоксибензил-4'алкоксифениламинов V с диалкиламиноэтилхлоридами в присутствии

амида натрия в среде абсолютного бензола.

RO 
$$CH_2$$
+ CICH<sub>2</sub>CH<sub>3</sub>NR<sub>2</sub>  $\xrightarrow{NaNH_2}$ 

R'O NH

Исходные вторичные амины V получены взаимодействием 4-алкоксибензилхлоридов [4] с 4-алкокспанилинами. При хроматографировании в тонком слое окиси алюминия тетразамещенные этилендиамины I и вторичные амины V дают одно пятно. Система растворителей: абсолютный эфир-петролейный эфир, 2:1 и 1:1.

Тетразамещенный пропилендиамин II синтезирован по схеме:

4-Метоксибензил-4'-метоксифениламин конденсируется с акрилонитрилом в среде уксусной кислоты и дает VI с 70% выходом. Восстановлением β-цианэтильного производного VI алюмогидридом лития в среде абсолютного эфира получен замещенный пропилендиамин VII. По реакции Эшфайлера [3], действием на VII муравьиной кислоты и формалина синтезировано II с 40,4% выходом.

2-Имидазолины III получены взаимодействием вторичных аминов V с гидрохлоридом 2-хлорметилимидазолина в абсолютном этаноле

$$V + C1CH_2 N$$
.HCI  $\longrightarrow III$ .

VIII

Они представляют собой белые кристаллические вещества, плохо растворимые в метаноле, не растворимые в воде и эфире.

11 + 11

Гидрохлорид 2-хлорметилимидазолина получен по прописи Кларера и Уреха [6] с выходом в  $32^{0}/_{0}$ .

$$CICH_{2}CONH_{2} \xrightarrow{P_{2}O_{5}} CICH_{2}CN \xrightarrow{C_{2}H_{5}OH, HCI} CICH_{2}C \xrightarrow{OC_{2}H_{5}} \xrightarrow{H_{1}NCH_{2}CH_{2}NH_{2}} VIII$$

Соединение IV получено взаимодействием гидрохлорида IX и безводного этилендиамина в среде абсолютного этанола; выход 24,5%.

Гидрохлорид этилового иминоэфира N-4-метоксибензил-N-4'-метоксифенил-B-аминопропионовой кислоты IX получен действием на эквимолекулярную смесь нитрила VI и абсолютного этанола сухим хлористым водородом до насыщения в среде абсолютного эфира с выходом 45,4%0.

# Экспериментальная часть

4-Алкоксибензил-4'-алкоксифениламины (V). Смесь 0,8 моля 4-алкоксианилина [9] и 0,2 моля 4-алкоксибензилхлорида нагревают 6—8 часов (в случае 4-анизидина в качестве среды взято 150 мл абсолютного бензола). Затем добавляют 100 мл 10%-ного едкого натра. Выделившийся маслянистый слой отделяют, а водный экстрагируют эфиром. Последний присоединяют к основному продукту и высушивают над прокаленным сернокислым натрием. После отгонки растворителя остаток перегоняют в вакууме (табл. 1).

|                               | 1                             | 1            | 1                      | RO             | CH2NH ⟨  |         | )OR'   |         |        |        | Ta     | гблица 1                     |
|-------------------------------|-------------------------------|--------------|------------------------|----------------|--|---------|--------|---------|--------|--------|--------|------------------------------|
| R                             | R'                            | Beixoli, 0/0 | Т. кип.,<br>°С/леле    | Т. пл.,<br>°C  | Молен  | пайденс | вычис- | найдено | вычис- | айдено | вычис- | Т. пл. гидрэ-<br>хлорида, °С |
| $CH_3^*$ $C_2H_5$             | CH <sub>3</sub>               | 58,5<br>66,6 | 183—185/1<br>187—189/1 | 98 <b>—</b> 99 | C <sub>15</sub> H <sub>17</sub> NO <sub>2</sub><br>C <sub>16</sub> H <sub>19</sub> NO <sub>2</sub> | 74,18   | 74,04  | 6,82    | 7,04   | 6.10   | 5.79   | 163—164                      |
| CH <sub>2</sub>               | Calle                         | 70.4         | 189—191/1              | 64 - 65        | C H NO   |         | . 1,01 | 7,41    | 7,47   | 5,40   | 5.44   | 148 - 149                    |
| C <sub>2</sub> H <sub>5</sub> | C <sub>2</sub> H <sub>5</sub> | 65,4         | 190-192/1              | 97—98          | C <sub>17</sub> H <sub>21</sub> NO <sub>2</sub>  | 74,97   | 75,24  | 7,45    | 7,47   | 5,83   | 5,44   | 142-143                      |
|                               |                               | ,            |                        |                |  |         |        |         | ,,00   | 4,07   | 5,12   | 140144                       |

<sup>\*</sup> По литературным данным [7], т. пл. 97—99°, [8] т. пл. 94—95°,

N-4-Алкоксибензил-N-4'-алкоксифенил-N', N'-диалкилэтилендиамины (I). К смеси 60 мл абсолютного бензола, 6,2 г (0,16 моля) измельченного амида натрия, 0,06 моля 4-алкоксибензил-4'-алкоксифениламина при перемешивании прикапывают 0,1 моля свежеперегнанного диалкиламиноэтилхлорида. Смесь перемешивают и нагревают на водяной бане 8—10 часов. По охлаждении из капельной воронки осторожно приливают 30 мл воды, отделяют бензольный слой, а водный экстрагируют бензолом. Бензольные экстракты высушивают над прокаленным сернокислым натрием, отгоняют растворитель и остаток перегоняют в вакууме (табл. 2).

N- $\beta$ - $\mu$ ианэтил-N-4-метоксибензил-N-4-метоксифениламин (VI). Смесь 12,1 г (0,05 моля) N-4-метоксибензил-N-4-метоксифениламина, 5,3 г (0,1 моль) акрилонитрила и 15 мл уксусной кислоты нагревают на сплаве Вуда при 120—125° в течение 6—7 часов. Отгоняют избыток акрилонитрила и уксусной кислоты, остаток перегоняют в вакууме. Выход 10,3 г (70%); т. кип. 224—226°/1 мм;  $d_4^{20}$  1,1453;  $n_D^{20}$  1,5870. М $R_D$  найдено 86,97, вычислено 86,62. Найдено %: С 73,25; H 7,02; N 9,22.  $C_{18}H_{20}N_2O_2$ . Вычислено %: С 72,95; H 6,80; N 9,46.

N-4-Метоксибензил-N-4-метоксифенилиропилендиамин (VII). К 5,2 г (0,13 моля) литийалюмогидрида в 100 мл абсолютного эфира при охлаждении прикапывают 20 г (0,067 моля)  $N-\beta$ -цианэтил-N-4-метоксифениламина в 150 мл абсолютного эфира. Смесь нагревают в течение 24 часов, после чего добавляют 30 мл воды, отделяют эфирный слой и сущат над прокаленным сернокислым натрием. После отгонки растворителя остаток перегоняют в вакууме. Выход 13 г (64,6%); т. кип. 215-216% мм;  $d_4^{20}$  1,1160;  $n_D^{20}$  1,5908. М $R_D$  найдено 91,30, вычислено 90,29. Найдено %: С 71,84; H 8,17;  $MR_D$  найдено 91,30, вычислено %: С 71,96; H 8,05; N 9,32. N 9,03.  $C_{18}H_{24}N_2O_2$ . Вычислено %: С 71,96; H 8,05; N 9,32.

N-4-Метоксибензил - N - 4'-метоксифенил-N', N'-диметилпропи-лендиамин (II). К 9,2 мл 85% - ной муравьиной кислоты при охлаждении приливают 12 г (0,04 моля) N-4-метоксибензил-N-4'-метоксифении приливают 12 г (0,04 моля) N-4-метоксибензирю часть радобавляют 42 мл 4 н соляной кислоты, отгоняют большую часть растворителя и остаток обрабатывают 30% - пым раствором едкого натра створителя и остаток обрабатывают 30% - пым раствором и эфирные выдобавленным сернокислым натрием. После отгонки тяжки сущат над прокаленным сернокислым натрием.

Гидрохлориды 2-(N-4-алкоксибензил-4'-алкоксифениламино) метилимидазолинов (III). Смесь 0,01 моля 4-алкоксибензил-4'-алкокситилимидазолинов (III) корохлорида 2-хлорметилимидазолина фениламина, 1,55 г (0,01 моля) гидрохлорида 2-хлорметилимидазолина фениламина, 1,55 г (0,01 моля) пагревают на водяной бане в течение и 20 мл абсолютного этанола нагревают на водяной бане в течение 7—8 часов. Затем отгоняют часть растворителя и добавляют 50 мл

| CH,<br>CH,<br>CH,<br>CH,<br>CH,<br>CH,<br>CH,   | ₽  |
|---|--|
| CH3<br>CH3<br>CH3<br>CH3<br>CH3   | R  |
| CH <sub>3</sub>   | R"                                       |
| 67, 0<br>58, 4<br>66, 5<br>65, 0<br>59, 5<br>60, 3  | Выход, <sup>0</sup> / <sub>0</sub>       |
| 199-201/1<br>203-205/1<br>203-205/1<br>206-208/1<br>208-210/1<br>204-206/1<br>208-210/1<br>209-211/1  | Т. кип.,<br>°С/жм                        |
| C <sub>19</sub> H <sub>26</sub> N <sub>2</sub> O <sub>2</sub><br>C <sub>20</sub> H <sub>28</sub> N <sub>2</sub> O <sub>2</sub><br>C <sub>20</sub> H <sub>28</sub> N <sub>2</sub> O <sub>2</sub><br>C <sub>21</sub> H <sub>30</sub> N <sub>2</sub> O <sub>2</sub><br>C <sub>21</sub> H <sub>30</sub> N <sub>2</sub> O <sub>2</sub><br>C <sub>22</sub> H <sub>32</sub> N <sub>2</sub> O <sub>2</sub><br>C <sub>22</sub> H <sub>32</sub> N <sub>2</sub> O <sub>3</sub><br>C <sub>23</sub> H <sub>34</sub> N <sub>2</sub> O <sub>3</sub><br>C <sub>23</sub> H <sub>34</sub> N <sub>2</sub> O <sub>3</sub> | Молекулярная<br>формула                  |
| 1,0662<br>1,0628<br>1,0540<br>1,0511<br>1,0507<br>1,0347<br>1,0423<br>1,0523  | d <sup>20</sup>                          |
| 1,5748<br>1,5678<br>1,5625<br>1,5618<br>1,5608<br>1,5542<br>1,5580<br>1,5531  | en e |
| 94, 48<br>101, 03<br>101, 14<br>105, 64<br>105, 52<br>110, 45<br>1110, 27<br>1112, 70   | наплено                                  |
| 95,43<br>100,04<br>100,04<br>104,66<br>104,66<br>109,28<br>109,28   | вычислено                                |
| 72,27<br>72,99<br>73,36<br>73,52<br>74,33<br>74,33<br>73,87   | найдено                                  |
| 72,57<br>73,13<br>73,13<br>73,67<br>74,12<br>74,12<br>74,52   | вычис-                                   |
| 8, 20<br>8, 64<br>8, 85<br>9, 04<br>9, 33<br>9, 33<br>9, 36   | найдено =                                |
| 9,04<br>9,04<br>9,04  | вычис-                                   |
| 8 52<br>8 40<br>8 44<br>8 12<br>8 18  | найдено                                  |
| 8, 53<br>8, 53<br>8, 53<br>8, 53<br>7, 85<br>7, 85  | вычис-                                   |
| 129 — 130<br>125 — 126<br>128 — 129<br>118 — 119  | Т. пл.<br>гилро-<br>хлорида,<br>С        |

ROCCH<sub>2</sub>
R'OCH<sub>2</sub>CH<sub>3</sub>NR<sub>2</sub>

Таблица 2

абсолютного эфира. Выпавшие кристаллы фильтруют и для удаления гидрохлорида непрореагировавшего амина промывают теплой (40—45°) водой (табл. 3).

Таблица 3

| 1                             |                 |       |         | 1            | - 11    | Α     | н а   | л             | н з.    | 0/0   |         |               |
|-------------------------------|-----------------|-------|---------|--------------|---------|-------|-------|---------------|---------|-------|---------|---------------|
| 1                             | 123             | 0     |         |              | (       |       | I     | 1             | F       | 1     | C       | 1             |
| D                             | D/              | 0 0   | Т. пл., | Молекулярная | 0       | A.    | 01    | 5. 1          | ОН      |       | 0       |               |
| R                             | R'              | O.    | °C      | формула      | наплено | вычис | ілепо | вычис<br>лено | найедно | 0     | найдено | Вычис<br>лено |
|                               |                 | Выход |         |              | 123     | вы    | Hai   | Вычн          | ııai    | BIN   | най     | RENTE         |
|                               | 100             | 1     |         |              |         |       |       |               |         |       |         |               |
| CH                            | CH <sub>3</sub> | 40.5  | 210 211 | C19H24CIN3O2 | 63,22   | 63,06 | 6,47  | 6,68          | 11,33   | 11,61 | 9,94    | 9,79          |
| CH.                           |                 |       | 215-216 |              | 63,57   | 63,90 | 6,67  | 6,97          | 11,56   | 11,19 | 9,17    | 9,43          |
| C <sub>2</sub> H <sub>5</sub> | - 0             |       | 229-230 |              | 63,91   | 63,90 |       |               |         |       |         |               |
| CH                            |                 |       | 202-204 |              | 64,39   | 64,68 | 7,61  | 7,23          | 10,51   | 10,71 | 8,72    | 9,09          |
| C <sub>2</sub> H <sub>5</sub> | 02(15           | 00,2  | 202     |              |         |       |       |               | - 4     |       |         |               |

Гидрохлорид этилового иминоэфира β-(N-4'-метоксибензил-N-4'-метоксифенил) аминопропионовой кислоты (IX). В смесь 7,1 г (0,024 моля) N-β-цнанэтил-N-4-метоксибензил-N-4'-метоксифениламина, 1,1 г (0,024 моля) абсолютного этанола и 20 мл абсолютного эфира при охлаждении водой пропускают ток сухого хлористого водорода при охлаждения водой пропускают ток сухого хлористого водорода при охлаждении водой пропускают ток сухого хлористого водорода при охлаждения при охлаждения водорода при охлаждения при охлаждения водой пропускают ток сухого хлористого водорода при охлаждения водобавляют абсолютного ацекторителя и к остатку добавляют абсолютный ацетон. Выпавшие кристаллы фильтруют и перекристаллизовывают из абсолютного ацекторителя и к остатку добавляют абсолютный ацетон. Выпавшие кристаллы фильтруют и перекристаллизовывают из абсолютного ацекторителя и к остатку добавляют и перекристаллизовывают из абсолютного ацекторителя и к остатку добавляют и перекристаллизовывают из абсолютного ацекторителя и к остатку добавляют и перекристаллизовывают из абсолютного ацекторителя и к остатку добавляют и перекристаллизовывают из абсолютного ацекторителя и к остатку добавляют и перекристаллизовые и пе

Гидрохлорид 2-(N-4-метоксибензил-N-4'-метоксифениламино)этилимидазолина (IV). Смесь 3,7 г (0,01 моля) гидрохлорида этилового иминоэфира 3-(N-4-метоксибензил-N-4'-метоксифенил)аминопропионовой кислоты, 0,6 г (0,01 моля) безводного этилендиамина и
пионовой кислоты, 0,6 г (0,01 моля) безводного этилендиамина и
20 мл абсолютного этанола нагревают в течение 6—8 часов. Затем в
смесь пропускают ток сухого хлористого водорода до кислой реаксмесь пропускают ток сухого хлористого водорода до кислой реакции. Гидрохлорид этилендиамина отфильтровывают, выпаривают часть
фильтрата, выпавший осалок отфильтровывают и перекристаллизовыфильтрата, выпавший осалок отфильтровывают и перекристаллизовывают из абсолютного этанола. Выход 0,9 г (24,5%): т. пл. 179—180°.

Вают из абсолютного этанола. Выход 0,9 г (24,5%): т. пл. 179—180°.

Найдено %: С 63,84; Н 6,63; N 11,30; С1 9,80. С20Н26N3O2CI. Вычислено %: С 63,90; Н 6,97; N 11,19; С1 9,43.

# որցժժժղդնիվժժան արև 1-ին - իվ - իվ 4-ԱլկՕՔՍԻԱՄԻՆ ԳՄԱ 4-ԱլկՕՔՍԻՖԵՆԻԼԱՄԻՆՆԵՐԻ ԱԴԻ ԺԱՄԿԷ

Մ. Ա. ԻՐԱԴՅԱՆ, Լ. Վ. ՄԻՆԱՍՅԱՆ և Հ. Ա. ՀԱՐՈՅԱՆ

### U d din din c d

արմարանվաց բնինրը» ը տեստինըրդվույրըն և իսլիդամուն ացարմեանրի։ [գրոնվաց ըր դ֊անիօծոինըրընկը բ դ֊անիօծոիֆբրին իսլներ տահուրաիսն ճառա» Հակաչիսատղիրանիր չատիսներություններ և իսլիդամուն ացարմեանրի։

### ЛИТЕРАТУРА

- D. Bovet, R. Horclois, F. Walthert, C. r. soc. biol., 138, 99 (1944); [C. A., 39, 3070\* (1945)].
- 2. H. L. Friedman, A. V. Tolstoouhov, пат. США 2465,865 (1949); [С. А., 43, 62244d (1949)].
- 3. R. Meter, K. Bucher, Experientia, 2, 140 (1946); [C. A., 40, 51345 (1946)]; R. Meter, Ann. N. Y. Acad. Sci., 50, 1161 (1950); [C. A., 44, 8541b (1950)].
- 4. А. Л. Миджоян, А. А. Ароян, Научные труды ЕГУ, 36, 21 (1952).
- 5. W. Eschweitler, Ber., 38, 880 (1905).
- 6. W. W. Klarer, E. Urech, Helv. Chim. Acta, 27, 1762 (1944).
- 7. J. Cusic, пат. США 2,772,289 (1956); [С. А., 52, 1288b (1958)].
- 8. M. Julia, J. Igolen, Bull. soc. chim. France, 1962, 1056.
- 9. А. А. Ароян, М. А. Ирадян, Арм. хим. ж., 22, 140 (1969).

XXIII, № 1, 1970

УДК 542.91+547.94

### производные индола

XXX. 2,2-ДИМЕТИЛ- И 2,2,8-ТРИМЕТИЛ-4-ОКСИ-1,2,3,4,4a,5,8,9-ОКТА-ГИДРО-6H-БЕНЗ (i) ИНДОЛО (2,3-g) ИНДОЛИЗИНЫ

### А. П. БОЯХЧЯН и Г. Т. ТАТЕВОСЯН

Институт тонкой органической химин АН Армянской ССР

Поступило 6 VI 1969

Описан синтез 2,2-диметил- и 2,2,8-триметил-4-окси-1,2,3,4,4а,5,8,9-октагидро-6Нбенз(і)индоло(2,3-g)индолизинов (III), являющихся структурными аналогами эритриновых алкалоидов.

Рис. 1, библ. ссылок 3.

Эритриновые алкалоиды привлекают внимание химиков своеобразным строением, а также своими биологическими свойствами.

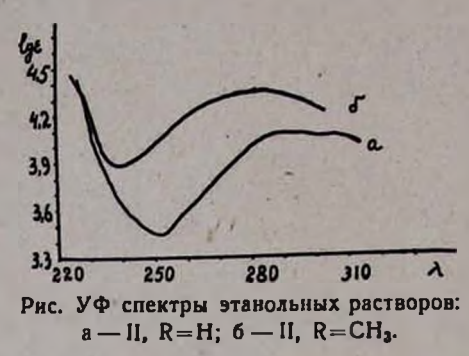
Алкалонды этой группы являются курарезирующими агентами, однако, в отличие от других веществ подобного действия, как природных, так и синтетических, не имеют четвертично-аммониевой группы; они проявляют курареподобное действие в виде гидрохлоридов и, вследствие этого. эффективны при оральном введении, что является их существенным преимуществом по сравнению с другими мышечными релаксантами.

Основным фрагментом эритриновых алкалоидов является трициклическая бенз(1) индолизиновая система, которая в молекулах алкалоидов этой группы конденсирована с бензольным или ненасыщенным лактонным кольцом. Ханом с сотрудниками [1]
была отмечена аналогия в строении карболиновых и изохинолиновых алкалоидов; в
одной из этих групп пиридиновое кольцо конденсировано с индольным, а в другой —
с бензольным ядром. Руководствуясь этой аналогией, можно предположить возможность нахождения в природе индольных аналогов ароматических эритриновых алкалоидов, в которых бенз(1) индолизиновая система конденсирована с индольным ядром.
Насколько нам известно, в литературе нет сведений об обнаружении алкалоидов
такого строения. Первое соединение этого ряда было получено Мондоном синтетически, конденсацией триптамина с 2-оксоциклогексилуксусной кислотой [2].

Нами начата работа по синтезу и сравнительному изучению индольных аналогов эритриновых алкалоидов. В настоящем сообщении описывается синтез 2,2-диметил- и 2,2,8-триметил-4-окси-1,2,3,4,4а,5, 8,9-октагидро-6H-бенз(і)индоло(2,3-g)индолизинов (III), проведенный по схеме:

Армянский химический журнал, XXIII, 1-5

Исходная 2,6-диоксо-4,4-диметилциклогексилуксусная кислота I получена по прописи Розенмунда с сотрудниками [3]. Конденсация ее с триптамином и  $\alpha$ -метилтриптамином проводилась в ксилоле при  $180^\circ$ . В ИК спектрах продуктов конденсации, хроматографически однородных и соответствующих по составу формуле II (R=H и  $CH_3$ ), имеются полосы поглощения кетонной и амидной карбонильных групп и индольной имино-группы. УФ спектры (см. рис.) свидетельствуют о наличии индольного хромоформа.



Тот же состав и сходную спектральную характеристику должны иметь и ненасыщенные лактамы V, которые могли образоваться в результате лактамизации и последующей дегидратации промежуточных триптамидов IV:

Найдено, что продукты конденсации не дают окрашивания с реактивом Эрлиха и не присоединяют водорода в присутствии платинового катализатора при комнатной температуре и атмосферном давлении; тем самым подтверждается строение ІІ и исключается формула V.

Восстановление лактамов II алюмогидридом лития с хорошими выходами дало основания III, охарактеризованные в виде гидрохлоридов. С кислым раствором 2,4-динитрофенилгидразина эти основания не дают динитрофенилгидразонов, образования которых следовало ожидать, если бы основания были продуктами восстановления ненасыщенных лактамов V.

В ИК спектрах оснований III имеются полосы поглощения имино и гидроксильной групп.

### Экспериментальная часть

2,2-Диметил-4,6-диоксо-1,2,3,4,4 $\alpha$ ,5,8,9 - октагидро-6H-бенз(i)ин-доло (2,3-g)индолизин (II, R=H). Смесь 2 г (0,01 моля) 2,6-диоксо-4,4-диметилциклогексилуксусной кислоты с 1,6 г (0,01 моля) триптамина кипятилась в ксилоле 5 часов в токе азота. Ксилол отогнан, остаток растворен в хлороформе, хлороформный раствор промыт разбавленным раствором щелочи, водой, разбавленной соляной кислотой, вновь водой и высушен безводным сернокислым натрием. После отгонки хлороформа получено 2,8 г масла, которое закристаллизовалось при растирании с петролейным эфиром. Перекристаллизацией из водного метанола получено 2 г (62%) светло-желтого порошкообразного вещества с т. пл. 246°. Хроматографирование в тонком слое окиси алюминия (хлороформ—этанол, 9:1) дало одно пятно с  $R_1$  0,69. ИК спектр:  $\nu$  1630 ( $CO_{anng.}$ ), 1740 ( $CO_{ket.}$ ), 3220 см<sup>-1</sup> ( $NH_{видольн.}$ ). Найдено  $O_0$ : С 74,44; H 7,07; V 8,83.  $C_{20}H_{22}V_2O_2$ . Вычислено  $V_0$ : С 74,53; H 6,83; V 8,69.

2,2,8-Триметил-4,6-диоксо-1,2,3,4,4a,5,8,9-октагидро-6H-бенз(i)-иноло(2,3-g)индолизин (II,  $R=CH_3$ ). Конденсацией 3,5 г (0,017 моля) 2,6-диоксо-4,4-диметилциклогексилуксусной кислоты с 3,08 г (0,017 моля)  $\alpha$ -метилтриптамина описанным выше способом получено 3,9 г ( $66/{}^0_0$ ) лактама II ( $R=CH_3$ ) с т. пл.  $208^\circ$ .  $R_I$  0,73 (хлороформ—спирт, 9:1). ИК спектр:  $\nu$  1650 ( $CO_{\text{амид}}$ ), 1700-1725 ( $CO_{\text{кет}}$ ), 3230 см<sup>-1</sup> ( $NH_{\text{инлольн}}$ ). Найдено  ${}^0/_0$ : С 74,84; H 7,05; N 8,22.  $C_{21}H_{24}N_2O_2$ . Вычис-

лено %: С 75,00; Н 7,14; N 8,33.

2,2-Диметил-4-окси-1,2,3,4,4а,5,8,9-октагидро-6Н-бенз(і)индоло-(2,3-g)индолизин (III, R=H). К раствору 3,2 г (0,08 моля) алюмогидрида лития в 100 мл эфира добавлен раствор 6,6 г (0,02 моля) лактама II (R=H) в смеси с 30 мл диоксана, 50 мл анизола и 100 мл абсолютного эфира. Реакционная смесь кипятилась 10 часов, затем была разложена 15 мл воды. Осадок гидроокисей металлов отделен, промыт эфиром и вытяжки присоединены к основному раствору. После сушки и частичного удаления растворителей добавлением эфирного раствора хлористого водорода осаждено 5,5 г (77,7%) гидрохлорида. Гидрохлорид переведен в основание, которое очищено пропусканием его хлороформного раствора через колонку с окисью алюминия. Концентрирование хлороформного раствора и растирание полученного маслообразного продукта с сухим эфиром дало чистое кристаллическое основание с т. пл. 82-83° (с разложением). Хроматографирование в тонком слое силикагеля (хлороформ-этанол, 9:1) дало одно пятно с R<sub>f</sub> 0,66. ИК спектр: у 3300-3350 (ОН-группа), 3230  $c_M^{-1}$  (NH<sub>ведольн.</sub>). Найдено  $^{0}$ /<sub>0</sub>: С 77,62; Н 8,55; N 8,74. С<sub>20</sub>Н<sub>26</sub>N<sub>2</sub>O. Вычислено %: С 77,41; Н 8,38; N 9,03. Гидрохлорид (из эфира), т. пл. 146°. Найдено %: Сі 10,46. Со Нао NaO·HCI. Вычислено %: Cl 10,27.

2,2,8-Триметил-4-окси - 1,2,3,4,4a,5,8,9-октагидро-6H-бенз (t)-ин-доло(2,3-g)индолизин (III,  $R=CH_3$ ). Описанным выше способом, восстановлением 2 z (0,006 моля) лактама II ( $R=CH_3$ ) 0,9 z (0,024 моля). алюмогидрида лития, получено 2 z ( $93,4^0/_0$ ) гидрохлорида основания III ( $R=CH_3$ ). Свободное основание после хроматографической очистки было выделено B виде вязкого желтого масла, которое не удалось закристаллизовать.  $R_1$  0,59 (B тонком слое силикагеля, хлороформ— этанол, 9:1). ИК спектр; v 3280 (OH-группа), 3410 см $^{-1}$  ( $NH_{IIRADABH}$ ,). Найдено 0/0: С 77,54; H 8,60; N 8,48.  $C_{21}H_{28}N_2O$ . Вычислено 0/0: С 77,77; H 8,64; N 8,64. Гидрохлорид (из эфира), T. пл.  $123^\circ$ . Найдено 0/0: C 19,93.  $C_{21}H_{28}N_2O$  · HCI. Вычислено 0/0: C 19,84.

### ԻՆԴՈԼԻ ԱԾԱՆՑՅԱԼՆԵՐ

XXX. 2,2–ԴԻՄԵԲԻԼ– ԵՎ 2,2,8–ՏՐԻՄԵԲԻԼ-4–ዐዋሀ-1,2,3,4,4 $_8$ ,5,8,9-ዐԿՏԱՀԻԴՐՈ-6H-ԲԵՆՉ(i) ኮՆԴՈԼԱ(2,8-g) ኮՆԴՈԼԵԶԻՆՆԵՐ

Ա. Փ. ԲՈՑԱԽՉՑԱՆ և Գ. Տ. ԹԱԴԵՎՈՍՑԱՆ

### Udhahaid

Նկարագրված է 2,2-դիմեթիլ-4-օքսի-1,2,3,4,48,5,8,9-օկտահիդրո-6--բենզ(1)ինդոլա(2,3-ց)ինդոլիզինի և 2,2,8-տրիմեթիլ-4-օքսի-1,2,3,4,48,5,8,9օկտահիդրո-6--սինթեզ։ Էրիտրինային
ալկալոիդների կառուցված քային համանմաններ հանդիսացող այդ նյութերըսինթեզվել են նրանց կենսաբանական հատկություններն ուսումնասիրելու
նպատակով։

#### ЛИТЕРАТУРА

- 1. G. Hahn, L. Barwald, O. Schales, H. Werner, Lieb. Ann., 520, 107 (1935).
- 2. A. Mondon, G. Hasselmeyer, Chem. Ber., 92, 2552 (1959).
- 3. R. W. Rosenmund, H. Herzberg, H. Schatt, Chem. Ber., 87, 1258 (1954).

XXIII, No 1, 1970

УДК 542.91+547.853.3

### ПРОИЗВОДНЫЕ ПИРИМИДИНА

XIV. СИНТЕЗ И НЕКОТОРЫЕ РЕАКЦИИ 2,6-ДИМЕТИЛ-4-ОКСИ-5-(n-АЛКОКСИБЕНЗИЛ) ПИРИМИДИНОВ

М. С. КРАМЕР и А. А. АРОЯН

Институт тонкой органической химии АН Армянской ССР

Поступило 6 VI 1969

Взаимодействием *п*-алкоксибензилацетоуксусных эфиров с гидрохлоридом ацетамидина в присутствии метилата натрия синтезированы 2,6-диметил-4-окси-5-(*п*-алкоксибензил)пиримидины, которые переведены в 4-хлор- и 4-метоксипроизводные. Табл. 3, библ. ссылок 4.

В продолжение начатых работ по синтезу производных пиримидина [1] мы задались целью исследовать некоторые реакции ряда оксипиримидинов, отличающихся от ранее синтезированных наличием во втором положении метильной группы, с общей формулой:

R=CH<sub>3</sub>, C<sub>2</sub>H<sub>5</sub>, C<sub>3</sub>H<sub>7</sub>, u30-C<sub>3</sub>H<sub>7</sub>, C<sub>4</sub>H<sub>9</sub>, u30-C<sub>4</sub>H<sub>9</sub>.

Синтез 2,6-диметил-4-окси-5-(*п*-алкоксибензил) пиримидинов проведен циклизацией эквимолекулярных количеств *п*-алкоксибензилацетоуксусных эфиров с гидрохлоридом ацетамидина в присутствии метилата натрия.

$$CH_3C \xrightarrow{NH} C_2H_5OC = O \\ + CH - CH_2 \xrightarrow{CH_3ONa} I$$

$$O = C - CH_3$$

Оксипиримидины — белые кристаллические вещества, не растворимые в воде и в органических растворителях — получаются с 65— 70% выходами. Попытка повысить их выходы при помощи увеличения количества метилата натрия или гидрохлорида ацетамидина не дала удовлетворительных результатов. Такие же результаты получаются и при применении этилата натрия.

Осяждение оксипроизводных пиримидина из водных растворов их натриевых солей следует проводить при рН не ниже 6—7. Избыток уксусной кислоты приводит к растворению значительной части продукта реакции.

Аналогичную циклизацию на примере ацетоуксусного эфира и ацетамидина в присутствии водного раствора едкого натра проводили Фостер и Снайдер [2]. Мы также попытались получить вышеуказанные 4-оксипиримидины этим методом, однако выходы последних не превышали 15—20%.

Необходимые для циклизации *п*-алкоксибензилацетоуксусные эфиры получены взаимодействием ацетоуксусного эфира с *п*-алкоксибензилхлоридами [3], а гидрохлорид ацетамидина — из ацетонитрила по известной прописи [4].

Нагреванием 2,6-диметил-4-окси-5-(n-алкоксибензил) пиримидинов с избытком хлорокиси фосфора были синтезированы 4-хлорпиримидины с 85—90% выходами

$$1 \xrightarrow{POCI_3} CH_3 CH_2 OR$$

$$I1$$

R=CH3-430-C4H3.

При этом важна температура реакции, так как повышение ее до температуры кипения хлорокиси фосфора приводит к образованию маслообразных некристаллизующихся продуктов. Для успешной кристаллизации хлоридов необходимо тщательное удаление из реакционной среды хлорокиси фосфора. 2,6-Диметил-4-хлор-5-(л-изопропоксии л-бутоксибензил) пиримидины удалось закристаллизовать лишь после вакуум перегонки.

Взаимодействие 4-хлорпиримидинов с метилатом натрия в среде метанола приводит к замещению хлора на метоксильную группу.

II 
$$CH_3ON_8$$
  $CH_3$   $CH_3$ 

Полученные с  $55-60^{\circ}/_{\circ}$  выходами 2,6-диметил-4-метокси-5-(n-алкоксибензил) пиримидины перегоняются без разложения и при стоянии кристаллизуются. Чистота и индивидуальность последних подтверждены данными элементарного анализа и хроматографией в тонком слое окиси алюминия II активности в системе эфир—петролейный эфир (1:1).

### Экспериментальная часть

2,6-Диметил-4-окси-5-(п-алкоксибензил)пиримидины (I). К охлажденному раствору метилата натрия, приготовленному из 4,6 г (0,2 г-ат) натрия и 100 мл метанола, прибавляют последовательно 9,45 г (0,1 моля) гидрохлорида ацетамидина [4] и 0,1 моля п-алкоксибензилацетоуксусного эфира [3]. Реакционную смесь нагревают при

перемешивании на водяной бане 2-3 часа. После отгонки растворителя остаток растворяют в 50 мл воды и водный раствор осторожно подкисляют ледяной уксусной кислотой при охлаждении до pH=6-7. Выпавшие кристаллы отфильтровывают, хорошо промывают холодной водой, высушивают и перекристаллизовывают из этилового спирта (табл. 1).

Таблица 1

|                                   |       | 40. "         | Молекулярная<br>формула | 2 -     | Ан     | н э,    | °/o    |         |        |
|-----------------------------------|-------|---------------|-------------------------|---------|--------|---------|--------|---------|--------|
|                                   | 0/0   | _             |                         | C       |        | H       | i      | N       |        |
| R                                 | Выход | Т. пл.,<br>°C |                         | найдево | вычис- | найдено | вычис- | найдено | вычис- |
| CH <sub>3</sub>                   | 69,5  | 168—169       | C14H16N2O2              | 68,81   | 68,83  | 7,00    | 6,60   | 11,30   | 11,46  |
| C,H,                              | 64,8  | 189-190       | C15H18N2O2              | 69,70   | 69,74  | 7,28    | 7,02   | 11,15   | 10,84  |
| C <sub>3</sub> H <sub>7</sub>     | 71,6  | 155—156       | C15H20N2O2              | 70,57   | 70,56  | 7,60    | 7,36   | 10,57   | 10,20  |
| изо-С <sub>3</sub> Н <sub>7</sub> | 72,0  | 149—150       | C16H20N2O2              | 70,70   | 70,56  | 7,15    | 7,36   | 10,00   | 10,20  |
| C <sub>4</sub> H <sub>9</sub>     | 75,4  | 165—166       | C17H22N2O2              | 71,50   | 71,29  | 8,00    | 7,74   | 9,45    | 9,77   |
| изо-С <sub>4</sub> Н <sub>8</sub> | 70,5  | 145—146       | C17H22N2O2              | 70,90   | 71,29  | 7,70    | 7,74   | 9,81    | 9,77   |

2,6-Диметил-4-хлор-5-(п-алкоксибензил)пиримидины (II). К 30 г (0,2 моля) свежеперегнанной хлорокиси фосфора прибавляют 1,58 г (0,02 моля) пиридина и 0,02 моля 2,6-диметил-4-окси-5-(п-алкоксибензил)пиримидина. Смесь нагревают на водяной бане с обратным холодильником 10—12 часов. После отгонки избытка хлорокиси фосфора остаток выливают на мелко измельченный лед и оставляют на 1—2 дня в холодильнике до кристаллизации продукта. Полученные кристаллы отфильтровывают, хорошо промывают водой и высушивают на воздухе (табл. 2).

2,6-Диметил-4-метокси-5-(п-алкоксибензил)пиримидины (III). Смесь раствора метилата натрия [2,3 г (0,01 г-ат) натрия, 30 мл метанола] и 0,01 моля 2,6-диметил-4-хлор-5-(п-алкоксибензил)пиримидина нагревают 1 час на водяной бане. Образовавшийся осадок хлористого натрия отфильтровывают, отгоняют растворитель, к остатку прибавляют воду и экстрагируют эфиром. Эфирные экстракты высушивают над безводным сульфатом натрия. После отгонки эфира остаток перегоняют в вакууме (табл. 3).

Таблица 2

| E TE                              |            |                     | 100           |  | Анали   |       |
|-----------------------------------|------------|---------------------|---------------|--|---------|-------|
| R                                 | Выход. 0/0 | Т. кип.,<br>°C/1 мм | Т. пл.,<br>°C | Молекулярная<br>формула                            | найдено | лено  |
| CH,                               | 85,6       |                     | 95-96         | C14H15CIN2O  | 13,81   | 13,49 |
| C <sub>3</sub> H <sub>5</sub>     | 90,5       | -                   | 89-90         | C15H17CIN2O  | 12,85   | 12,81 |
| C <sub>3</sub> H <sub>4</sub>     | 93,3       |                     | 78—79         | C <sub>16</sub> H <sub>19</sub> CIN <sub>2</sub> O | 12,54   | 12,19 |
| изо-С <sub>3</sub> Н <sub>7</sub> | 87,4       | 184-185             | 90-92         | C <sub>18</sub> H <sub>19</sub> CIN <sub>2</sub> O | 13,92   | 12,19 |
| C <sub>4</sub> H <sub>9</sub>     | 75,0       | 190-192             | 40-41         | C17H21CIN2O  | 11,43   | 11,63 |
| изо-С4Н,                          | 89,5       | -                   | 110-111       | C <sub>17</sub> H <sub>21</sub> CIN <sub>2</sub> O | 11,83   | 11,63 |

Таблица 3

|                                   |            |                     |               |      | 00000   | A       | н а    | лн   | 3,     | °/0     |       |
|-----------------------------------|------------|---------------------|---------------|------|---|---------|--------|------|--------|---------|-------|
| R                                 | Выход. 0/0 | Т. кип.,<br>°C/1 мм | Т. пл.,<br>°С | Rf   | Молекулярная<br>формула                                       | найдено | вычнс- | 0    | вычис- | найдено | лено  |
| СН                                | 56,5       | 145—147             | _             | 0,51 | C <sub>15</sub> H <sub>18</sub> N <sub>2</sub> O <sub>2</sub> | 69,60   | 69,74  | 6,92 | 7,02   | 11,01   | 10.85 |
| C <sub>2</sub> H <sub>8</sub>     | 53,2       | 152—155             | 51—52         | 0,55 |   |         | 70,56  |      |        |         |       |
| C <sub>3</sub> H <sub>7</sub>     | 60,0       | 166-168             | 45-46         | 0,58 | C17H,2N2O2  | 71,50   | 71,29  | 7,40 | 7,74   | 9,70    | 9,77  |
| изо-С <sub>3</sub> Н <sub>7</sub> | 62,9       | 157—158             | 65—66         | 0,59 | C17H22N2O2  | 71,00   | 71,29  | 7,33 | 7,74   | 9,70    | 9,77  |
| C <sub>4</sub> H <sub>e</sub>     | 57,5       | 175—180             | 47—48         | 0,60 | C18H24N2O2  | 71,56   | 71,96  | 8,01 | 8,05   | 8,95    | 9,32  |
| uso-C <sub>4</sub> H <sub>9</sub> | 58,7       | 176—178             | 42-43         | 0,65 | C <sub>18</sub> H <sub>24</sub> N <sub>2</sub> O <sub>2</sub> | 72,32   | 71,96  | 8,06 | 3,05   | 9,35    | 9,32  |

#### ՊԻՐԻՄԻԴԻՆԻ ԱԾԱՆՑՑԱԼՆԵՐ

XIV. 2,6–ԴԻՄԵԹԻԼ–4–ዐՔՍԻ–5–(պ–ԱԼԿՕՔՍԻԲԵՆԶԻԼ) ՊԻՐԻՄԻԴԻՆՆԵՐԻ ՍԻՆԹԵԶ ԵՎ ՆՐԱՆՑ ՄԻ ՔԱՆԻ ՌԵԱԿՑԻԱՆԵՐ

v. v. 4ruvbr L 2. u. zurnsut

Luhnhnid

Շարուսակելով հետազոտությունները պիրիմիդինի ածանցյալների բնագավառում, պ-ալկօքսիրենզիլացետոքացախաթթվի Էսթերների և ացետամիդինի հիդրոքլորիդի փոխազդեցությամբ նատրիումի մեթիլատի ներկայութելամբ սինթեղել ենք 2,6-դիմեթիլ-4-օքսի-6-(պ-ալկօքսիրենզիլ)պիրիմիդին-ներ։ Վերջիններս ֆոսֆորի օքսիքլորիդի ավելցուկի հետ տաքացնելիս ջրային բաղնիքի վրա փոխարկվել են 85—90° նեքերով համապատասխան 4-քլոր-աժանցլալների։ 4-Քլորպիրիմիդինների և նատրիումի մեթիլատի փոխազդեցութից մեթանոլի միջավալրում սինթեղել ենք 2,6-դիմեթիլ-4-մեթօքսի--6-(պ-ալկօքսիբենզիլ)պիրիմիդիններ, որոնք թորվելուց հետո բլուրեղանում են,

#### ЛИТЕРАТУРА

1. А. А. Ароян, М. С. Крамер, Арм. хим. ж., 20, 218 (1967); А. А. Ароян, М. А. Калдрикян, Р. А. Мелик-Оганджанян, там же, 20, 61 (1967)

\* F 96 17 109 F 4

CAMBREC & BUT OFFI

Court & more action

- 2. H. M. Foster, H. R. Snyder, J. Am. Chem. Soc., 76, 121 (1954).
- 3. Л. В. Гюльбудагян, Р. В. Карапетян, Изв. АН АрмССР, ХН, 12, 145 (1959).
- 4. А. В. Докс, "Синтезы органических препаратов", Сб. I, 1949, стр. 66.

# 2 Ц 3 Ч Ц Ч Ц Ъ Р Г Р Ц Ч Ц Ъ Ц Г П Ц Ч Р Р АРМЯНСКИЯ ХИМИЧЕСКИЯ ЖУРНАЛ

XXIII, № 1, 1970

УДК 547'128

# СИНТЕЗ а, ω-ДИ (АЦИЛОКСИ) ПОЛИОРГАНОСИЛОКСАНОВ

М. О. МЕЛИКЯН, Д. А. ТЕРГАЗАРОВА и М. М. ВАРТАНЯН Институт общей и неорганической химии АН Армянской ССР Поступило 29 IV 1969

С помощью реакции теломеризации из полиорганоциклосилоксанов и ангидридов одноосновных органических кислот в присутствии катализаторов ( $ZnCl_2$  или  $HClO_4$ ) и в их отсутствии синтезированы и охарактеризованы  $\alpha, \omega$ -ди(ацилокси)гексавтилтрисилоксаны,  $\alpha, \omega$ -ди(ацетокси)триметилтриэтил- и  $\alpha, \omega$ -ди(ацетокси)триэтилтрипро-

Табл. 1, библ. ссылок 8.

Среди способов получения полиорганосилоксановых полимеров за последние годы особое значение приобретает метод гетерогенной поликонденсации.

Этот способ дает широкие возможности, сочетая в полимерной цепи различные силоксановые звенья, получать полиорганосилоксановые полимеры с заданной структурой и, кроме того, сочетая полиорганосилоксановые цепи с чисто органическими, т. е. углеродными цепями, получать смешанные кремнийорганические—органические полимеры, к которым в последнее время со стороны исследователей проявляется все больший интерес, поскольку они сочетают в себе свойства кремнийорганических и органических полимеров: высокую теплостойкость, свойственную кремнийорганическим полимерам, хорошие пластичные, адгезионные и механические свойства, присущие органическим волимерам.

В виду того, что для гетерогенной поликонденсации важное значение приобретает синтез полиорганосилоксанов с концевыми функциональными группами, способными вызвать реакции конденсации, нам представлялись интересными исследования в области синтеза таких полиорганосилоксанов [1].

Настоящая работа посвящена получению полиорганосилоксанов с концевыми ацетокси- и другими ацилокси-группами.

Хотя первый ацетоксисилан—тетраацетоксисилан получен еще в 1881 г. Ладебургом из четыреххлористого кремния и уксусной кислоты, только в 1947 г. начинают разрабатываться различные методы получения мономерных ацетоксисиланов, из которых наиболее удобными являются методы, основанные на взаимодействии галоидопроизводных силанов с кислотами, их солями или ангидридами [2]. Что касается получения ацетоксиполиорганосилоксанов, то такие работы начинают появляться в виде отдельных патентных описаний примерно с 1960 г. [3]. Согласно этим описаниям ацетоксиполиорганосилоксаны выделены не в чистом виде, а в виде смесей, полученных путем конденсации различных смесей полиорганосилоксанов с концевыми гидроксильными группами с мономерными ацетоксисиланами.

Из известных способов, относящихся к получению α,ω-диацетоксиполи органосилоксанов из циклосилоксанов и ангидрядов кислот имелись только две работы [4, 5] в которых описывается получение а, о-диацетоксиполиметилсилоксанов взаимодействием октаметилциклотетрасилоксана с избытком уксусного ангидрида в присутствии серной кислоты [4] или хлорного железа [5] в качестве катализатора. В обоих случаях с небольшими выходами образуются смеси олигомеров.

Нами предложены способы получения α, ω-ди (ацилокси) полиорганосилоксанов теломеризацией полиорганоциклосилоксанов с ангидридами одноосновных органических кислот (мольное соотношение 1:1) как в присутствии катализатора (ZnCl<sub>2</sub> или HClO<sub>4</sub>), так и в его отсутствии, согласно следующей схеме:

$$\begin{array}{c|c} C_2H_5 \\ R \end{array} \xrightarrow[]{I} \begin{array}{c} H_5O \\ -HCI \end{array} \qquad \begin{bmatrix} C_2H_5 \\ SI-O - \\ \vdots \\ R \end{bmatrix}_3 \qquad \begin{array}{c} R'-CO \\ R'-CO \end{array} \qquad R'COO \begin{bmatrix} C_2H_5 \\ \vdots \\ SI-O - \\ \vdots \\ R \end{bmatrix}_3 COR'$$

1. 
$$R = C_2H_5$$
,  $R' = CH_2$ ; 2.  $R = CH_3$ ,  $R' = CH_3$ ; 3.  $R = C_3H_7$ ,  $R' = CH_3$ ; 4.  $R = C_2H_5$ ,  $R' = C_2H_5$ ; 5.  $R = C_2H_5$ ,  $R' = C_3H_7$ ; 6.  $R = C_2H_5$ ,  $R' = C_4H_9$ ; 7.  $R = C_2H_5$ ;  $R' = C_5H_{11}$ .

В отсутствии катализатора (способ A) реакция велась при 250° в запаянных стеклянных ампулах. В присутствии ZnCl<sub>2</sub> (способ Б)—при 100°, а в присутствии HClO<sub>4</sub> (способ В)—при комнатной температуре.

В 1966 г. по предложенному нами методу были получены и охарактеризованы а, ω-ди(ацилокси)полиорганосилоксаны. Полученные данные не публиковались, так как нами были представлены заявки на авторские свидетельства. Вопрос об авторских свидетельствах находился в процессе разрешения, когда в литературе появилось сообщение [6] о получении олигомеров полиметилацетоксисилоксанов взаимодействием октаметилциклотетрасилоксана с уксусным ангидридом в отсутствии катализатора и в присутствии ZnCl<sub>2</sub> и FeCl<sub>3</sub>.

#### Экспериментальная часть

Исходные полиорганоциклосилоксаны II получены гидролизом соответствующих диалкилдихлорсиланов I по описанной в литературе методике [7, 8]. Этилметил- и этилпропилдихлорсиланы получены с помощью реакции Гриньяра из этилтрихлорсилана.

а, w-ди(Ацилокси) полиорганосилоксаны (III). Метод А. Смесь 0,1 моля гексаалкилциклотрисилоксана II и 0,1 моля ангидрида одноосновной карбоновой кислоты нагревалась в запаянной стеклянной ампуле при 250° 5 часов. После отгонки не вступивших в реакцию гексаалкилциклотрисилоксана и ангидрида кислоты продукт перегонялся в вакууме.

Метод Б. Перемешиваемая смесь 0,1 моля гексаалкилциклотрисилоксана II, 0,1 моля ангидрида одноосновной карбоновой кислоты и 0,74 г обезвоженного ZnCl₂ нагревалась с обратным холодильником при 100° 6 часов. После отгонки не вступивших в реакцию гексаалкилциклотрисилоксана и ангидрида кислоты продукт перегоняется в вакууме.

| Веще                          | IIF aur                        | - B                | 11 11 11 11 1   | 7 7    |                              | M       | R <sub>D</sub> |
|-------------------------------|--------------------------------|--------------------|---|--------|------------------------------|---------|----------------|
| R                             | R'                             | Т. кип.,<br>•С/мм  | Молекулярная<br>формула                                       | n20    | d <sub>4</sub> <sup>20</sup> | найдено | вычислено      |
| C <sub>2</sub> H <sub>3</sub> | CH <sub>3</sub>                | 114/1              | C <sub>6</sub> H <sub>34</sub> O <sub>4</sub> Si <sub>3</sub> | 1,4270 | 0,9920                       | 105,78  | 106,12         |
| CH <sub>3</sub>               | CH <sub>3</sub>                | 87-90/0,5          | C13H30O4SI3   | 1,4145 | 0,9881                       | 92,80   | 92,23          |
| C <sub>3</sub> H <sub>7</sub> | CH,                            | 138-139/0,5        | C10H42O4SI2   | 1,4311 | 0,9706                       | 120,23  | 120,01         |
| C <sub>2</sub> H <sub>8</sub> | C,H,                           | 127/0,1            | C18H40O6SI3   | 1,4300 | 0,9812                       | 114,99  | 115,38         |
| C <sub>2</sub> H <sub>5</sub> | C <sub>3</sub> H <sub>7</sub>  | 177—180/2          | C20H44O6SI3   | 1,4318 | 0,9698                       | 124,27  | 124,64         |
| CaHs                          | C.H.                           | 161/0,5            | C22H48O4SI3   | 1,4339 | 0,9603                       | 133,60  | 133,90         |
| C <sub>2</sub> H <sub>5</sub> | C <sub>8</sub> H <sub>11</sub> | 1 <b>9</b> 0—192/1 | C24H52O4S13   | 1,4362 | 0,9531                       | 142,99  | 143,16         |
| -                             | -51                            | 14191              |   |        |                              | 1       |                |

| Вы     | ход, ⁰/ | 0      | 33      | Анали 3, % |         |           |         |               |         |               |  |  |
|--------|---------|--------|---------|------------|---------|-----------|---------|---------------|---------|---------------|--|--|
| V      | 9       | _      |         |            | ŀ       | i         | S       | 1             | R'-C    | 00-           |  |  |
| _      |         | 6 B    | НО      | 7.         | E G     | 1 75      | PH CH   | 1             | НО      | 4             |  |  |
| способ | способ  | способ | найдено | вычис      | напдено | лено      | пайдено | вычис<br>лено | найдено | вычис<br>лево |  |  |
| CII    | 5       | 5      | HS      | вычи       | Ha      | иено дено | =       | вычн<br>лено  | H       | иево          |  |  |
|        | 00.7    |        |         |            | 0.01    | 0.00      | 00 50   | 00.00         | 00 71   | 00 00         |  |  |
| 33,0   | 63,5    | 30,1   | 46,78   | 47,02      | 8,81    |           |         | 20,62         | 28,71   | 28,89         |  |  |
|        | 28,0    |        | 42,38   | 42,59      | 8,72    | 8,27      | 22,98   | 22,98         | _       | -             |  |  |
| 16,8   | 42,0    | _      | 50,59   | 50,62      | 9,41    | 9,39      | 18,25   | 18,69         | 25,83   | 26,19         |  |  |
| 22,4   | 44,8    | 21,5   | 49,63   | 49,49      | 9,29    | 9,23      | 19,38   | 19,29         | 33,73   | 33,45         |  |  |
| 14,0   | 45,4    | -      | 51,62   | 51,68      | 9,61    | 9,54      | 18,01   | 18,13         | -       | -             |  |  |
| 29,2   | 41,0    | -      | 53,14   | 53,61      | 9,75    | 9,82      | 16,55   | 17,10         | -       | -             |  |  |
| 20,6   | 46,8    |        | 55,30   | 55,33      | 10,21   | 10,06     | 15,70   | 16,18         |         | -             |  |  |
|        |         | 1      | -       |            |         |           | 1       |               |         | 243           |  |  |

Метод В. К смеси 0,1 моля гексаалкилциклотрисилоксана II и 0,1 моля ангидрида одноосновной кислоты при комнатной температуре прикапывалось 0,1 мл хлорной кислоты. При этом происходило моментальное исчезновение слоев и разогревание смеси. После удаления хлорной кислоты продувкой сухого азота и отгонки не вошедших в реакцию ангидрида и гексаалкилциклотрисилоксана продукт перегонялся в вакууме.

Выходы, некоторые физические константы и данные элементарного анализа а, о-ди (ацилокси) полиорганосилоксанов приведены в таблице.

# a,ա-ԳԻ(ԱՑԻԼՕՔՍԻ)ՊՈԼԻՕՐԳԱՆԱՍԻԼՕՔՍԱՆՆԵՐԻ ՍԻՆԹԵԶ

Մ. Հ. ՄԵԼԻՔՑԱՆ, Դ. Ա. ՏԵՐԳԱԶԱՐՈՎԱ և Մ. Մ. ՎԱՐԴԱՆՑԱՆ

### Udhahaid

οδοή) տանիսետրասիքօծոարդրենը ուսանուղը։ Ուր ի խանույենի արչիմենիմընին արեսդիկնանիանի արակնիանով α՝տ-մի( անիίորոր ի խանուրեն արչիմենին արևությունը։ Ուրանանի արդին անուրենը անուրենը և դեպես անինանությունը։

արիէ թիլ- և α,ա-դի(ացհաշջսի)արիէ թիլարիպրոպիլարիսիլօջսանների)-, α,ա-դի-(վրապրոնիլօջսի)-, α,ա-դի(րուտիրիլօջսանները, α,ա-դի(ացհաշջսի)-, α,ա-դի-(պրոպիոնիլօջսի)-, α,ա-դի(րուտիրիլօջսի)-, α,ա-դի(ացհաշջսի)-, α,ա-դի-(պրոպիոնիլօջսի)-, α,ա-դի-

#### ЛИТЕРАТУРА

- 1. К. А. Андрианов, В. В. Астахин, М. О. Меликян, Н. Г. Мушегян, В. К. Пыжов, ЖОХ, 35, 2020 (1965); 36, 1850 (1966); Арм. хим. ж., 21, 317 (1968).
- 2. З. В. Белякова, Усп. хим., 29, 809 (1960).
- 3. Пат. США, 3,032,532 [С. А., 57, 11236a (1962)]; 3,035,016 [С. А. 59, 15464g (1963)]; 3,077,465 [С. А., 58, 14275d (1963)]; 3,061,575 [С. А., 58, 11559b (1963)]; 3,105,061 [С. А., 60, 689c (1964)]; Франц. пат. 1,370,884 [С. А., 62, 720b (1965)].
- 4. Пат. США 2,910,496 (1959); [С. А., 54, 7561a (1960)].
- 5. Авт. свид. СССР 176, 893 (1966); [С. А., 64, 12723а (1966)].
- C. H. Bopucos, H. Γ. Csupudosa, J. Organometal. Chem. II (I), 27 (1968) [C. A., 68, 29773ν (1968)].
- 7. К. А. Андрианов, "Кремний органические соединения", Москва, Госхимиздат, 1955, стр. 345.
- 8. К. А. Андрианов, М. А. Сипягина, Т. А. Угарова, ЖОХ, 29, 4061 (1959).

XXIII, № 1, 1970

#### химическая технология

УДК 661.842+677.044.312:

# КАРБОНИЗАЦИЯ МЕТАСИЛИКАТА КАЛЬЦИЯ В ПЕННОМ АППАРАТЕ

II. АБСОРБЦИЯ УГЛЕКИСЛОГО ГАЗА ПУЛЬПОИ МЕТАСИЛИКАТА КАЛЬЦИЯ В ПЕННОМ РЕЖИМЕ

М. А. САФАРЯН и Р. С. ГАБРИЕЛЯН

Институт общей и неорганической химии АН Армянской ССР Поступило 20 IV 1969

Показано, что степень абсорбции углекислого газа при карбонизации пульпы метасиликата кальция в пенном режиме зависит от скорости и концентрации газа;  $\mathbf{X} \cdot \mathbf{T}$  пульпы метасиликата, содержания  $\mathbf{CO}_3^-$  иона в исходной пульпе, высоты слоя пены и температуры карбонизации.

Получены эмпирические формулы для расчета зависимости поглощения угле-

кислого газа от указанных факторов.

Рис. 6. библ. ссылок 9.

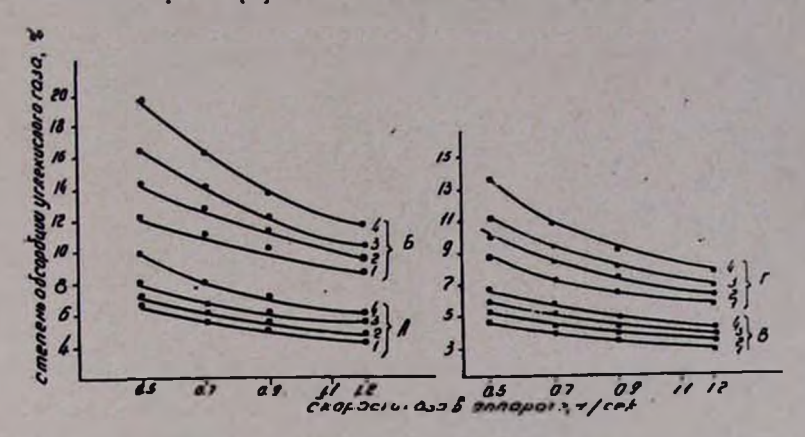
Целью работы явилось изучение процесса абсорбции углекислого газа пульпой метасиликата кальция в пенном режиме в зависимости от физико-химических и гидродинамических условий: концентрации углекислого газа в газовой фазе, Ж:Т пульпы метасиликата, температуры, линейной скорости газа в аппарате, содержания СО<sub>в</sub> иона в исходной пульпе (карбонизированный метасиликат кальция).

Ниже приводятся экспериментальные данные, характеризующие степень абсорбции углекислого газа пульпой метасиликата кальция в пенном режиме при различных условиях.

Опыты проводились в двухъярусном пенном аппарате с решетками: нижней со свободным сечением 3,64 и верхней— $9,64^{\circ}/_{\circ}$ . Высота яруса 150 мм (технологическую схему см. [1]).

Скорость газа. Для исследования влияния скорости газа в полном сечении аппарата на степень абсорбции углекислого газа были проведены опыты при разных скоростях и концентрациях газа, разных содержаниях СО<sub>3</sub> иона в исходной пульпе.

Время соприкосновения частичек метасиликата кальция с углекислотой должно иметь предел, который регулируется линейной скоростью газа [2]. Опыты показали, что повышение скорости газа при одинаковых условиях приводит к понижению степени его абсорбиниЭто объясняется тем, что время соприкосновения газовой и жидкой фаз уменьшается и плохая растворимость карбоната кальция и поверхность жидкой фазы замедляют диффузию поглощаемого углекислого газа из газовой фазы [3].



На рисунке 1 показана зависимость степени абсорбции углекислого газа от скорости газа при разных его концентрациях и разных содержаниях  $CO_3^-$  иона в исходной пульпе при  $50^\circ$  и  $\mathcal{K}: T=10:1$ . При повышении скорости газа при одинаковых условиях опыта (температура, концентрация газа и т. д.) степень абсорбции углекислого газа уменьшается.

На основании обработки опытных данных степень абсорбции углекислого газа при  $\mathcal{K}: T=10:1$ , температуре 50° и степени карбонизации исходной пульпы метасиликата кальция  $11,5^{\circ}/_{\circ}$  можно подсчитать по эмпирической формуле:

$$\eta = 32.7 (c\omega)^{-0.6}. \tag{1}$$

Ж:Т пульпы метасиликата кальция. Степень абсорбции углекислого газа зависит от Ж:Т карбонизируемой пульпы, так как при разных Ж:Т пульпы число активных частичек метасиликата кальция, реагирующих с углекислотой, разное. С повышением Ж:Т пенообразование улучшается, следовательно, соприкосновение фаз повышается, но соприкосновение частичек метасиликата уменьшается по сравнению с малым Ж:Т пульпы метасиликата.

Для исследования влияния  $\mathcal{H}: T$  пульпы на степень абсорбции углекислого газа были проведены опыты с разными  $\mathcal{H}: T$  карбонизируемой пульпы в интервале  $\mathcal{H}: T=10:1+3,26:1$ . Ниже  $\mathcal{H}: T=3,26$  пульпа не вспенивается. Опыты показали, что с понижением  $\mathcal{H}: T$  повышается степень абсорбции углекислоты.

На рисунке 2 показана зависимость степени абсорбции углекислого газа от Ж:Т карбонизированной пульпы метасиликата кальция при 50° и степени карбонизации исходной пульпы метасиликата кальция 11,5%. Обработка опытных данных показала, что степень абсорб-

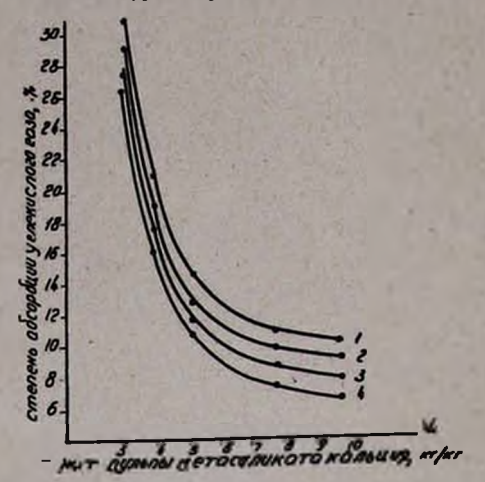


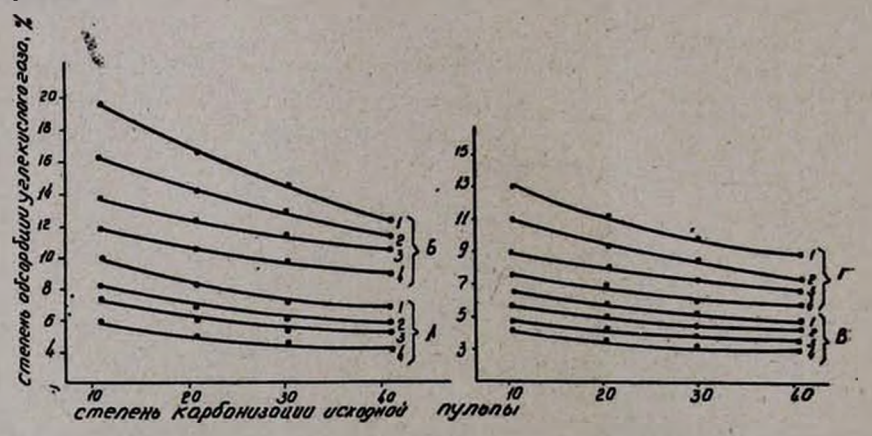
Рис. 2. Зависимость степени абсорбции углекислого газа от Ж т карбонизированной пульпы: 1, 2, 3, 4 — скорость газа в полном сечении аппарата соответственно 0,5, 0,7, 0,9, 1,2 м/сек.

ции углекислого газа при концентрации газа 15°,, температуре пульпы 50° и степени карбонизации исходной пульпы 11,5°, можно подсчитать по эмпирической формуле:

$$\eta = 820 \left(\frac{\mathcal{K}}{T}\right)^{-3,1} + 6.5 \omega^{-0.55}$$
. (2)

Содержание СО3 иона в исходной пульпе метасиликата кальция. Так как в карбонизированном метасиликате кальция содержатся также карбонат кальция и аморфный кремнезем, в единичном объеме химическая емкость тем ниже, чем выше содержание СО3 иона в исходной пульпе метасиликата кальция.

Зависимость степени абсорбции углекислого газа от степени карбонизации исходной пульпы при  $50^{\circ}$  и  $\mathcal{K}:T=10:1$  показана на рисунке 3.



Зависимость степени абсорбции углекислого газа от концентрации, линейной скорости газа и степени карбонизации исходной пульпы

рассчитывается по следующим эмпирическим формулам, выведенным на основании опытных данных [4, 5]: при концентрации газа  $c=10-15^{\circ}/_{\circ}$  и линейной скорости его  $\omega=0.5-0.9$  м/сек.

$$\eta = [66,92 - 2,444c - (37 - 0,85c) \,\omega] \cdot K^{(-0,0203c + 0,0463)\omega - (0,0122c - 0,263)}$$
(3)

при концентрации газа  $c=15-25^{\circ}/_{\circ}$  и линейной скорости его  $\omega==0.5-0.9$  м/сек.

$$\eta = [66,92-2,444c-(37-0.85c)\,\omega] \cdot K^{(0.0208c+0.0463)\omega+(1.04+0.0396c)} \tag{4}$$

при  $c = 10-15^{\circ}/_{\circ}$  и  $\omega = 0.9-1.2$  м/сек.

$$\eta = [42.8 - 1.88c - (19.4 - 1.14c) \,\omega] \cdot K^{(0.02c - 0.02)\omega + (0.255 - 0.012c)} \tag{5}$$

при  $c = 15-25^{\circ}/_{\circ}$  и  $\omega = 0.9-1.2$  м/сек.

$$\eta = [4,422c - 51,73 - (4,077c - 58,825\omega)] \cdot K^{(0,081c-1,205)\omega - (0,095c-1,2)}$$
 (6)

при  $c = 5^{\circ}/_{\circ}$  и  $\omega = 0.5 - 0.9$  м/сек.

$$\eta = (80, 1 - 64, 25\omega) \cdot K^{0.4125\omega - 0.571} \tag{7}$$

при  $c = 5^{\circ}/_{\circ}$  и  $\omega = 0.9 - 1.2$  м/сек

$$\eta = (24, 4 - 2, 33\omega) \cdot K^{-0, 1c - 0, 74}. \tag{8}$$

K— степень карбонизации исходной пульпы метасиликата кальция,  $^{0}/_{0}$ . Tемпература. Для исследования влияния температуры на степень абсорбции углекислого газа были проведены опыты в температурном интервале от 30 до 60°.

Обработка опытных данных показала, что с повышением температуры до 50° поглощение углекислоты пульпой метасиликата кальция при прочих равных условиях улучшается. Это связано с благоприятным влиянием температуры на скорость химической реакции и в некоторой мере с улучшением пенообразования. При дальнейшем повышении температуры до 60° значение степени карбонизации пульпы уменьшается [6, 7].

На рисунке 4 показана зависимость степени абсорбции углекислого газа от температуры системы при концентрации газа  $15^{\circ}/_{\circ}$  и степени карбонизации исходной пульпы  $11,5^{\circ}/_{\circ}$ .

Зависимость степени абсорбции углекислого газа от температуры и линейной скорости газа при степени карбонизации исходной пульпы  $11,5^{\circ}/_{\circ}$  и концентрации газа  $15^{\circ}/_{\circ}$  можно подсчитать по следующим формулам, которые применены в температурном интервале  $30-50^{\circ}$  для  $\mathcal{X}: T=3,26:1$ .

$$\eta = \frac{1}{0.073\omega^{0.485} - 0.007t\omega^{0.8}};\tag{9}$$

для Ж: Т = 5,19:1

$$\eta = \frac{1}{0,171\omega^{0,455} - 0,0164t\omega^{0,55}};\tag{10}$$

Армянский химический журнал, XXIII, 1-6

для Ж:Т = 10:1

$$\eta = \frac{7,21 - 3,32\omega}{1 - 10^{-2} t (\omega - 0,65\omega^2 + 0,5)}$$
 (11)

Концентрация газа. Количество углекислого газа, поглощенного пульпой метасиликата кальция, зависит от концентрации и содержания  $CO_3^-$  иона в исходной пульпе. Однако степень абсорбции газа при его высоких концентрациях уменьшается. Это подтверждается результатом опытов по карбонизации пульпы в разных концентрациях и объясняется замедленной диффузией в газовой и жидкой фазах в пульпе карбонатного иона [8, 9].

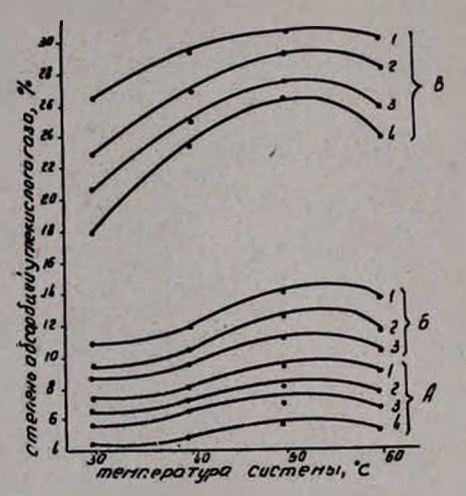


Рис. 4. Зависимость степени абсорбции углекислого газа от температуры системы: A, E, B — Ж:Т пульпы соответственно 10:1, 5,19:1, 3,26:1: 1, 2, 3, 4 — скорость газа соответственно 0,5, 0,7, 0,9, 1,2 м/сек.

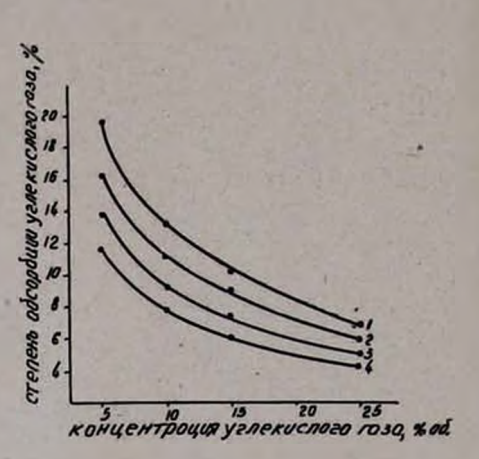


Рис. 5. Зависимость степени абсорбции углекислого газа от концентрации газа: 1, 2, 3, 4—скорость газа в полном сечении аппарата соответственно 0,5, 0,7, 0,9, 1,2 м/сек.

На рисунке 5 показана зависимость степени абсорбции углекислого газа от его концентрации.

Высота слоя пены. Абсорбция углекислого газа пульпой метасиликата кальция при данной скорости газа пропорциональна высоте слоя пены в исследованных пределах ее изменения. На рисунке 6 показана зависимость степени абсорбции углекислого газа от высоты слоя пены при  $50^{\circ}$ , концентрации газа  $15^{\circ}$ 0 и степени карбонизации исходной пульпы  $11,5^{\circ}$ 0.

Уравнение для расчета степени абсорбции углекислого газа в зависимости от высоты слоя пены (H) и скорости газа в полном сечении аппарата (ω) имеет следующий вид:

$$\eta = (19.3\omega + 6.35) H + 2.14\omega + 1.53.$$
 (12)

Как видно из рисунка 6, с увеличением высоты слоя пены степень абсорбции углекислого газа увеличивается. Значит о степени турбулизации пенного слоя в некоторой мере можно судить по его гидравлическому сопротивлению ( $\Delta p$ ). В свою очередь эта величина может служить ориентировочным критерием интенсивности работы аппарата.

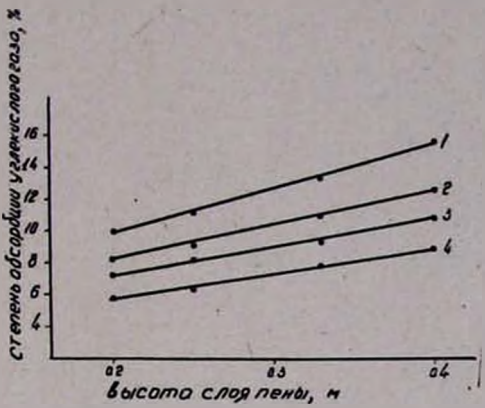


Рис. 6. Зависимость степени абсорбции углекислого газа от высоты слоя пены: 1, 2, 3, 4—скорость газа в полном сечении аппарата соответственно 0,5, 0,7, 0,9, 1,2 м/сек.

Это указывает на то, что степень абсорбции углекислого газа пульпой метасиликата кальция в пенном аппарате пропорциональна количеству энергии, затраченной на вспенивание пульпы метасиликата кальция.

# ԿԱԼՑԻՈՒՄԻ ՄԵՏԱՍԻԼԻԿԱՏԻ ԿԱՐԲՈՆԻԶԱՑԻԱՆ ՓՐՓՐԱՇԵՐՏՈՒՄ

U. U. UUSUPBUL L A. U. AUPPPBLBUL

# Цифпфпии

Կալցիումի մետասիլիկատի կարբոնիզացիալի ժամանակ ածխաթթվական գազի արսորբցիան կախված է մի շարք գործոններից՝ գազի արագությունը 0,5—1,2 Վ/վրկ մեծացման ժամանակ փոքրանում է ածխաթթիու գազի աբսորբցիան, ապարախլուսի Հ: Կ հարաբերության փոքրացման հետ մեծանում է գազի արսորբցիան, կալցիումի մետասիլիկատի կարբոնիզացիալի աստի-ճանի մեծացման հետ փոքրանում է գազի արսորբցիան։

Կարբոնիզացիալի պրոցեսի ջերմաստիճանը 30-ից 50°-ի բարձրացմամբ ավելանում է գազի աբսորբցումը, իսկ 50—60° բարձրացումը՝ իջեցնում է ալն, Գազի խտության մեծացումը փոքրացնում է կալցիումի մետասիլիկատի ապարախլուսի կողմից գազի աբսորբումը, Փրփրաշերտի բարձրության մեծացման հետ մեծանում է գազի աբսորբումը։

#### ЛИТЕРАТУРА

- 1. М. А. Сафарян, Р. С. Габриелян, Арм. хим. ж., 22, 1018 (1969).
- К. И. Шабалин. Трение между газом и жидкостью в технике абсорбционных процессов, Металлургиздат, Свердловск, 1943.
- В. А. Рамм, Абсорбционные процессы в химической промышленности, Госхимиздат, Москва—Ленинград, 1951.
- 4. К. П. Яковлев, Математическая обработка результатов измерений, Госхимиздат, Москва, 1953.
- 5. Л. М. Батунер, М. Е. Позин, Математические методы в химической технике, Госхимиздат, Ленинград, 1960.
- 6. М. Е. Позин, И. П. Мухленов, Э. Я. Тарат, Пенный способ обработки газов и жидкостей, Госхимиздат, Ленинграл, 1953.
- С. А. Богатых, Комплексная переработка воздуха в пенных аппаратах, Изд. Судостроение, Ленинград, 1964.
- 8. Е. И. Далматская, Тр. НИОХИМ, XV, стр. 75, 1963.1
- 9. Е. И. Далматская, ЖПХ, 10, 3 (1967).

XXIII, № 1, 1970

#### КРАТКИЕ СООБЩЕНИЯ

УДК 542.952.53+547.56

# АЛКИЛИРОВАНИЕ ФЕНОЛОВ И ИХ ЭФИРОВ ИЗОПРОПЕНИЛАЦЕТИЛЕНОВЫМИ СПИРТАМИ, ХЛОРИДАМИ И ДИВИНИЛКЕТОНАМИ

С. А. ВАРТАНЯН, С. К. ВАРДАПЕТЯН и Ш. О. БАДАНЯН

Институт органической химии АН Армянской ССР

Поступило 1 IV 1969

В течение последних лет нами систематически изучались реакции алкилирования фенолов и их эфиров полифункциональными соединениями, в частности, винилацетиленовыми спиртами [1], хлоридами [2], диеновыми хлоридами, хлорспиртами [3] и дивинилкетонами [4]. Было установлено, что в случае винилацетиленовых спиртов и хлоридов реакция протекает за счет гидроксильной группы и галогена. Углерод, связанный с галогеном или гидроксилом, является активным центром алкилирования фенолов и их эфиров и в случае диеновых дихлоридов и хлорспиртов. При алкилировании дивинилкетонами самым активным центром реакции является незамещенная винильная группа; по легкости алкилирования различно замещенные винильные группы располагаются в ряд:

$$CH_3=CH->-CH=CH->CH_3=C\langle >-CH=C\langle .$$

Картина не меняется и при переходе к β-алкоксикетонам. Табл. 2, библ. ссылок 5.

Нам казалось интересным выяснить ход реакции алкилирования фенолов и их эфиров изопропенилацетиленовыми спиртами и хлоридами для сопоставления и уточнения сравнительной легкости алкили-

рования дизамещенной (CH<sub>2</sub>=C() и тризамещенной (—CH=C—) винильными группами. Оказалось, что фенолы и их эфиры в присутствии фосфорной кислоты легко алкилируются изопропенилацетиленовыми спиртами или хлоридами I (X=OH, Cl), содержащими алифатические и алициклические заместители; при этом с удовлетворительными выходами получаются соответствующие винилацетиленовые фенолы и их эфиры II

$$R_1R_3C(X)C \equiv CC(CH_3) = CH_2 \longrightarrow R_1R_3CC \equiv CC(CH_3) = CH_2$$
.

Интересно было изучить алкилирование фенолов и их эфировненасыщенными кетонами III, где конкурирующими являются изо-

пропенильная ( $CH_3=CCH_3$ ) и изобутенильная [( $CH_3$ ) $_2C=CH-$ ] группировки. Выяснилось, что алкилирование в присутствии хлористого водорода и хлористого алюминия идет за счет изопропенильной группы с образованием ароматических кетонов IV; изобутенильная группа в этих условиях не способна к алкилированию.

$$R_1R_2C = CHCOC(CH_3) = CH_3 \longrightarrow R_1R_2C = CHCOCH(CH_3)CH_2 \bigcirc OR$$
III

Строение полученных соединеннй IV доказано спектральным анализом; в ИК спектрах найдены частоты при 1695-1699 и 1597-1600 см<sup>-1</sup> (карбонильная группа, сопряженная с двойной связью). Частоты, характерные для СН, в = CH<sub>2</sub> не обнаружены.

#### Экспериментальная часть

Алкилирование фенолов и их эфиров диалкилизопропенилацетиленовыми спиртами. К смеси 0,1 моля фенола и 5 мл фосфорной кислоты по каплям прибавлялось 0,1 моля диалкилизопропенилэтинилкарбинола. Реакционная смесь нагревалась в течение 30 часов при 60—70°, затем экстрагировалась эфиром, эфирный экстракт промывался 10%-ным раствором едкого натра для извлечения кислых продуктов. Щелочные вытяжки после подкисления разбавленной соляной кислотой экстрагировались эфиром; эфирные растворы высушивались сульфатом магния и после отгонки эфира остаток перегонялся в вакууме.

В случае фенолэфиров реакционный продукт не обрабатывался едким натром.

Константы полученных соединений приведены в таблице 1.

2,5-Диметил-2-n-метоксифенил-5-гексен-3-ин (II,  $R=R_1=R_2=CH_3$ , R'=H). К смеси 11,9 г (0,11 моля) анизола и 1 г хлористого алюминия при охлаждении льдом добавлялось по каплям 14,2 г (0,1 моля) диметилизопропенилэтинилхлорметана. Смесь перемешивалась про  $20^\circ$  в течение 2 часов, затем экстрагировалась эфиром, промывалась раствором поташа, сушилась сульфатом магния и после отгонки эфира разгонялась в вакууме. Получено 5,2 г (24,3%) 2,5-диметил-2-n-метоксифенил-5-гексен-3-ина.

2,5-Диметил-5-метоксифенил-1-гептен-3-ин (II, R=R'=CH<sub>3</sub>, R<sub>2</sub>=C<sub>2</sub>H<sub>5</sub>, R'=H). Из 11,9 г анизола и 15,4 г метилэтилизопропенил-этинилхлорметана в присутствии 1 г хлористого алюминия, выделено 5,5 г ( $24,1^{\circ}/_{0}$ ) 2,5-диметил-5-n-метоксифенил-1-гептен-3-ина.

Алкилирование эфиров фенола дивинилкетонами III. В колбу помещалось 0,05 моля фенолэфира, 0,05 моля хлористого алюминия и при охлаждении льдом и солью из капельной воронки в течение

|                                   |                 | 100             | 100                           | 0/0    |            | -                                     |                              |        | M       | MRD            |       | а л  | 11 3, 0/0 |       |
|-----------------------------------|-----------------|-----------------|-------------------------------|--------|------------|---------------------------------------|------------------------------|--------|---------|----------------|-------|------|-----------|-------|
| R                                 | R'              | R <sub>1</sub>  | R <sub>2</sub>                |        | Т. кип.,   | Молекулярная                          | n <sub>D</sub> <sup>20</sup> | d20    | F 0     | l L            | найд  | ено  | вычи      | слено |
| K                                 | R               | K <sub>1</sub>  | Κ2                            | Выход, | °С/мм      | формула                               | "D                           | -4     | найдено | вычис.<br>лено | С     | Н    | С         | Н     |
| н                                 | н               | СН              | СН3                           | 62,5   | 152—156/10 | C <sub>14</sub> H <sub>16</sub> O [5] | 1,5618                       | 1,0322 | 62,84   | 62,30          | 84,09 | 8,22 | 84,00     | 8,00  |
| CH <sub>3</sub>                   | H               | CH <sub>3</sub> | CH <sub>3</sub>               | 42,5   | 141—143/16 | C <sub>15</sub> H <sub>18</sub> O     | 1,5428                       | 0,9933 | 67,89   | 67,04          | 85,00 | 8,32 | 84,11     | 8,41  |
| Н                                 | Н               | CH <sub>3</sub> | C <sub>2</sub> H <sub>5</sub> | 41,1   | 140-141/3  | C <sub>15</sub> H <sub>18</sub> O     | 1,5578                       | 1,0205 | 67,61   | 66,92          | 83,93 | 8,35 | 84,11     | 8,41  |
| CH <sub>3</sub>                   | Н               | CH <sub>3</sub> | C <sub>2</sub> H <sub>5</sub> | 32,9   | 131—133/6  | C <sub>18</sub> H <sub>20</sub> O     | 1,5375                       | 0,9894 | 72,01   | 71,66          | 83,90 | 8,52 | 84,21     | 8,77  |
| н                                 | CH <sub>3</sub> | CH <sub>3</sub> | CH <sub>3</sub>               | 34,1   | 136—138/4  | C <sub>15</sub> H <sub>18</sub> O [5] | 1,5598                       | 1,0082 | 68,64   | 66,92          | 84,21 | 8,42 | 84,11     | 8,41  |
| изо-С <sub>3</sub> Н <sub>7</sub> | CH <sub>3</sub> | CH <sub>3</sub> | CH <sub>3</sub>               | 26,5   | 149-150/8  | C <sub>18</sub> H <sub>24</sub> O     | 1,5528                       | 0,9827 | 83,33   | 80,89          | 83,32 | 8,92 | 84,37     | 9,37  |
| C <sub>3</sub> H <sub>7</sub>     | CH <sub>3</sub> | CH <sub>3</sub> | C <sub>2</sub> H <sub>5</sub> | 26,1   | 150-152/6  | C19H26O                               | 1,5430                       | 0,9820 | 86,68   | 85,51          | 84,00 | 9,15 | 84,44     | 9,63  |
| Н                                 | Н               | пентах          | етилен                        | 60,4   | 177—178/5  | C17H20O                               | 1,5712                       |        |         |                | 84,94 | 8,40 | 85,00     | 8,33  |
| CH <sub>3</sub>                   | Н               | пентал          | етилен                        | 39,6   | 163—165/5  | C <sub>18</sub> H <sub>20</sub> O     | 1,5570                       | J -    | _       | _              | 85,13 | 9,03 | 85,04     | 8,66  |

20 минут по каплям прибавлялось 0,05 моля соогветствующего кетона с 0,1 моля газообразного хлористого водорода. Реакционная смесь перемешивалась при 20° в течение 1,5 часа, после чего содержимое колбы сливалось на ледяной раствор соляной кислоты. Выделившийся масляный слой отделялся, экстрагировался эфиром, промывался раствором поташа, водой, высушивался сульфатом магния и после отгонки эфира разгонялся в вакууме. Константы полученных кетонов приведены в таблице 2.

Таблица 2

|   | RC    | CH,      | CH(CH3)COC                | H=CK1K          | 3            |     |        |      |
|---|-------|----------|---------------------------|-----------------|--------------|-----|--------|------|
| ī | %     |          | - Williams                | = 1             | A            | нал | H 3, 0 | 0    |
| 1 |       | Т. кип., | Молекуляр-<br>ная формула | п <sup>20</sup> | найдено вычи |     |        | тено |
|   | Выход | "C/.w.w  |                           |                 | С            | н   | С      | н    |

| R                             | R <sub>1</sub> R <sub>2</sub> g Т. кип., Молекуляр- |                               | Молекуляр- | п <sup>20</sup> | найдено  |        | вычислено |      |       |      |
|-------------------------------|---|-------------------------------|------------|-----------------|--|--------|-----------|------|-------|------|
|                               | N <sub>1</sub>                                      |                               | Выход,     | °C/ww           | ная формула                                    | J. D   | С         | Н    | С     | н    |
| СН3                           | CH3   | CH <sub>3</sub>               | 37,0       | 151—152/3       | C15H20O2                                       | 1,5370 |           |      |       |      |
| C <sub>2</sub> H <sub>5</sub> | CH <sub>3</sub>                                     | CH <sub>3</sub>               | 29,2       | 160—161/3       |  | 1,5280 |           |      |       |      |
| CH3                           | CH3   | C <sub>2</sub> H <sub>5</sub> | 36,5       | 155—157/6       | C <sub>16</sub> H <sub>22</sub> O <sub>2</sub> | 1,5333 | 78,40     | 9,01 | 78,04 | 8,94 |

#### ЛИТЕРАТУРА

- 1. С. А. Вартанян, С. К. Вардапетян, Ш. О. Баданян, Изв. АН АрмССР, ХН, 13. 251 (1960); **XOX**, 32, 3188 (1962).
- 2. С. А. Вартанян, С. К. Вардапетян, Ш. О. Баданян, Изв. АН АрмССР, ХН. 18. 292 (1965).
- 3. С. А. Вартанян, С. К. Вардапетян, Ш. О. Баданян, Изв. АН АрмССР, ХН, 16, 507 (1963).
- 4. С. А. Вартанян, С. К. Вардапетян, Ш. О. Баданян, Изв. АН АрмССР, ХН, 19, 887 (1966); 20, 206 (1967).
- 5. И. Н. Назаров, А. И. Кахниашвили, ЖОХ, 22, 452 (1952); А. И. Кахниашвили. Д. Я. Бугианишвили. Р. Мачарадзе, Cooбщ. АН Груз. ССР, 37, 573 (1965).

XXIII, № 1, 1970

#### ПИСЬМА В РЕДАКЦИЮ

УДК 542.952.64+547.314.2

# ВЫДЕЛЕНИЕ ПРОДУКТА ВЗАИМОДЕЙСТВИЯ NiX<sub>2</sub> с Al (изо-С<sub>4</sub>H<sub>9</sub>)<sub>3</sub>—КАТАЛИЗАТОРА ПОЛИМЕРИЗАЦИИ АЦЕТИЛЕНА

Комплексные соединения, образуемые при взаимодействии NiX<sub>2</sub> и CoX<sub>2</sub> с Al(uso-C<sub>4</sub>H<sub>9</sub>)<sub>3</sub> в  $\pi$ -донорных растворителях, являются активными катализаторами полимеризации ацетилена.

С целью выявления механизма полимеризации выделены продукты взаимодействия  $Ni(C_5H_7O_2)_2$  с  $Al(uso-C_4H_9)_3$ . В качестве стабилизирующих лигандов применялись a,a'-дипиридил (ДП) и трифенилфосфин (ТФФ). Применялось соотношение  $Al(uso-C_4H_9)_3$ :  $NiX_2=3:1$ , соответствующее максимуму активности при полимеризации ацетилена.

$$Ni(C_5H_7O_2)_2 + Ai(i-C_4H_9)_3$$
 $Ni-(i-C_4H_9)_2$ 
 $Ni-(i-C_4H_9)_2$ 
 $P(C_6H_5)_3$ 
 $Ni-(i-C_4H_9)_2$ 
 $P(C_6H_5)_3$ 
 $II$ 

Соединения I и II, вопреки ожиданиям, некристаллические, что привело к дополнительным затруднениям при их выделении, очистке и дальнейшем обращении с ними. Это — черные аморфные продукты, исключительно чувствительные к воздуху. Хорошо растворяются в бензоле и толуоле, при температуре ниже —40° осаждаются из гексана, циклогексана и петролейного эфира в виде аморфных частичек. Комплексы неоднократно растворялись в толуоле и осаждались для освобождения от примесей. Все операции проводились при температуре ниже —40°. При более высокой температуре комплексы постепенно разлагаются с утратой алкильных групп.

На рисунке приведен состав газовой смеси, образовавшейся при термическом разложении комплекса l. После полного разложения состав остатка приближается к NiL<sub>2</sub>.

В ИК спектрах I и II содержатся полосы, характерные для координированного  $\alpha,\alpha'$ -дипиридильного (758, 1310, 1580  $cm^{-1}$ ), трифенилфосфинового (800, 1800  $cm^{-1}$ ) лигандов, а также изобутильной группы (1396, 1446, 1466 и 2985  $cm^{-1}$ ). Гидролиз и алкоголиз приводит к об-

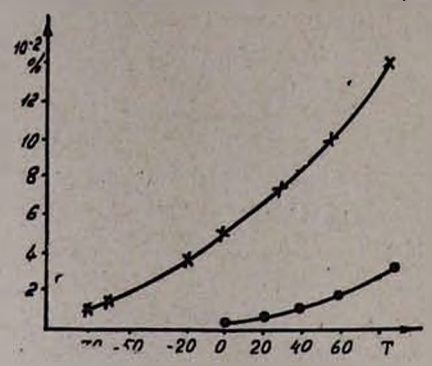


Рис. Зависимость состава газовой смеси при термическом разложении комплекса I от температуры: х—изобутан; 

— изобутилен.

разованию, в основном, изобутана (95%). Взаимодействие II с бензольным раствором йода дает смесь изобутана с изобутиленом в соотношении 10:1.

Приведенные данные согласуются со структурами I и II с о-связью никель—углерод.

Элементарный анализ полученных продуктов произвести невозможно, поскольку при полном удалении растворителя в глубоком вакууме комплексы постепенно разлагаются, теряя алкильные группы, превращаясь при этом в NiL<sub>3</sub>.

Оба комплекса I и II полимеризуют ацетилен, если последний пропустить в их толуольные растворы, однако, скорость полимеризации ниже, по сравнению с системой  $NiX_2 \cdot AlR_3$  в толуоле без упомянутых лигандов.

Г. А. ЧУХАДЖЯН, Ж. И. АБРАМЯН, Г. А. ГЕВОРКЯН.

Всесоюзный научно-исследовательский и проектный институт полимерных продуктов

Поступило 20 VIII 1969

# 2 Ц 3 Ч Ц Ч Ц Ъ Ұ Р Г Р Ц Ч Ц Ъ Ц Г И Ц Р Р Г АРМЯНСКИЯ ХИМИЧЕСКИЯ ЖУРНАЛ

XXIII, № 1, 1970

# АННОТАЦИИ И РЕФЕРАТЫ СТАТЕЙ, ДЕПОНИРОВАННЫХ В ВИНИТИ

УДК 543.544+546.719+546.77+546.78+548.881

# ТОНКОСЛОЙНАЯ ХРОМАТОГРАФИЯ РЕДКИХ ЭЛЕМЕНТОВ

VI. ИДЕНТИФИКАЦИЯ И РАЗДЕЛЕНИЕ РЕНИЯ (VII), МОЛИБДЕНА (VI). ВАНАДИЯ (V) И ВОЛЬФРАМА (VI) В СПИРТОВЫХ И ПОДКИСЛЕННЫХ РАСТВОРАХ НЕКОТОРЫХ КЕТОНОВ. КОЛИЧЕСТВЕННОЕ ОПРЕДЕЛЕНИЕ РЕНИЯ

#### Д. С. ГАМБАКЯН

Ереванский государственный университет

Для изучения разделения и идентификации редких элементов—рения, молибдена, ванадия и вольфрама—исследовали применение серии растворов, состоящих из ацетона и воды с различными объемными отношениями.

При применении ацетона в качестве подвижной фазы на слое окиси алюминия перемещается только ион рения ( $R_f = 0.25$ ). Добавление воды резко увеличивает значение его  $R_f$ . Независимо от количества воды  $R_f$  рения имеет максимальное значение ( $\approx 0.97$ ). При объемном отношении ацетон—вода, начиная от 1:3, молибден также перемещается со стартовой линии, а ионы ванадия и вольфрама остаются на месте нанесения капли. В дистиллированной воде пятна ионов рения и молибдена разделяются; значения  $R_f$  их ионов составляют соответственно 0.95 и 0.56.

Измеряли величины  $R_t$  изучаемых нами ионов, применяя в качестве подвижной фазы растворы ацетона в смеси с некоторыми одноатомными алифатическими спиртами: метиловым, этиловым, пропиловым и бутиловым. Выяснилось, что прибавление ацетона к пропиловому и бутиловому спиртам увеличивает  $R_t$  ионов рения, величина которого тем выше, чем выше содержание ацетона в составе подвижной фазы.

Добавление муравьиной, уксусной или масляной кислот увеличивает  $R_f$  ионов рения. Чем сильнее кислота, тем больше увеличивается  $R_f$ , а с увеличением количества кислоты снижается; одновременно пятно ионов рения приобратает сильно вытянутую форму; оно имеет нормальную форму только в растворе ацетон-муравьиная кислота.

Исследовали влияние природы кетона на форму и величину R<sub>1</sub> пятен ионов в растворах, содержащих уксусную и соляную кислоты.

Добавление уксусной кислоты к ацетону, метилэтилкетону, циклогексанону и ацетофенону резко увеличивает величину  $R_1$  ионов, а добавление раствора соляной кислоты увеличивает одновременно значения  $R_1$  ионов рения, молибдена и ванадия. Для перемещения ионов вольфрама в случае ацетона требуется 25 мл, а в случае метилэтилкетона — 50 мл концентрированной соляной кислоты в 100 мл смеси.

Таким образом, в сильнокислых кетонсодержащих растворах можно идентифицировать ионы рения, молибдена (или ванадия) и вольфрама.

С целью количественного определения рения на слое окиси алюминия была применена подвижная фаза, состоящая из бутанола—ацетона—NH<sub>4</sub>OH (9:8:3).

В основу количественного метода было положено измерение общей поверхности пятна — умножением наибольшей длины пятна на наибольшую его ширину.

На стартовой линии слоя окиси алюминия на расстоянии 2,0 см друг от друга наносили точно измеренные объемы (4 мкл) стандартного раствора рения, содержащего 0,1; 0,2; 0,4; 1,0; 2,0; 3,0 и 4,0 мкг этого элемента.

После хроматографирования и проявления зон измерялась площадь пятен, а затем строилась калибровочная кривая.

Площади пятен в интервале 0,4-4,0 мкг являются линейной функцией от концентрации рения. Определяемый минимум равен 0,2 мкг, относительная ошибка —  $8-10^{\circ}/_{\circ}$ . Ионы молибдена, ванадия и вольфрама в условиях опыта определению рения не мешают.

Полный текст статьи депонирован в ВИНИТИ.

Рис. 5, табл. 2, библ. ссылок 3.

Регистрационный номер-1163-69 Деп.

Поступило 28 V 1968

XXIII, № 1, 1970

УДК 543.544+546.719+546.77+546.78+548.881

# ТОНКОСЛОЙНАЯ ХРОМАТОГРАФИЯ РЕДКИХ ЭЛЕМЕНТОВ

VII. ИДЕНТИФИКАЦИЯ И РАЗДЕЛЕНИЕ РЕНИЯ (VII), МОЛИБДЕНА (VI), ВАНАДИЯ (V) И ВОЛЬФРАМА (VI) В АММИАЧНЫХ РАСТВОРАХ НЕКОТОРЫХ СПИРТОВ И КЕТОНОВ. КОЛИЧЕСТВЕННОЕ ОПРЕДЕЛЕНИЕ РЕНИЯ

#### Д. С. ГАЙБАКЯН

Ереванский государственный университет

Целью настоящей работы является идентификация и разделение ионов редких элементов рения, молибдена, ванадия и вольфрама, а также исследование возможности количественного определения рения с применением в качестве подвижной фазы спиртов, кетонов и других органических растворителей, содержащих аммиак.

В качестве подвижных фаз применяли растворы, полученные путем разбавления концентрированного раствора аммиака водой. Выяснилось, что при всех концентрациях раствора аммиака R<sub>1</sub> ионов рения и молибдена имеет высокое значение, однако в очень разбавленных растворах R<sub>1</sub> ионов молибдена снижается.

В метиловом, этиловом и пропиловом спиртах при отсутствии раствора аммиака значение  $R_f$  ионов рения составляет 0,26, 0,28 и 0,08, соответственно. Добавление раствора аммиака к указанным спиртам увеличивает величину  $R_f$  ионов рения. Для перемещения же ионов молибдена требуется относительно высокая концентрация щелочи, т. е. больше 25 мл NH<sub>4</sub>OH в 100 мл смеси. Чем больше молекулярный вес спирта, тем медленнее увеличивается значение  $R_f$  ионов рения и молибдена в присутствии аммиака. В подвижной фазе спирт—NH<sub>4</sub>OH ионы ванадия и вольфрама остаются на стартовой линии.

В отсутствии раствора аммиака при применении в качестве подвижной фазы смеси двух спиртов — метиловый — бутиловый и метиловый — пропиловый на слое окиси алюминия перемещается только рений.

Увеличение количества метанола в смеси увеличивает  $R_f$  рения, а увеличение бутанола уменьшает его. Добавление аммиака также увеличивает  $R_f$  ионов рения. Для перемещения молибдена в растворителях, содержащих смеси двух спиртов, требуется наличие больше 25 мл раствора аммиака в 100 мл смеси.

Измеряли также величины  $R_f$  ионов в системах растворителей кетон— $NH_4OH$ , а также тройной системы спирт—кетон— $NH_4OH$ . Оказалось, что добавление раствора аммиака к ацетону увеличивает значение  $R_f$  ионов рения. При объемном отношении ацетон— $NH_4OH$ , равном 1:1, со стартовой линии перемещаются также и ионы молибдена.

В качестве подвижной фазы для количественного определения рения на слое окиси алюминия пригодными оказались смеси: бутанол—метанол—NH<sub>4</sub>OH (3:1:1) и пропанол—NH<sub>4</sub>OH (3:1).

На стартовой линии слоя окиси алюминия на расстоянии 2,0 см друг от друга наносили точно измененные объемы (4 мкл) стандартного раствора рения, содержащего 0,1; 0,2; 0,4; 1,0; 2,0; 3,0 и 4,0 мкг этого элемента. После хроматографирования и проявления хроматограммы измеряли площади пятен путем умножения наибольшей длины пятна на наибольшую его ширину.

Площади пятен в интервале 0.4-4.0 мкг являются линейной функцией от концентрации рения. Определяемый минимум равен 0.2 мкг, относительная ошибка определения —  $8-10^{\circ}/_{\circ}$ . Ионы молибдена, ванадия и вольфрама в условиях опыта определению рения не мешают.

Полный текст статьи депонирован в ВИНИТИ.

Рис. 2, табл. 3, библ. ссылок 5.

Регистрационный номер-1164-69 Деп.

Поступило 20 VI 1968

# СОКРАЩЕНИЯ НАЗВАНИЙ ХИМИЧЕСКИХ ЖУРНАЛОВ И СПРАВОЧНИКОВ

Агрохимия Азербайджанский химический журнал Армянский химический журнал Биохимия Бюллетень изобретений Высокомолекулярные соединения Доклады Академии наук СССР Доклады Академий наук союзных республик, например, Армянской ССР Журнал аналитической химии Журнал Всесоюзного химического общества им. Д. И. Менделеева Журнал неорганической химии Журнал общей химии Журнал органической химии Журнал прикладной химии Журнал Русского физико-химического общества Журнал Русского химического общества Журнал структурной химии Журнал физической химии Журнал химической промышленности Заводская лаборатория Известия Академии наук СССР, Отделение химических наук Известия Академии наук СССР, серия химических наук Известия Академий наук союзных республик, например, Армянской ССР, серия химических наук Известия высшей школы Кинетика и катализ Коллоидный журнал Нефтехимия Промышленность неорганической химии Промышленность органической химии

Успехи химин

Химическая промышленность

Химия природных соединений

Химия гетероциклических соединений

Реферативный журнал "Химия" Сборник "Органические реакции" Синтезы гетероциклических соединений Синтезы органических препаратов Словарь органических соединений Синтетический каучук Теоретическая и экспериментальная химия Узбекский химический журнал Украинский химический журнал Ученые записки государственных университетов, например, Московского Химико-фармацевтический журнал Химическая наука и промышленность

Азерб. хим. ж. Арм. хим. ж. Биохимия Бюлл. изобрет. Высокомол. соед. ЛАН СССР

ДАН АрмССР ЖАХ

жвхо жнх жох ХоОЖ жпх ЖРФХО жрхо жсх ЖФХ Ж. хим. пром. Зав. лаб.

Изв. АН СССР, ОХН Изв. АН СССР, ХН

Изв. АН АрмСССР, ХН Изв. ВШ Кин. и кат. Колл. ж. Нефтехим. Пром. неорг. жим. Пром. орг. хим. РЖХ Орг. реакции Синт. гетер. соед. Синт. орг. преп. Словарь орг. соед. Синт. кауч. ТЭХ Узб. хим. ж. Укр. хим. ж. Усп. хим.

Уч. зап. МГУ Хим.-фарм. ж. Хим. наука и пром. Хим. пром. XCC ХПС

Acta Chemica Scandinavica Acta Chimica Sinica American Chemical Journal

Analytical Chemistry
Angewandte Chemie

Annales de chimie (Paris) Annali di chimica (Rome)

Australian Journal of Chemistry

Beilstein's Handbuch der organischen Chemie Berichte der deutschen chemischen Gesellschaft

Biochemical Journal Biochemische Zeitschrift

Bulletin des sociétés chimiques Beiges Bulletin de la société chimique de France Bulletin of the Chemical Society of Japan

Canadian Journal of Chemistry

Chemical Abstracts Chemical Reviews Chemicke Listy Chemicke Zvesti

Chemicker Zeitung Chemisch Weekblad

Chemische Berichte Chemisches Zentralbiatt

Collection of the Czechoslovak Chemical Communications

Comptes rendus hebdomadaires des seances de l'Academie des Sciences

Gazzetta chimica Italiana

Gmelin's Handbuch der anorganischen Chemie

Helvetica Chimica Acta Indian Journal of Chemistry

Industrial and Engineering Chemistry

Journal of the American Chemical Society

Journal of Biological Chemistry Journal of Chemical Education

Journal of Chemical Physics Journal de chimie physique

Journal of the Chemical Society (London)

Journal of the Electrochemical Society Journal of the Heterocyclic Chemistry

Journal of the Indian Chemical Society

Journal of Inorganic and Nuclear Chemistry

Journal of Medicinal Chemistry Journal of Molecular Biology Journal of Organic Chemistry

Journal of Organometallic Chemistry

Journal of Physical Chemistry Journal of Polymer Science Journal für praktische Chemie

Justus Liebigs Annalen der Chemie

Kogyo Kagaku Zasshi (Journal of the Chemical Society of Japan, Industrial Chemistry Section)

Landolt-Börnstein Tabeilen Makromolekulare Chemie

Acta Chem. Scand.
Acta Chim. Sin.
Am. Chem. J.
Anal. Chem.
Angew. Chem.
Ann. chim.
Ann. chim. (Rome)

Ann. chim. (Rome) Austral. J. Chem.

Beilst. Ber. Biochem. J. Biochem. Z.

Buil. soc. chim. Belg. Buil. soc. chim. Prance Buil. Chem. Soc. Japan

Can. J. Chem.

C. A.
Chem. Rev.
Chem. Listy
Chem. Zvesti
Chem. Ztg.
Chem. Weekbi.
Chem. Ber.

Coll.

C. r. Gazz. chim. ital. Gm. Handb. Helv. Chim. Acta

Indian J. Chem.

Ind. Eng. Chem. J. Am. Chem. Soc.

J. Am. Chem. Soc J. Biol. Chem.

J. Chem. Educ.

J. Chem. Phys.

J. chim. phys. J. Chem. Soc.

J. Electrochem. Soc.

J. Heterocycl. Chem.

J. Indian Chem. Soc.

J. lnorg. Nucl. Chem.

J. Med. Chem. J. Mol. Biol.

J. Org. Chem.

J. Organomet. Chem.

J. Phys. Chem. J. Pol. Sci.

J. pr. Chem. Lieb. Ann.

Kogyo Kagaku Zasshi L.-B. T. Makromol, Chem.

Monatshefte für Chemie Nature (London) Naturwissenschaften Nippon Kagaku Zasshi (Journal of the Chemical Soclety of Japan, Pure Chemistry Section) Proceedings of Chemical Society Proceedings of the Royal Society (London) Quarterly Reviews (London) Recueil des travaux chimiques des Pays-Bas Revista de Chimie (Bucharest) Roczniki Chemii Tetrahedron Tetrahedron Letters Transactions of the Faraday Society Zeitschrift für analytische Chemie "Fresenius" Zeitschrift für anorganische und allgemeine Chemie Zeitschrift für Elektrochemie Zeitschrift für Naturforshung Zeitschrift für physikalische Chemie (Frankfurt) Zeitschrift für physikalische Chemie (Leipzig) Zeitschrift für physiologische Chemie, Hoppe-Seylers Z. physiol. Chem. Jakugaku Zasshi (Journal of the Pharmaceutical Society of Japan)

Monatsh. Nature Naturwiss.

Nippon Kagaku Zasshi Proc. Chem. Soc. Proc. Roy. Soc. Quart. Rev. Rec. trav. chim. Rev. Chim. Roczn. chem. Tetrah. Tetrah. Let. Trans. Faraday Soc. Z. anal. Chem. Z. anorg. Chem. Z. Elektrochem. Z. Naturf. Z. phys. Chem. (Frankfurt) Z. phys. Chem. (Leipzig)

Jakugaku Zasshi

# Ընգհանոււ և ֆիզիկական քիմիա

| u.         | . 2  | Ալչուջյան. Ն. Ձ. Եդիգարյան, Մ. Հ. Մանտիկյան — Հիդրժան խառը աղսորը-<br>ցիոն կատալիզատորների ուսումնասիրություն։ XVI. Rh—Pt և Rh—Pd կա-   |     |
|------------|------|---|-----|
| ţ.         | Ļ.   | տալիդատորները սիլիկաժելի վրա<br>Շարարյան, Լ. Գ. Մելբոնյան, Ռ. Վ. Բաղդասարյան — Էժուլսիոն պոլիժերաց-<br>ժան ժիցելային էտապի օրինաչափությունների ժասին։ Լ. Միցելների՝ բլո-  | 3   |
|            |      | րատերդային վետ :  | 9   |
|            |      |   |     |
|            |      | Անօրգանական և անալիշիկ Բիմիա  |     |
| 1          | . U. | Գայբակյան, Ռ. Տ. Եղիկյան — Հազվագյուտ էլևմենտների նրրաշերտ բրոմա-<br>տագրաֆիտն, IX. Ոսկու (III), սելենի (IV) և Թելուրի (IV) իդենտիֆիկացիան<br>և որոշումը հիմնային միջավայրում   | 16  |
| Դ.         | U    | Գայբակյան, Զ. Ջ. Տերմենջյան — Վանադիումի կիտրոնաԹԹվային, ԹրԹնվա-<br>ԹԹվային և դենեթթվային կոմպլեջոային միացությունների համեմատական  |     |
| ٩.         | σ.   | կայունության ուսուժնասիրություն իոնափոխանակվան եղանակով<br>Թառայան, Գ. Ս. Հաճարյան, Հ. Ա. Դարբինյան — Մերկուրոնիարատով ազատ   | 24  |
|            |      | թլորի և հիպոքլորիաի ամպերաչափական որոշում   | 27  |
|            |      | Orqueuhae Բիմիա   |     |
| U.         | 4.   | Վարդանյան, Մ. Ռ. Բարխուդարյան, Շ. Հ. Բադանյան — Վիծիլացետիլենի ջի-<br>միա, LXXXVII. Ացետիլեն-ալեն-կումուլենային վերախմրավորում՝ Ջ-ալ-<br>կիլ-Ջ-ջլոր-5-հալոգննաներսեն-5-ին-3-ում և Ջ-ալկիլ-Ջ-ջլոր-5,6-դինալոգե-  | 7   |
|            |      | նաներոին-3-ում ըլորը ամինով անդակալելիս   | 31  |
| Ն.         | U.   | Դավթյան. Գ. Թ. Մարաիրոսյան, Ա. Թ. Բաբայան — Հետազոտություններ ամինների և ամոնիումային ազերի ընադավառում։ LXVI. Հալոգենալկիլ   |     |
|            |      | իսեր պարունակող չորրորդային ավոնիումային աղերի հիմնային հեղջումը  | 38  |
| ţ.         | ዓ.   | Մեսրոպյան, Ձ. Թ. Կարապետյան, Ջ. Վ. Ավետիսյան, Մ. Ց. Դանդյան — Ալ-   |     |
| ٩.         | ٩.   | հիլոլիցիդիլմալոնաթթունների դիկթիլեսթներների ռնակցիան ամինների հետ<br>Գովլաթյան, Է. Ն. Համբարձումյան — Գեստիցիդների սինթեզ։ XXVI, α-8իան-  | 45  |
| IP         | 11   | ալկիլ-N-արիլկարբամատների սինքեղ   | 49  |
| U.         | U.   | որադյաս, է. Վ. սրսասյաս, Հ. Ա. Հարայաս — սր բասը որողոսը և - ալվօջ։   | 54  |
| <b>ţ</b> . | ٩.   | Դարբինյան, Ա. Ա. Սանակյան, Մ. Ա. Էլիազյան, Ս. Գ. Մացոյան — Ազոլների<br>ածանցյալների և նրանց հիման վրա այլիմերների սինքեղ։ VII. 1-Փենիլ-3-   |     |
|            |      | - db Pիլալիրագոլինի սին Pha 1,3-դիջլորբուահն-2-ի հիման վրա  | 61  |
| U.         | Φ.   | Բոլախչյան, Գ. 3. Թադևոսյան — <i>Ինդոլի ածանցյալներ</i> ։ XXX. 2,2-Դիժենիի-<br>և 2,2,8-արիժենի-4-օջոի-1,2,3,4,48,5,8,0-օկտահիգրո-6H-րենդ (i)-ինդոլա-   |     |
| 4          |      | -(2,8-g)   pain   pain | 65  |
| บ.         | U.   | կրամեր. Հ. Ա. Հարոյան — Գիրիժիդինի ածանցյալներ։ XIV. 2,6-Դիժեթիլ-<br>-4-օջսի-5-(պ-ալկօջսիրենդիլ)պիրիժիդինների սինթեղ և նրանց մի ջանի  |     |
| υ.         | ۷.   | <i>ահակցիաներ</i>   | 69  |
|            |      | լիօրդանասիլոգսանների աինքեղ   | 74  |
|            |      | <b>Քիմիական «հի</b> նոլոգիա   |     |
| Մ.         | u.   | Սաֆարյան. Ռ. Ս. Գաբրիելյան — <i>Կալցիումի ժետասիլիկատի կարբոնի</i> զա-  |     |
|            |      | նիար փեփնամրհասող   | 78  |
|            |      | tur6 haqarqact6kr   |     |
| U.         | 4.   | Վարդանյան. Ս. Կ. Վարդապետյան. Շ. Հ. Բադանյան — <b>Ֆե</b> <i>եռլեերի և երաեց</i>   |     |
|            |      | եներների ալկիլումը իզոպրոպենիլացետիլենային սպիրաներով, գլորիդներով  | 0.5 |
|            |      | և գիվինիլկետոններով   | 85  |

# **Նամակնեւ խմբագրությանը**

| Գ. Ա. Չուխաջյան, Ժ. Ի. Աբրանամյան, Գ. Ա. Գևորգյան — Ացետիլենի պոլիմերմ<br>կատալիդատոր — NiX <sub>2</sub> և Al(իզո-C <sub>4</sub> H <sub>9</sub> ) <sub>3</sub> -ի փոխազդեցության պրոդուկ<br>անջատումը   | . 89            |
|---|-----------------|
| ԳԵՑԻՀԻ-ում գիպոնացված հոդվածների անուացիաներ և ռեֆերա   | •6br            |
| Դ. Ս. Գայբակյան — Հազվագյուտ էլեժենտների նրթաչերտ ջրոժատադրաֆիա։ Դենիուժի (VII), ժոլիրդենի (VI), վանադիուժի (V) և վոլֆրաժի (VI) իդենա ֆիկացուժը և անվատուժը ժի ջանի սպիրտային կետոնների թթվեցված լո<br>ծույթներուժ։ Ռենիուժի ջանակական որոշուժը | h-              |
| Դ. Ս. Գայբակյան — Հաղվագյուտ էլեժենաների նրրաշերտ բրոժատադրաֆիա։ V<br>Ռենիուժի (VII), ժոլիրդենի (VI), վանադիուժի (V) և վոլֆրաժի (VI) իդենա<br>ֆիկացուժը և անջատուժը ժի ջանի սպիրտների և կհառնների աժոնյակայ                                     | 11.<br>h-<br>h2 |
| լուծույթենրում։ Ռենիումի քանակական որոշում<br>Քիմիական հանդեսների և տեղեկատուների անվանումների համառոտագրությու   | . 93<br>L-      |
| There   | . 95            |
|   |                 |
| СОДЕРЖАНИЕ  |                 |
| COALFMANNE  | Стр             |
| Общая и физическая химия  | Cip             |
|   |                 |
| А. А. Алчуджан, Н. З. Едигарян, М. А. Мантикян — Исследование смещанн адсорбционных катализаторов гидрирования. XVI. Rh—Pt и Rh—Pd катализаторы на силикагеле   | ra-             |
| Э. Л. Шакарян, Л. Г. Мелконян, Р. В. Багдасарян — О закономерностях в целлярного этапа эмульсионной полимеризации. І. Влияние степени нас щенности мицелл хлоропреном на молекулярный вес и структуру пол                                       | M-<br>(N-       |
| хлоропрена  | . 9             |
| Неорганическая и аналитическая химия  |                 |
| Д. С. Гайбакян, Р. Т. Егикян — Тонкослойная хроматография редких элеметов. IX. Идентификация и определение золота (III), селена (IV) и то   | ел-             |
| лура (IV) в щелочной среде  | ти              |
| ного обмена. II.  |                 |
| В. М. Тараян, Г. С. Ачарян, Г. А. Дарбинян — Амперометрическое определение свободного хлора и гипохлорита меркуронитратом   |                 |
| Органическая химия  | 1               |
| С. А. Вартанян, М. Р. Бархударян, Ш. О. Баданян — Химия винилацетиле<br>LXXXVII. Ацетилен—аллен—кумуленовая перегруппировка при замец   |                 |
| нии хлора аминами в 2-алкил-2-хлор-5-галогеногексен-5-инах и в 2-алки -2-хлор-5,6-дигалогеногексинах-3  | ил-<br>. 31     |
| Н. М. Давтян, Г. Т. Мартиросян, А. Т. Бабаян — Исследования в облас<br>аминов и аммониевых соединений. LXVI. Расщепление четвертичных а   |                 |
| мониевых солей, содержащих галоидалкильные группы   | . 38            |
| Э. Г. Месропян, Э. Т. Карапетян, Дж. В. Аветисян, М. Т. Дангян — Реаки диэтиловых эфиров алкилглицидилмалоновых кислот с аминами В. В. Довлатян, Э. Н. Амбарцумян — Синтез пестицидов. XXVI. Синтез   | . 45            |
| в. В. довлатян, Э. Н. Амоарцумин — Синтез пестицидов. АЛVI. Синтез цианалкил-N-арилкарбаматов   |                 |

| м. А. Ираоян, Л. В. Минаски, А. А. Ароян — пекоторые синуезы на осно  |        |
|---|--------|
| 4-алкоксибензил- и 4-алкоксифениламинов   |        |
| Э. Г. Дарбинян, А. А. Саакян, М. А. Элиазян, С. Г. Мацоян — Синтез прог   |        |
| водных азолов и полимеров на их основе. VII. Синтез 1-фенил-3-мети  | 1.5-   |
| пиразолина на основе 1,3-дихлорбутена-2   | . 61   |
| А. П. Бояхчян, Г. Т. Татевосян — Производные нидола. ХХХ. 2,2-Диметил-  |        |
| 2,2,8-триметил-4-окси-1,2,3,4,4a,5,8,9-октагидро-6H-бенз (I) индоло (2.3-g) н   |        |
| долизины  |        |
| М. С. Крамер, А. А. Ароян — Производные пиримидина. XIV. Синтез и неи   |        |
| торые реакции 2,6-диметил-4-окси-5-(л-алкоксибензил)пиримидинов   | . 69   |
| М. О. Меликян, Д. А. Тергазарова, М. М. Вартанян — Синтез 2, ш-ди (аци  | 4.JI-  |
| окси)полиорганосилоксанов   | . 74   |
|   |        |
| Химическая технология   |        |
| М. А. Сафарян, Р. С. Габриелян — Карбонизация метасиликата кальция в по   | PH-    |
| ном аппарате. II. Абсорбиня углекислого газа пульпой метасилика   |        |
| кальция в пенном режиме   | 78     |
| кальция в пенном режиме   | - 10   |
| Краткие сообщения   |        |
|   |        |
| С. А. Вартанян, С. К. Вардапетян, Ш. О. Баданян — Алкилирование фенол   |        |
| и их эфиров изопропенилацетиленовыми спиртами, хлоридами и дивини   |        |
| кетонами  | . 85   |
| CONTRACTOR OF THE PARTY OF THE |        |
| Письма в редакцию   |        |
| Г. А. Чухаджян, Ж. И. Абрамян, Г. А. Геворкян — Выделение продукта вз   | эн-    |
| модействия NIX <sub>2</sub> с Al(изо-С <sub>4</sub> H <sub>9</sub> ) <sub>3</sub> —катализатора полимеризации ацетиле   | ена 89 |
|   |        |
| Аннотации и рефераты статей, депонированных в ВИНИТИ  |        |
| Д. С. Гайбакян — Тонкослойная хроматография редких элементов. VI. Иден  |        |
|   |        |
| фикация и разделение рения (VII), молибдена (VI), ванадия (V) и во  | 11 P-  |
| фрама (VI) в спиртовых и подкисленных растворах некоторых кетон   |        |
| Количественное определение рения  |        |
| Д. С. Гайбакян — Тонкослойная хроматография редких элементов. VII. Ид   |        |
| тификация и разделение рения (VII), молибдена (VI), ванадия (V) и во-   |        |
| фрама (VI) в аммиачных растворах некоторых спиртов и кетонов. Ко.   |        |
| чественное определение рения  | . 93   |
| Сокращения названий химических журналов и справочников  |        |
|   |        |
|   |        |
| CONTENTS  |        |
| CONTENTS  |        |
|   |        |
| General and Physical Chemistry  |        |
| A. H. Alchujlan, N. Z. Yedigarian, M. H. Mantiklan Studies on Mixed A   | \d-    |
| sorption Catalysts for Hydrogenation. XVI. Rh—Pt and Rh—Pd Cataly   |        |
| on Silica Gel   |        |
| E. L. Shakarian, L. G. Melkonian, R. V. Bagdassarian — Micellar Stage Reg   | -      |
| larities of Emulsion Polymerization. I. Effect of the Saturation Stage  |        |
|   |        |
| Micelles by Chloropene on the Molecular Weight and Structure of Po  |        |
| chloroprene   | . 9    |
| Inorganic and Analytical Chemistry  |        |
|   | 10-    |
| D. S. Galbakian, R. T. Yeghikian — Thin Layer Chromatography of Rare E ments. IX. Identification and Separation of Gold (III), Selenium (IV), a   |        |
| Tellurium (IV) in Basic Medium  |        |
| ACHIGINALITY IN DASIL MENTALL   | . 10   |

| Citric, Oxalic, and Tartaric Complexes of Vanadium by Ion Exchange  |    |
|---|----|
| Method  | 24 |
| V. M. Tarayan, G. S. Aiarlan, G. A. Darbinian — Amperometric Determination of Pree Chlorine and Hypochlorite by Mercuronitrate                          | 27 |
| Organic Chemistry   |    |
| S. H. Vartanian, M. R. Barkhudarian, Sh. H. Badanian - Vinylacetylene Che-  |    |
| mistry. LXXXVII. Acetylene—Allene—Cumulene Rearrangement During Amine Substitution of Chlorine in 2-Alkyl-2-chloro-5-halogenohexen-5-                   |    |
| -ines-3 and 2-Alkyl-2-chloro-5,6-dihalogenohexines-3  | 31 |
| N. M. Dautlan, G. T. Martirossian, A. T. Babayan — Studies on Amines and Ammonium Compounds. LXVI. Splitting of Quaternary Ammonium Salts               | 20 |
| Containing Halogenoalkyl Groups   | 38 |
| tion of Diethyl Alkylglycidylmalonates with Amines  | 45 |
| V. V. Dovlatian, E. N. Hambartsumian—Synthesis of Pesticides, XXVI, Synthesis   |    |
| of a-Cyanoalkyl N-Arylcarbamates  | 49 |
| M. A. Iradian, L. V. Minassian, H. A. Haroyan - Some Syntheses Based on   |    |
| 4-Alkoxybenzyl- and 4-Alkoxyphenylamines  | 54 |
| of Derivatives of Azoles and their Polymers. VII. Synthesis of 1-Phenyl-  |    |
| -3-methylpyrazoline Based on 1,3-Dichlorobutene-2   | 61 |
| A. P. Boyakhchian, G. T. Tatevossian — Indole Derivatives XXX. 2,2-Dimethyland 2,2,8-Trimethyl-4-hydroxy-1,2,3,4,4a,5,8,9-octahydro-6H-benz (I) indolo- |    |
| -(2,3-g)Indolizines   | 65 |
| M. S. Kramer, H. A. Haroyan — Pyrimidine Derivatives. XIV. Synthesis and Reactions of 2,6-Dimethyl-4-hydroxy-5-(p-alkoxybenzyl)pyrimidines              | 69 |
| M. H. Melikian, D. A. Tergazarova, M. M. Vartanian — Synthesis of α,ω-Di-<br>(acyloxy)polyorganosiloxanes   | 74 |
| Chemical Technology   |    |
| M. A. Safarian, R. S. Gabriellan - Carbonization of Calcium Metasilicate in   |    |
| Foam Apparatus. II. Carbon Dioxide Absorption by Calcium Metasilicate Pulp under Foaming Conditions   | 78 |
| Tuip ander roaming conditions   |    |
| Short Communications  |    |
| S. H. Vartanian, S. K. Vardapetian, Sh. H. Badanian — Alkylation of Phenois and their Ethers with Isopropenylacetylenic Alcohols, Chlorides and Di-     |    |
| vinyl Ketones   | 85 |
| Letters to the Editor   |    |
| G. A. Chukhajlan, Zh. I. Abramian, G. A. Gevorklan - Isolation of Acetylene   |    |
| Polymerization Catalyst — Interacton Product of NiX <sub>2</sub> with Al(iso-C <sub>4</sub> H <sub>9</sub> ) <sub>3</sub>                               | 89 |
| Abstracts of Articles Filed at All-Union Institute of Scientific and Technical Information  |    |
| D. S. Galbakian - Thin Layer Chromatography of Rare Elements. VI. Identi-   |    |
| fication and Separation of Rhenium (VII), Molybdenum (VI), Vanadium (V), and Tungsten (VI) in Alcoholic and some Acidified Ketonic Solutions.           |    |
| Determination of Rhenium  | 91 |
| D. S. Galbakian — Thin Layer Chromatography of Rare Elements. VII. Identification and Separation of Rhenium (VII), Molybdenum (VI), Vanadium (V),       |    |
| and Tungsten (VI) in some Ammonia Containing Alcoholic and Ketonic Solutions. Determination of Rhenium  | 93 |
| Abbreviations of Chemical Periodicais and Reference Books   | 95 |